

فزيك محاسباتي

مجتبي اعلائي

۱۹ آذر ۱۴۰۱

فهرست مطالب

۱	آموزش پایتون	۱
۱	۱.۱ نصب پایتون	۱
۲	۲.۱ محیط‌های مناسب برای برنامه‌نویسی با پایتون	۲
۹	۲ حل معادلات دیفرانسیل معمولی	۹
۹	۱.۲ روش اویلر	۹
۱۲	۱.۱.۲ خطای روش اویلر	۱۲
۱۴	۲.۱.۲ سقوط آزاد	۱۴
۱۵	۲.۲ روش رانگ-کوتا	۱۵
۱۹	۱.۲.۲ مقایسه روش‌های اویلر، رانگ-کوتا مرتبه دوم و رانگ-کوتا مرتبه چهارم	۱۹
۲۳	۲.۲.۲ مسیر یک گلوله توپ (پرتابه) با حضور مقاومت هوا	۲۳
۲۵	۳.۲ استفاده از <code>scipy.integrate.odeint</code> برای حل معادلات دیفرانسیل معمولی	۲۵
۲۶	۴.۲ حرکت هماهنگ ساده	۲۶
۳۱	۱.۴.۲ حرکت هماهنگ ساده‌ی واداشته	۳۱
۳۴	۲.۴.۲ آشوب در حرکت نوسانی	۳۴
۳۷	۳.۴.۲ الگوریتم رانگ-کوتا مرتبه ۲ و مرتبه ۴ برای حرکت یک پاندول	۳۷
۴۱	۳ کار با آرایه‌ها در پایتون: <code>numpy</code>	۴۱
۴۱	۱.۳ تعریف آرایه در <code>numpy</code>	۴۱
۴۱	۲.۳ مکانیک کوانتومی ماتریسی	۴۱
۴۵	۱.۲.۳ نمایش معادله ویژه مقدار با استفاده از نمادهای کت و برا	۴۵
۴۶	۳.۳ حل معادله شرودینگر در فضای حقیقی	۴۶
۴۶	۱.۳.۳ حل نوسانگر ساده یک بعدی به روش فضای حقیقی	۴۶
۵۲	۴.۳ حل معادله شرودینگر وابسته به زمان	۵۲
۵۶	۱.۴.۳ حل معادله‌ی شرودینگر به روش Crank-Nicolson	۵۶
۶۹	۴ معادلات لاپلاس و حل عددی آن	۶۹
۶۹	۱.۴ حل ساده‌ی معادله لاپلاس	۶۹
۷۳	۲.۴ حل معادله پواسون	۷۳
۷۴	۳.۴ روش‌های سریع‌تر در حل معادله لاپلاس	۷۴
۷۴	۱.۳.۴ روش فراواهلش	۷۴

۷۵	۲.۳.۴	روش گوس-زایدل
۷۹	۵	فرایندهای تصادفی
۸۱	۱.۵	تولید اعداد تصادفی در کامپیوتر
۸۵	۱.۱.۵	توزیع یکنواخت و غیریکنواخت
۸۸	۲.۵	ولگشت
۸۹	۱.۲.۵	ولگشت در یک بعد
۹۴	۳.۵	پلیمرها و ولگشت خود اجتناب
۹۶	۱.۳.۵	ولگشت خود اجتناب
۱۰۴	۴.۵	پخش، آنتروپی و پیکان زمان
۱۱۱	۶	انتگرال گیری به روش مونت کارلو
۱۱۱	۱.۶	روش های انتگرال گیری عددی با استفاده از مش بندی

فصل ۱

آموزش پایتون

پایتون^۱ یک زبان سطح بالا و مفسری است که در سال ۱۹۹۱ توسط ”خودوفان راسام“^۲ هلندی ایجاد شده است. فلسفه اصلی این زبان خواناگی و کوتاهی آن است که در هر دو موفق بوده و باعث رواج این زبان در تمام مقاطع و همچنین در تمام گرایش‌ها شده است. با گسترش هر چه بیشتر کتابخانه‌های پایتون مانند matplotlib تقریباً با چند خط برنامه کارهایی را می‌توان انجام داد که شاید در زبان‌های دیگر مانند فورترن یا C نیاز به ۱۰ها خط می‌بود. به دلیل مفسری بودن پایتون، سرعت آن نسبت به زبان‌هایی مانند فورترن پایین است با این حال به دلیل اینکه نوشتن یک برنامه در این زبان زمان انسانی کمتری می‌برد، در کل یک برنامه نویس زمان کمتری برای نوشتن صرف خواهد کرد که به اصطلاح زمان انسانی^۳ و یک برنامه است در حالی که زمان اجرای برنامه بر روی کامپیوتر^۴ یعنی زمانی که کامپیوتر در حال پردازش است زمانی که دز خیلی مواقع از اهمیت کمتری برخوردار دارد است.

۱.۱ نصب پایتون

پایتون را می‌توان به راحتی بر روی سیستم عامل‌های مختلفی نصب کرد. پایتون دارای دو نسخه اصلی است: پایتون 2.x که در حال حاضر نسخه 2/7 آن موجود است و پایتون 3.x که در حال حاضر نسخه 3/6

^۱Python

^۲ Guido van Rossum

^۳Human time

^۴Computational time

آن در دسترس است. هر دوی این نسخه‌ها به صورت جداگانه در حال توسعه پیدا کرده‌اند ولی در واقع نسخه 2.x تقریباً از توسعه یافتن بازایستاده است و بهتر است از نسخه‌های 3.x استفاده شود. دستورات در دو نسخه تفاوت چندانی ندارد و شاید تنها تفاوت قابل ملموس دستور چاپ (print) است که در پایتون 2.x بدون پرانتز استفاده می‌شود و در پایتون 3.x باید با پرانتز استفاده شود.

به دلیل اینکه کتابخانه‌های پایتون در کوتاه کردن برنامه‌نویسی بسیار موثر هستند بنابراین نصب کتابخانه‌ها پایتون به همراه پایتون غیر قابل اجتناب است. هر کدام از کتابخانه‌های پایتون را می‌توان به طور جداگانه نصب کرد ولی به دو دلیل ممکن است در نصب این کتابخانه‌ها به مشکل برخورد کنیم. اول اینکه ممکن است برای نصب یک کتابخانه، کتابخانه‌های وابسته دیگری نیز باید نصب شوند و دوم اینکه در نصب یک کتابخانه باید سازگاری نسخه‌های کتابخانه با همدیگر و همچنین با نسخه‌ی پایتون نصب شده رعایت شود. برای حل این مشکلات پروژه‌ی Anaconda طراحی شده است. کافی که با ورد به سایت این پروژه:

<https://www.anaconda.com/>

بسته‌ی Anaconda را نصب کنید. این بسته برای سه سیستم عامل رایج یعنی لینوکس، ویندوز و مک بر روی وب سایت پروژه موجود است. با نصب Anaconda علاوه بر نصب پایتون، تمام کتابخانه‌های مورد نیاز برای این درس نصب می‌شود. همچنین محیط برنامه نویسی Spyder، که مناسب برای پایتون است، نیز نصب می‌شود.

۲.۱ محیط‌های مناسب برای برنامه‌نویسی با پایتون

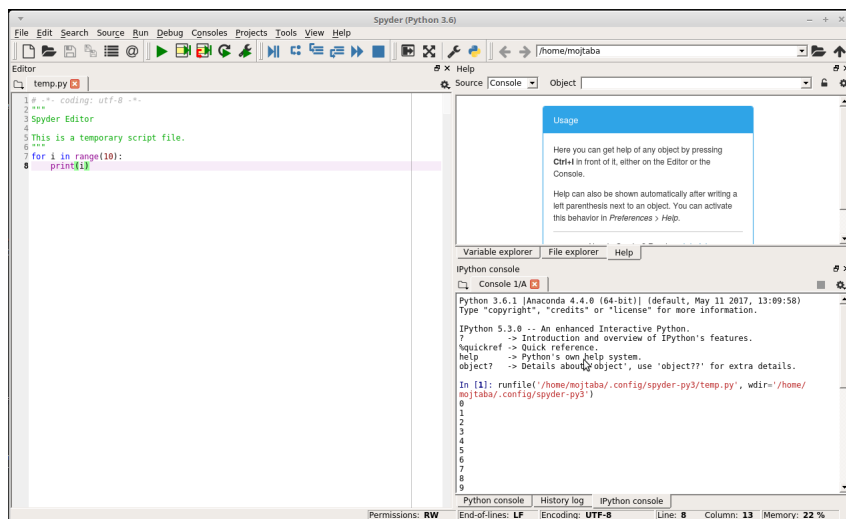
از چند روش می‌توان یک برنامه پایتون را نوشت و اجرا کرد. یکی از این روش‌ها استفاده از IDE^۵ یا محیط توسعه مجتمع است. در واقع یک IDE یک واسط گرافیکی است که در آن می‌توان علاوه بر برنامه‌نویسی، به عیب‌یابی^۶ برنامه و اجرای آن و همچنین مدیریت یک پروژه، که شامل چند برنامه مرتبط به هم است، پرداخت. در IDE معمولاً اکثر دستورات در حفظ آن قرار دارد و با نوشتن حرف اول کلمات کلیدی برای کامل شدن دستور دیگر نیاز به تایپ کامل آن نیست و با کلید Tab یا با کمک موس می‌توان دستور را کامل کرد. معروف‌ترین IDE های برای پایتون به شرح زیر است:

^۵Integrated Development Environment

^۶debugging

- IDLE
- WingIDE
- Spyder
- PyCharm

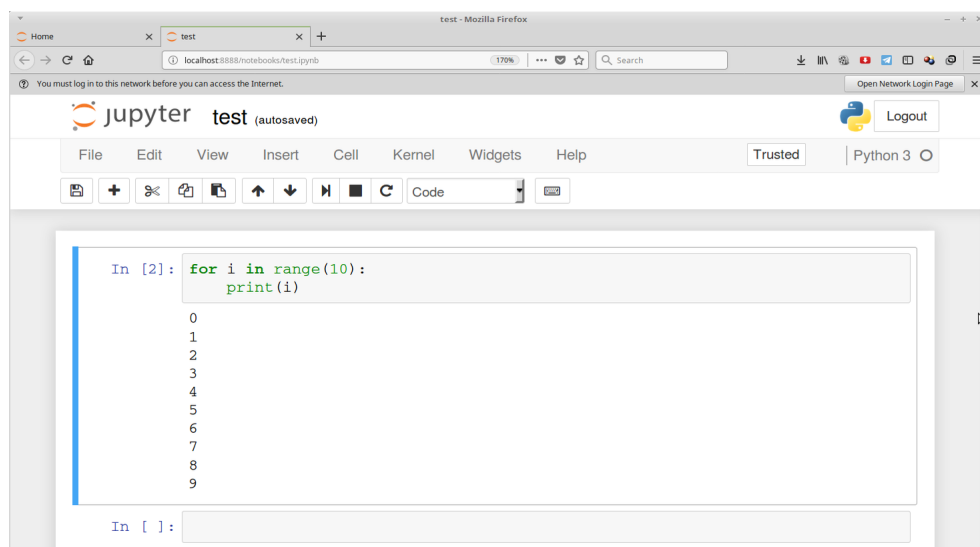
IDLE محیط برنامه‌نویسی خود پایتون است به همراه نصب پایتون نصب می‌شود که البته خیلی کارآمد نیست. از میان IDE ها کامل‌تر Spyder رایگان است و نسبتاً IDE کامل و مناسب است. شکل ۱.۱ تصویر از محیط Spyder را نشان می‌دهد. PyCharm یک نسخه رایگان در اختیار علاقمندان به



شکل ۱.۱

پایتون قرار داده است منتها نسخه اصلی آن که نیاز به پرداخت هزینه است کامل‌تر و کارآمدتر است. روش دوم استفاده از محیط ipython به همراه محییر نوت بوک^۷ است که در حال حاضر به نام Jupyter معروف شده است. محیط Jupyter مانند محیط‌های IDE های کامل نیست منتها ابزارهای مناسبی را در اختیار نویسنده قرار می‌دهد. این محیط از مرورگرهای اینترنتی مانند Firefox به عنوان رابط گرافیکی استفاده می‌کند. شکل ۲.۱ تصویری از این محیط را نشان می‌دهد. روش سوم استفاده از ویرایش‌گرهایی مانند Vim یا Emacs در سیستم عامل‌های لینوکس و مک و یا Notepad++ در سیستم

^۷notenook

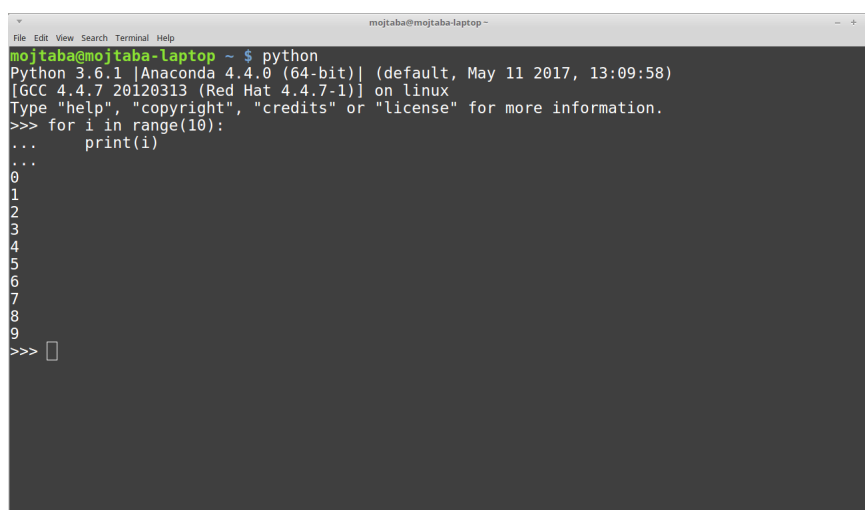


شکل ۲.۱

عامل ویندوز است. در واقع این ویرایشگرها نیز محیط‌های مناسبی برای برنامه‌نویسی محیا کرده‌اند. برای مثال دستورات پایتون در این ویرایشگرها شناخته می‌شوند و به صورت رنگی از بقیه متن متمایز می‌شوند. بعد از نوشتن برنامه می‌توان برنامه را به صورت مستقیم در یک شل ^۸ اجرا کرد. روش دیگر که پایتون در اختیار کاربران قرار داده است استفاده از شل پایتون است که دستورات را به راحتی می‌توان در آن، به صورت مستقیم، اجرا کرد. منتها عملاً کارایی این شل بیشتر برای چک کردن و امتحان کردن دستورات و نوشتن برنامه‌های چند خطی است. تصویر ۳.۱ شل پایتون را در لینوکس نشان می‌دهد.

نویسنده استفاده از Jupyter یا Spyder در تمام سیستم‌عامل‌ها و در لینوکس استفاده از ویرایشگرهای قوی‌یی مانند Vim را توصیه می‌کند.

^۸shell

A screenshot of a terminal window titled "mojtaba@mojtaba-laptop". The terminal shows the execution of the Python command "python". The output displays the Python version (3.6.1) and the Anaconda environment (4.4.0). The user enters a for loop: "for i in range(10): print(i)". The terminal outputs the numbers 0 through 9 on separate lines. The prompt ">>>" is visible at the end of the output.

```
mojtaba@mojtaba-laptop ~ $ python
Python 3.6.1 |Anaconda 4.4.0 (64-bit)| (default, May 11 2017, 13:09:58)
[GCC 4.4.7 20120313 (Red Hat 4.4.7-1)] on linux
Type "help", "copyright", "credits" or "license" for more information.
>>> for i in range(10):
...     print(i)
...
0
1
2
3
4
5
6
7
8
9
>>> □
```

شکل ۳.۱

کتاب نامه

فصل ۲

حل معادلات دیفرانسیل معمولی

۱.۲ روش اویلر

در فیزیک معمولا قوانین با معادلات دیفرانسیل مطرح می‌شوند. تعداد کمی از این معادلات حل تحلیلی دارند. برای مثال می‌توان به معادله واپاشی هسته‌ها اشاره کرد:

$$\frac{dN}{dt} = -\frac{N}{\tau} \quad (1.2)$$

که N تعداد هسته‌هایی را نشان می‌دهد که در زمان t هنوز واپاشی نکرده‌اند. τ نیز معیاری از مدت زمان واپاشی را نشان می‌دهد. در حقیقت τ زمان عمر میانگین یک هسته‌ی رایواکتیو قبل از واپاشی است. این معادله بسیار ساده است و در واقع حل این معادله را به صورت تحلیلی می‌دانیم:

$$N(t) = N(0)e^{-t/\tau} \quad (2.2)$$

حال اگر به فرض به خواهیم چنین معادله‌ای را به صورت عددی حل کنیم باید چه کنیم؟ در ابتدا باید درک درستی از مفهوم حل‌های عددی در ذهن داشته باشیم. اصولا اکثر مدل‌ها و معادلات در علم حل دقیقاً ندارند و ناچار باید به سراغ حل‌های تقریبی و عددی رفت. در تمام حل‌های عددی معادلات، معمولا چندین متغیر به عنوان ورودی و در خروجی جواب معادله را خواهیم داشت. برای

مثال تابع $x(t)$ را در نظر بگیرید که تابعی از متغیر t است. معمولاً مسئله‌هایی که در فیزیک با آن مواجه هستیم به صورت یک معادله دیفرانسیلی خواهد بود (همانند آنچه در واپاشی دیدید):

$$\frac{dx(t)}{dt} = f(x, t) \quad (۳.۲)$$

برای حل چنین معادلاتی، به راحتی به تعریف مشتق می‌توان مراجعه کرد. مشتق تابع $x(t)$ نسبت به t به صورت زیر بیان می‌شود:

$$\frac{dx(t)}{dt} \equiv \lim_{\Delta t \rightarrow 0} \frac{x(t + \Delta t) - x(t)}{\Delta t} \implies \frac{x(t + \Delta t) - x(t)}{\Delta t}, \quad (۴.۲)$$

روش اویلر در حقیقت استفاده از این تعریف است. بنابراین طبق روش اویلر جواب در $t + \Delta t$ به صورت تقریبی به فرم زیر در خواهد آمد:

$$x(t + \Delta t) \approx x(t) + \frac{dx(t)}{dt} \Delta t. \quad (۵.۲)$$

پس طبق روش اویلر اگر مشتق تابع $x(t)$ را نسبت به t داشته باشیم می‌توانیم مقدار این تابع را در زمان $t + \Delta t$ نیز داشته باشیم. به همین ترتیب می‌توانیم جواب را در $t + ۲\Delta t$ و $t + ۳\Delta t$ و همین‌طور در $t + ۳\Delta t$ و... بدست آوریم:

$$\begin{aligned} x(t + \Delta t) &\approx x(t) + \left. \frac{dx(t)}{dt} \right|_t \Delta t & (۶.۲) \\ x(t + ۲\Delta t) &\approx x(t + \Delta t) + \left. \frac{dx(t)}{dt} \right|_{t+\Delta t} \Delta t \\ x(t + ۳\Delta t) &\approx x(t + ۲\Delta t) + \left. \frac{dx(t)}{dt} \right|_{t+۲\Delta t} \Delta t \\ &\vdots \quad \quad \quad \vdots \end{aligned}$$

بنابراین حل معادله واپاشی هسته‌ها به صورت زیر خواهد بود:

$$\begin{aligned} N(t + \Delta t) &\approx N(t) - \frac{N(t)}{\tau} \Delta t & (۷.۲) \\ N(t + ۲\Delta t) &\approx N(t + \Delta t) - \frac{N(t + \Delta t)}{\tau} \Delta t \\ N(t + ۳\Delta t) &\approx N(t + ۲\Delta t) - \frac{N(t + ۲\Delta t)}{\tau} \Delta t \\ &\vdots & \end{aligned}$$

در حل عددی باید شهود خوبی در مورد مفهوم مش‌بندی داشته باشیم. در یک حل عددی سعی در این است مقدار مثلاً تابع $x(t)$ در نقاط

$$t., t. + \Delta t, t. + ۲\Delta t, t. + ۳\Delta t, \dots \quad (۸.۲)$$

محاسبه شود. بنابراین ما نیاز به استفاده از متغیرهای آرایه‌ای (و یا لیست) داریم. پس برای متغیر t و هم برای متغیر x باید یک آرایه (یا لیست) در نظر گرفته شود. برای مثال اگر مقدار Δt را برابر با $۰/۱$ در نظر گرفته شود و بخواهیم تابع x را از $t = ۰$ تا $t = ۲$ محاسبه کنید، در پایتون لیست متغیر t به چندین روش زیر قابل تولید است:

```

1 ti=0
2 tf=2.0
3 dt=0.1
4 #method 1
5 t=ti
6 tlist=[ti]
7 while t<tf:
8     tlist.append(t)
9     t=t+dt
10 print(tlist)
11
12 #method 2
13 n=int((tf-ti)/dt)
14 tlist=[]
15 for i in range(n):
16     t=ti+i*dt
17     tlist.append(t)
18 print(tlist)

```

```

19 #method 3
21 n=int((tf-ti)/dt)
    tlist=[0]*n
23 for i in range(n):
        tlist[i]=ti+i*dt
25 print(tlist)

```

: tlist.py

خروجی لیستی به صورت زیر خواهد بود:

```

1 [0.0, 0.1, 0.2, 0.30000000000000004, 0.4, 0.5, 0.6000000000000001,
    0.7000000000000001, 0.8, 0.9, 1.0, 1.1, 1.2000000000000002, 1.3,
    1.4000000000000001, 1.5, 1.6, 1.7000000000000002, 1.8,
    1.9000000000000001]

```

که اگر از خطای گرد کردن صرف نظر کنیم به صورت ساده خروجی به شکل زیر خواهد شد:

```

1 [0.0, 0.1, 0.2, 0.3, 0.4, 0.5, 0.6, 0.7, 0.8, 0.9, 1.0, 1.1, 1.2, 1.3,
    1.4, 1.5, 1.6, 1.7, 1.8, 1.9]

```

معمولا به چنین لیستی مش مربوط به متغیر t گفته می شود و برای دسترسی به هر یک از این مقادیر باید از اندیس استفاده کنیم. پس وقتی از $t. + i \times \Delta t$ سخن گفته می شود، معمولا در زبان کامپیوتر به صورت های زیر نمایش داده می شود:

$$t. + i \times \Delta t \equiv t_i \equiv t[i] \quad (9.2)$$

که اندیس i مکان مش را برای متغیر t نشان می دهد.

۱.۱.۲ خطای روش اویلر

همانطور که مشاهده کردید یک روش عددی به دلیل استفاده از تقریب دارای خطا می باشد. برای برآورد خطا در این روش (اویلر) به سادگی می توان از مفهوم بسط تیلور استفاده کرد:

$$x(t + \Delta t) = x(t) + \frac{dx(t)}{dx} \Delta t + \frac{d^2x(t)}{dx^2} \frac{(\Delta t)^2}{2} + \dots + \frac{d^n x(t)}{dx^n} \frac{(\Delta t)^n}{n!} + \dots \quad (10.2)$$

بنابراین خطا در هر گام در روش اویلر از مرتبه $(\Delta t)^2$ است که به صورت $O(\Delta t^2)$ نمایش داده می‌شود که منظور از O مرتبه بزرگی است. اما در N گام یعنی

$$N = \frac{t_f - t_i}{\Delta t} \quad (11.2)$$

که t_i زمان اولیه و t_f زمان نهایی است (که تصمیم داریم محاسبه بین این دو زمان انجام شود)، خطا از مرتبه Δt خواهد بود چرا که

$$Error \propto N \times (\Delta t)^2 \propto \Delta t \quad (12.2)$$

بنابراین خطا دارای مرتبه بزرگتری خواهد شد ($O(\Delta t)$).

تمرین ۱: استفاده از روش اویلر برای حل معادله واپاشی هسته‌ها برنامه‌ای بنویسید که

- (مرحله اول) مقدار دهی اولیه:
- مقادیر N ، t_i ، t_f و Δt را دریافت کند (از ورودی). برای سادگی می‌توان t_i را برابر با صفر قرار دهیم.
- (مرحله اول) حل معادله واپاشی به صورت عددی:
- با فرض اینکه τ برابر ۱ روز باشد، معادله واپاشی را به صورت عددی حل کنید. برای حل عددی باید به روش زیر عمل کرد:
- برای t و N یک لیست در نظر بگیرید:

$$\begin{aligned} t &= [t_i] \\ N &= [N_0] \end{aligned}$$

در زمان‌های بعدی به صورت زیر مقدار N و t را در لیست ذخیره می‌کنیم:

$$\begin{aligned} N(t_{j+1}) &= N_{j+1} = N_j - N_j/\tau\Delta t \\ t_{j+1} &= t_j + \Delta t \end{aligned}$$

که در پایتون به صورت زیر عمل می‌کنیم:

```
N.append(N[j]-N[j]/tau * dt)
t.append(t[j]+dt)
```

- (مرحله دوم): مقدار عددی N را بر حسب زمان برای مقادیر مختلف Δt همراه با مقادیر دقیق N ، که از حل تحلیلی می‌توان بدست آورد، رسم کنید.
- (مرحله سوم): مقدار خطا (یعنی اختلاف بین حل دقیق و حل عددی در یک زمان مشخص (مثلاً $t_f = 10$) را بر حسب Δt بدست آورید. در مقادیر بسیار کوچک Δt چه اتفاقی خواهد افتاد. چه رفتار در مقادیر معقول Δt مشاهده خواهیم کرد.

۲.۱.۲ سقوط آزاد

همانطور که می‌دانیم اگر گلوله‌ای را به صورت عمود پرتاب کنیم رابطه‌ی زیر برای مکان ذره از سطح پرتاب بدست می‌آید:

$$y = -\frac{1}{2}gt^2 + v_0 t \quad (13.2)$$

و سرعت آن بر حسب زمان به صورت زیر خواهد شد:

$$\frac{dy}{dt} = -gt + v_0 \quad (14.2)$$

در نقطه اوج سرعت صفر است:

$$\frac{dy}{dt} = 0 \rightarrow -gt + v_0 = 0 \rightarrow t = \frac{v_0}{g} \quad (15.2)$$

و در نتیجه ارتفاع برابر با

$$h = \frac{v_0^2}{2g}$$

اگر بخواهیم مکان ذره را به صورت عددی از روش اویلر بدست آوریم، اینچنین عمل می‌کنیم:

$$\begin{aligned} y(t=0) &\approx y(t=0) = 0 & (۱۶.۲) \\ y(t=\Delta t) &\approx y(t=0) + \left. \frac{dy}{dt} \right|_{t=0} \Delta t \\ y(t=2\Delta t) &\approx y(t=\Delta t) + \left. \frac{dy}{dt} \right|_{t=\Delta t} \Delta t \\ y(t=3\Delta t) &\approx y(t=2\Delta t) + \left. \frac{dy}{dt} \right|_{t=2\Delta t} \Delta t \\ &\vdots \quad \quad \quad \vdots \end{aligned}$$

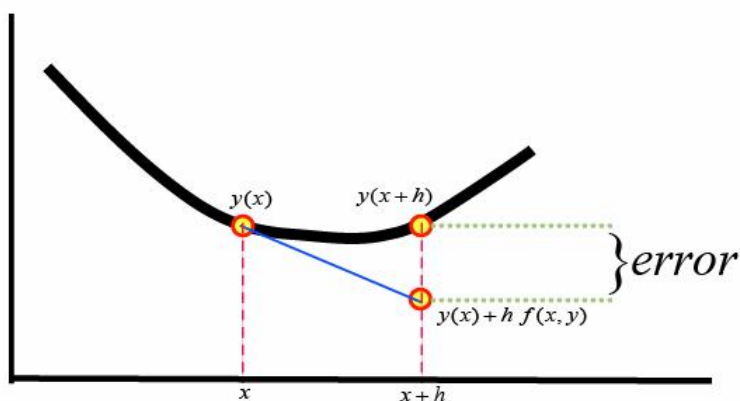
یعنی در هر نقطه زمانی می‌توان از نقطه‌ی قبلی استفاده کرد و نقطه‌ی بعدی را تخمین زد:

۲.۲ روش رانگ-کوتا

حال پرسشی که ممکن است در این مرحله مطرح شود این است که چگونه می‌توان خطا را کاهش داد. برای کاهش خطا می‌توان چندین کار انجام داد. یک راه حل ساده ولی ناکارآمد استفاده از جملات مراتب بالاتر در بسط تیلور است. ولی به جای استفاده از چنین شیوه‌ای می‌توان به دنبال الگوریتم‌های بهتر گشت که هزینه محاسباتی کمتری داشته باشند و از طرفی خطای محاسبات را کاهش دهند. یکی از این الگوریتم‌های هوشمند، الگوریتم رانگ-کوتای مرتبه دوم^۱ است. ایده‌ی اصلی این الگوریتم استفاده از مشتق تابع در وسط گام است، یعنی استفاده از مشتق در $t + \Delta t/2$ است. همانطور که از شکل نیز مشخص است به نظر می‌رسد که استفاده از مشتق در بین گام‌های به جای ابتدای هر گام ایده‌ی مناسبی است. حال باید نشان دهیم که واقعا استفاده از مشتق در بین گام‌ها باعث کاهش خطا می‌شود. برای این کار باز به بسط تیلور رجوع می‌کنیم. $x(t + \Delta t)$ و $x(t)$ را حول $x(t + \frac{\Delta t}{2})$ بسط می‌دهیم:

$$\begin{aligned} x(t + \Delta t) &= x\left(t + \frac{\Delta t}{2}\right) + \left. \frac{dx}{dt} \right|_{t+\frac{\Delta t}{2}} \frac{\Delta t}{2} + \frac{1}{2} \left. \frac{d^2x}{dt^2} \right|_{t+\frac{\Delta t}{2}} \left(\frac{\Delta t}{2}\right)^2 + O(\Delta t^3) \quad (۷.۲) \\ x(t) &= x\left(t + \frac{\Delta t}{2}\right) - \left. \frac{dx}{dt} \right|_{t+\frac{\Delta t}{2}} \frac{\Delta t}{2} + \frac{1}{2} \left. \frac{d^2x}{dt^2} \right|_{t+\frac{\Delta t}{2}} \left(\frac{\Delta t}{2}\right)^2 + O(\Delta t^3) \quad (۸.۲) \end{aligned}$$

^۱second-order Runge-Kutta



شکل ۱.۲: این شکل استفاده از مشتق در ابتدای هر گام و خطای آن در روش اویلر را نشان می‌دهد.

با تفریق کردن معادله اول از معادله دوم و مرتبه کردن جملات به معادله زیر می‌رسیم:

$$\begin{aligned} x(t + \Delta t) &= x(t) + \left. \frac{dx}{dt} \right|_{t + \frac{\Delta t}{4}} \Delta t + O(\Delta t^3) \\ &= x(t) + f\left(x\left(t + \frac{\Delta t}{4}\right), t + \frac{1}{4}\right) \Delta t + O(\Delta t^3) \end{aligned} \quad (19.2)$$

که در معادله دوم منظور از f همان مشتق تابع x است. نکته قابل توجه این است که مشتق تابع x ممکن است وابسته به خود x نیز باشد بنابراین این مشتق یعنی $\left. \frac{dx}{dt} \right|_{t + \frac{\Delta t}{4}}$ به صورتی که در معادله نمایش داده شده یعنی $f\left(x\left(t + \frac{\Delta t}{4}\right), t + \frac{1}{4}\right)$ نشان داده می‌شود. در اینجا سوالی که ممکن است به ذهن خطور کند این است که اگر مشتق x یا همان f به نقطه $x\left(t + \frac{\Delta t}{4}\right)$ وابسته باشد، باید چه کنیم. برای حل این مشکل می‌توان از الگوریتم اویلر برای حدس زدن در این نقطه استفاده کرد:

$$x\left(t + \frac{\Delta t}{4}\right) = x(t) + f(x, t) \frac{\Delta t}{4} \quad (20.2)$$

بنابراین به صورت عملی الگوریتم مرتبه دوم رانگ- کوتا به شکل زیر در خواهد آمد:

$$\begin{aligned} k_1 &= f(x, t) \Delta t & (21.2) \\ k_2 &= f\left(x + \frac{1}{4}k_1, t + \frac{1}{4}\Delta t\right) \Delta t \\ x(t + \Delta t) &= x(t) + k_2 \end{aligned}$$

خطا در این روش از $O(\Delta t^3)$ می‌باشد (چرا؟). مثال زیر یک نمونه برنامه برای رانگ- کوتای مرتبه دوم است.

```

1 from math import sin
2 from numpy import arange
3 from matplotlib.pyplot import plot, xlabel, ylabel, show
4 # dx/dt = -x^3 + sin(t)
5 def f(x, t):
6     return -x**3 + sin(t)
7
8 a = 0.0
9 b = 10.0
10 N = 200
11 dt = (b-a)/N
12
13 tpoints = arange(a, b, dt)
14 xpoints = []
15
16 x = 0.0
17 for t in tpoints:
18     xpoints.append(x)
19     k1 = dt * f(x, t)
20     k2 = dt * f(x+0.5*k1, t+0.5*dt)
21     x += k2
22
23 plot(tpoints, xpoints)
24 xlabel("t")
25 ylabel("x(t)")
26 show()

```

: rk2.py

اگر در بسط تیلور از جملات بالاتر یعنی Δt^3 و Δt^4 استفاده کنیم، ما می‌توانیم الگوریتم رانگ-کوتای مرتبه چهار که به صورت زیر است را بدست آوریم:

$$\begin{aligned} k_1 &= f(x, t) & (22.2) \\ k_2 &= f\left(x + \frac{1}{2}k_1, t + \frac{1}{2}\Delta t\right)\Delta t \\ k_3 &= f\left(x + \frac{1}{4}k_1 + \frac{3}{4}k_2, t + \frac{3}{4}\Delta t\right)\Delta t \\ k_4 &= f(x + k_3, t + \Delta t)\Delta t \\ x(t + \Delta t) &= x(t) + \frac{1}{6}(k_1 + 2k_2 + 2k_3 + k_4) \end{aligned}$$

مثال زیر همان مثال قبلی منتها با الگوریتم رانگ-کوتای مرتبه چهارم:

```

1 from math import sin
2 from numpy import arange
3 from matplotlib.pyplot import plot, xlabel, ylabel, show
4
5 def f(x, t):
6     return -x**3 + sin(t)
7
8 a = 0.0
9 b = 10.0
10 N = 100
11 dt = (b-a)/N
12
13 tpoints = arange(a, b, dt)
14 xpoints = []
15 x = 0.0
16
17 for t in tpoints:
18     xpoints.append(x)
19     k1 = dt*f(x, t)
20     k2 = dt*f(x+0.5*k1, t+0.5*dt)
21     k3 = dt*f(x+0.5*k2, t+0.5*dt)
22     k4 = dt*f(x+k3, t+dt)
23     x += (k1+2*k2+2*k3+k4)/6
24
25 plot(tpoints, xpoints)
26 xlabel("t")
27 ylabel("x(t)")

```

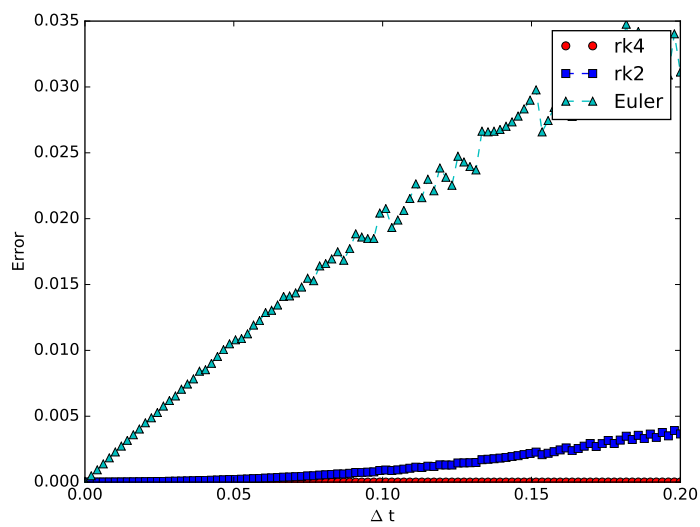
28 show ()

rk4.py :

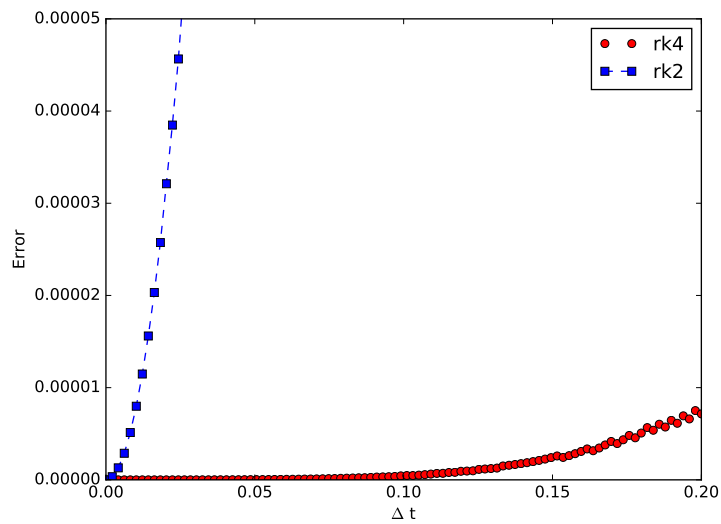
۱.۲.۲ مقایسه روش‌های اویلر، رانگ- کوتای مرتبه دوم و رانگ- کوتای مرتبه چهارم

همانطور که اشاره شد، خطا در هر گام برای الگوریتم اویلر از مرتبه $O(\Delta t^2)$ است. و مجموع خطا های در گام آخر از مرتبه $O(\Delta t)$ است. این موضوع به وضوح در شکل ۲.۲ مشخص شده است. برای رسم این شکل معادله مربوط به واپاشی با سه روش اویلر، رانگ- کوتای مرتبه دوم و چهارم حل شده است و در زمان پایانی (گام آخر) قدر مطلق اختلاف مقدار عددی از مقدار دقیق برای گام های زمانی مختلف، Δt ، رسم شده است.

به وضوح مشاهده می‌شود که خطا در روش اویلر با Δt به صورت خطی رفتار می‌کند. همانطور که در بخش قبل اشاره کردیم، در روش رانگ- کوتای مرتبه دوم خطا از مرتبه $O(\Delta t^3)$ و بنابراین در گام آخر از مرتبه $O(\Delta t^2)$ است. در روش رانگ- کوتای مرتبه چهارم، خطا در هر گام از مرتبه $O(\Delta t^5)$ و خطا در گام آخر از مرتبه $O(\Delta t^4)$ می‌باشد. براینکه این موضوع را در شکل ببینیم، شکل قبل را در ناحیه کوچکتر (در راستای y) رسم کرده‌ایم (شکل ۳.۲)



شکل ۲.۲: مقایسه روش های اویلر، رانگ- کوتای مرتبه دوم و چهارم



شکل ۳.۲: مقایسه روش های رانگ- کوتای مرتبه دوم و چهارم

برای رسم خط‌های از برنامه زیر استفاده شده است:

```

2 from math import sin , exp
import numpy as np
4 import matplotlib.pyplot as plt
# dN/dt= -N(t)/tau
6
tau=1
8 def f(x):
    return -x/tau
10
N0=1000
12
14 def euler_alg (f , tf , dt):
    N_step=int ( tf / dt)
    t_list =[0] * (N_step+1)
    x_list =[0] * (N_step+1)
    x_list [0]=N0
    for i in range (N_step):
16         x_list [i+1]= x_list [i]+f (x_list [i]) * dt
18         t_list [i+1]= t_list [i]+dt
20     return t_list [-1], x_list [-1]
22
24 def rk2_alg (f , tf , dt):
    N_step=int ( tf / dt)
    t_list =[0] * (N_step+1)
    x_list =[0] * (N_step+1)
    x_list [0]=N0
    for i in range (N_step):
26         x = x_list [i]
28         k1 = dt * f(x)
30         k2 = dt * f(x+0.5 * k1)
32         x += k2
34         t_list [i+1]= t_list [i]+dt
36         x_list [i+1]=x
38     return t_list [-1], x_list [-1]
40
def rk4_alg (f , tf , dt):
    N_step=int ( tf / dt)
    t_list =[0] * (N_step+1)

```

```

42 x_list=[0]*(N_step+1)
   x_list[0]=N0
44 for i in range(N_step):
   x=x_list[i]
46 k1 = dt*f(x)
   k2 = dt*f(x+0.5*k1)
48 k3 = dt*f(x+0.5*k2)
   k4 = dt*f(x+k3)
50 x += (k1+2*k2+2*k3+k4)/6
   t_list[i+1]=t_list[i]+dt
52 x_list[i+1]=x
   return t_list[-1], x_list[-1]
54
tf=10
56 dt_list=np.linspace(0.0001, 0.2, 100)

58 rk2_error=[]
   rk4_error=[]
60 euler_error=[]
   for dt in dt_list:
62
   t,rk4=rk4_alg(f,tf,dt)
64 t,rk2=rk2_alg(f,tf,dt)
   t,eul=euler_alg(f,tf,dt)
66 N_exac=N0*exp(-t/tau)
   rk4_error.append(abs(rk4-N_exac))
68 rk2_error.append(abs(rk2-N_exac))
   euler_error.append(abs(eul-N_exac))
70

72 plt.plot(dt_list, rk4_error, 'ro')
   plt.plot(dt_list, rk2_error, 'bs—')
74 plt.plot(dt_list, euler_error, 'c^—')
   plt.legend(["rk4", "rk2", "Euler"])
76 plt.xlabel(r"$\Delta$ t")
   plt.ylabel("Error")
78 plt.xlim(0.0, 0.2)
   plt.savefig('rk4-rk2-euler.pdf')
80 plt.show()

```

: rk4_rk2_euler_radioactive.py

۲.۲.۲ مسیر یک گلوله توپ (پرتابه) با حضور مقاومت هوا

شاید یکی از ساده‌ترین مسایل که در حین سادگی حل تحلیلی نمی‌توان برای آن پیدا کرد، حرکت یک پرتابه تحت نیروی جاذبه و در حضور مقاومت هوا است. اگر یک گلوله توپ کروی را در نظر بگیرید نیروی مقاومت هوا به صورت زیر خواهد شد:

$$F = \frac{1}{4} \pi R^2 \rho C v^2 \quad (23.2)$$

که در این معادله R شعاع گلوله، ρ چگالی هوا، v سرعت گلوله و C ضریب پس کشی^۲ هوا است. بنابراین معادلات حرکت گلوله توپ در مختصات (x, y) به صورت زیر خواهند شد:

$$a_x = \dot{v}_x = -\frac{\pi R^2 \rho C}{2m} v_x \sqrt{v_x^2 + v_y^2} \quad (24.2)$$

$$a_y = \dot{v}_y = -g - \frac{\pi R^2 \rho C}{2m} v_y \sqrt{v_x^2 + v_y^2} \quad (25.2)$$

حال اگر فرض کنیم $B_{drag} = \frac{1}{4} \pi R^2 \rho C$ ، از دو معادله بالا می‌توان معادلات زیر را نوشت:

$$\dot{x} = \frac{dx}{dt} = v_x$$

$$\dot{y} = \frac{dy}{dt} = v_y$$

$$\dot{v}_x = \frac{dv_x}{dt} = -\frac{B_{drag} v v_x}{m}$$

$$\dot{v}_y = \frac{dv_y}{dt} = -g - \frac{B_{drag} v v_y}{m}$$

بنابراین حل معادلات بالا به روش اویلر به صورت زیر خواهد بود:

$$x_{i+1} = x_i + v_{x,i} \Delta t$$

$$y_{i+1} = y_i + v_{y,i} \Delta t$$

$$v_{x,i+1} = v_{x,i} - \frac{B_{drag} v_i v_{x,i}}{m} \Delta t$$

$$v_{y,i+1} = v_{y,i} - g \Delta t - \frac{B_{drag} v_i v_{y,i}}{m} \Delta t,$$

^۲ drag coefficient

که

$$v_i = \sqrt{v_{x,i}^2 + v_{y,i}^2}$$

تمرین ۲: استفاده از روش اویلر و رانگ-کوتا برای حل معادلات حرکت گلوله توپ در

حضور مقاومت هوا: با فرض پارامترهای زیر:

$$C = 0.47, \rho = 1.22 \text{ kg/m}^3, m = 1 \text{ Kg}, R = 1 \text{ cm}$$

• برای یک مقدار دلخواه زاویه پرتاب (از وردی برنامه دریافت شود)، θ ، و یک مقدار دلخواه از سرعت اولیه گلوله توپ (از وردی برنامه دریافت شود)، v ، به روش‌های اویلر، رانگ-کوتا مرتبه دوم و چهارم مسیر پرتابه را در یک نمودار رسم کنید (رسم y بر حسب x). مختصات اولیه را به صورت $(x_0 = 0, y_0 = 0)$ در نظر بگیرید. برنامه را طور بنویسید که وقتی گلوله توپ به زمین خورد محاسبات متوقف شود.

• فرض کنید که مقاومت هوا وجود ندارد، یعنی $C = 0$. حال برد گلوله توپ را برای یک مقدار دلخواه زاویه پرتابه و یک مقدار دلخواه سرعت اولیه با استفاده از سه روشی، که در قسمت اول بیان شد، محاسبه کنید و با مقدار دقیق آن یعنی $2v \sin(\theta) \cos(\theta) / g$ مقایسه کنید. کدام روش دقیق‌تر است؟ (نکته: برای اینکه خطا مشخص‌تر شود بهتر است از مقادیر بزرگ برای سرعت استفاده کنیم)

راهنمایی حل تمرین ۲: می‌توان برای رانگ-کوتا مرتبه چهارم از تابع زیر (در یک بعد) استفاده

کنیم.

```
def rk4(x, v, a, dt):
    """Returns final (position, velocity) tuple after
    time dt has passed.

    x: initial position (number-like object)
    v: initial velocity (number-like object)
    a: acceleration function a(x,v,dt) (must be callable)
    dt: timestep (number)"""
    x1 = x
    v1 = v
    a1 = a(x1, v1, 0)
```

```

12     x2 = x + 0.5 * v1 * dt
14     v2 = v + 0.5 * a1 * dt
16     a2 = a(x2, v2, dt / 2.0)

18     x3 = x + 0.5 * v2 * dt
20     v3 = v + 0.5 * a2 * dt
22     a3 = a(x3, v3, dt / 2.0)

24     x4 = x + v3 * dt
26     v4 = v + a3 * dt
28     a4 = a(x4, v4, dt)

    xf = x + (dt / 6.0) * (v1 + 2 * v2 + 2 * v3 + v4)
    vf = v + (dt / 6.0) * (a1 + 2 * a2 + 2 * a3 + a4)

    return xf, vf

```

: rk4_dim1.py

۳.۲ استفاده از `scipy.integrate.odeint` برای حل معادلات

دیفرانسیل معمولی

`odeint` یک تابع در کتابخانه `scipy` است که می‌توان با استفاده از آن معادلات دیفرانسیلی معمولی را حل کرد. بدین منظور ابتدا باید معادله دیفرانسیل خود را برای `odeint` تعریف کرد. برای این کار چنین عمل می‌کنیم: یک تابع تعریف می‌کنیم که این تابع مشتق اول، دوم و ... را برمی‌گرداند. این تابع دو آرگومان خواهد داشت. یکی از آرگومان‌ها یک آرایه است که عنصر اول آن خود تابع و عناصر بعدی آن مشتق‌های مراتب بالاتر می‌باشند. یکی دیگر از آرگومان‌های این تابع متغیری است که تابع با آن تعریف می‌شود. دلیل وارد کردن این متغیر به خاطر این است که در تعریف مشتق‌های مرتبه‌های مختلف ممکن است نیاز به استفاده از متغیر تابع داشته باشیم. برای مثال برای معادله واپاشی تعریف این تابع به صورت زیر خواهد شد:

```

def deriv(N, t): # return derivatives of the array N
2     tau = 10.0
    return array([-N[0] / tau])

```

: deriv.py

همانطور که گفته شد در اینجا $N[0]$ خود تابع است و $-N[0]/\tau$ مشتق اول این تابع. اگر معادلاتی برای مشتقات مراتب بالاتر وجود داشت باید آنها را زیر وارد کنید که در اینجا به دلیل اینکه معادله دیفرانسیل ما، یک معادله مرتبه اول است احتیاج به آنها نداریم. بعد از آن باید مقادیر اولیه تابع و مشتقات آن را نیز برای حل معادله دیفرانسیل تعیین کنیم. مثال زیر حل معادله واپاشی هسته‌ها را به روش odeint به شما نشان می‌دهد:

```

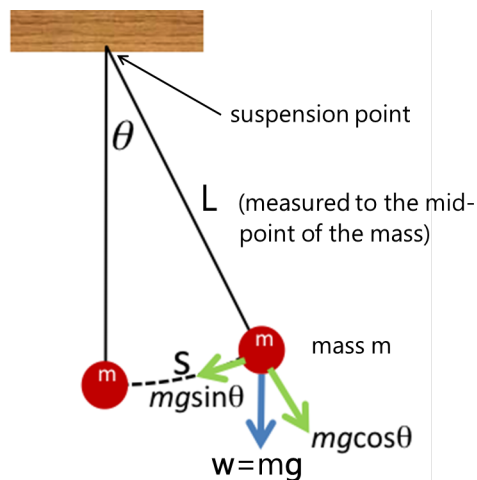
1 from scipy.integrate import odeint
2 import matplotlib.pyplot as plt
3 import numpy as np
4
5 tau = 10
6
7 def deriv(N, t): # return derivatives of the array N
8     return np.array([ -N[0]/tau ])
9
10 time = np.linspace(0.0, 100.0, 1000)
11 Ninit = np.array([10000]) # initial values
12 N = odeint(deriv, Ninit, time)
13
14 Nexact = Ninit[0] * np.exp(-time/tau)
15
16 plt.figure()
17 plt.plot(time, N) # y[:,0] is the first column of y
18 plt.plot(time, Nexact)
19 plt.xlabel("t")
20 plt.ylabel("N")
21 plt.show()

```

: ode.py

۴.۲ حرکت هماهنگ ساده

در فیزیک به مثال‌های زیادی از حرکت‌های تناوبی برخورد می‌کنیم. شاید ساده‌ترین مثال حرکت یک پاندول باشد. به نوسانات یک پاندول حرکت هماهنگ ساده گفته می‌شود. شکل ۴.۲ جزئیات این



شکل ۴.۲: حرکت هماهنگ ساده

حرکت را نشان می‌دهد. برای مقادیر کوچک θ می‌توان نیروی مماسی وارد به جرم آویزان را به صورت زیر نوشت:

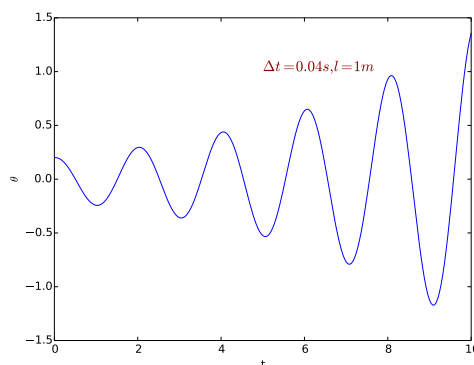
$$F_{\theta} = -mg \sin \theta \approx -mg\theta \quad (۲۶.۲)$$

بنابراین معادله حرکت به صورت زیر در می‌آید:

$$\ddot{\theta} = \frac{d^2\theta}{dt^2} = -\frac{g}{l}\theta \quad (۲۷.۲)$$

که بر حسب فرکانس این معادله به صورت زیر در می‌آید:

$$\begin{aligned} \frac{d\omega}{dt} &= -\frac{g}{l}\theta \\ \frac{d\theta}{dt} &= \omega \end{aligned}$$

شکل ۵.۲: محاسبه θ بر حسب زمان به روش اویلر

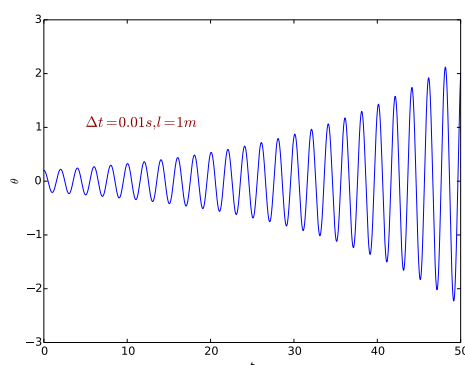
حال می‌توانیم این معادلات را به روش اویلر حل کنیم:

$$\theta_{i+1} = \theta_i + \omega_i \Delta t$$

$$\omega_{i+1} = \omega_i - \frac{g}{l} \theta_i \Delta t,$$

که در این معادلات $\theta_i = \theta(t_i)$, $\omega_i = \omega(t_i)$. حال فرض کنید طول نخ که جرم از آن آویزان است برابر با $l = 1m$ باشد. با انتخاب گام زمانی برابر با $\Delta t = 0.04s$ نتیجه عجیبی بدست می‌آید که در شکل ۵.۲ رسم شده است.

در این شکل θ بر حسب زمان رسم شده است. همانطور که مشاهده می‌کنید با افزایش زمان، دامنه نوسانات پاندول نیز افزایش پیدا می‌کند که کاملاً مخالف مشاهدات واقعی از حرکت یک پاندول است. در واقعاً باید به پاندول انرژی وارد شود تا چنین حرکتی از خود نشان دهد، در حالی که در معادله حرکتی که در بالا معرفی شد چنین جمله‌ی وجود ندارد! شاید اندازه‌ی گام زمانی، Δt ، بزرگ در نظر گرفته شده است و این باعث چنین فاجعه‌ای در محاسبات شده است. همانطور که گفته شد، گام زمانی باید براساس زمان‌های نوعی که در سیستم وجود دارد انتخاب شود. در اینجا زمان نوعی سیستم همان زمان تناوب است که برابر خواهد بود با: $T = 2\pi\sqrt{\frac{l}{g}}$. برای $l = 1m$ این مقدار برابر با $2s$ خواهد بود. بنابراین انتخاب Δt برابر با $0.04s$ نباید باعث چنین خطایی شود چرا که طبق معیاری تقریبی که از آن صحبت شد می‌توانیم گام زمانی را به صورت زیر انتخاب کنیم: $T/50 - T/100$. با این حال



شکل ۴.۲: محاسبه θ برحسب زمان به روش اویلر.

اگر فرض کنیم این خطا ناشی از انتخاب نادرست گام زمانی است باید با کاهش گام زمانی بتوانیم این خطا را حذف کنیم. به همین دلیل یک بار دیگر محاسبات را با گام زمانی کمتر تکرار می‌کنیم. این بار $\Delta t = 0.01s$ در نظر می‌گیریم که برابر با $T/200$ می‌باشد. در شکل ۴.۲ باز برحسب زمان به روش اویلر رسم شده است. همانطور که مشاهده می‌کنیم خطایی که در دامنه‌ی نوسان پاندول قبلا مشاهده کردیم این بار خود را در زمان‌های بالاتر نشان می‌دهم. پس واقعا مشکل مقدار انتخاب گام زمانی نیست و باید به دنبال منبع خطا گشت. در حقیقت اتفاقی که در نمودارهای بالا اتفاق افتاده است حاکی از افزایش انرژی در سیستم است. بدین منظور بهتر است مقدار انرژی که از روش اویلر در هر گام محاسبه می‌شود را بدست آوریم:

$$\begin{aligned}
 E = E_{\text{kin}} + E_{\text{pot}} &= \frac{m}{2} l^2 \omega^2(t) + mgl[1 - \cos \theta(t)] & (28.2) \\
 &\approx \frac{m}{2} l^2 \omega^2(t) + \frac{m}{2} gl \theta^2(t)
 \end{aligned}$$

حال انرژی کل را می‌توان در گام بعدی به صورت زیر بدست آورد:

$$\begin{aligned} E_{i+1} &= \frac{ml^2}{2} \left[\omega_{i+1}^2 + \frac{g}{l} \theta_{i+1}^2 \right] = \frac{ml^2}{2} \left[\left(\omega_i - \frac{g}{l} \theta_i \Delta t \right)^2 + \frac{g}{l} (\theta_i + \omega_i \Delta t)^2 \right] \\ &= \frac{ml^2}{2} \left[\omega_i^2 + \frac{g}{l} \theta_i^2 \right] + \frac{mgl}{2} \left(\frac{g}{l} \theta_i^2 + \omega_i^2 \right) (\Delta t)^2 \\ &= E_i + \frac{mgl}{2} \left(\frac{g}{l} \theta_i^2 + \omega_i^2 \right) (\Delta t)^2 . \end{aligned}$$

بنابراین طبق معادله بالا انرژی کل پایسته نیست و در هر گام جمله $\frac{mgl}{2} \left(\frac{g}{l} \theta_i^2 + \omega_i^2 \right) (\Delta t)^2$ به انرژی گام قبلی اضافه می‌شود! برای حل این مشکل به جایی استفاده از الگوریتم اویلر یعنی:

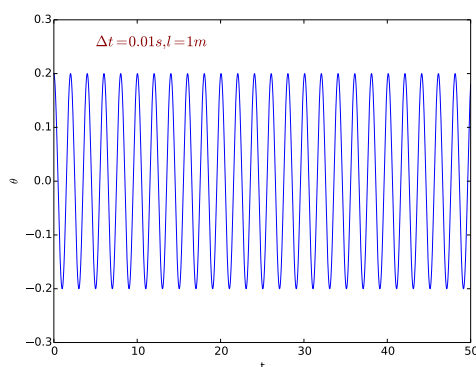
$$\begin{aligned} \theta_{i+1} &= \theta_i + \omega_i \Delta t \\ \omega_{i+1} &= \omega_i - \frac{g}{l} \theta_i \Delta t , \end{aligned}$$

با کمی تغییر در الگوریتم از الگوریتم زیر استفاده می‌کنیم:

$$\begin{aligned} \omega_{i+1} &= \omega_i - \frac{g}{l} \theta_i \Delta t \\ \theta_{i+1} &= \theta_i + \omega_{i+1} \Delta t . \end{aligned}$$

این الگوریتم به الگوریتم اویلر-کرامر^۳ معروف است. در شکل ۷.۲ تغییرات θ برحسب زمان با روش اویلر-کرامر رسم شده است. همانطور که مشاهده می‌کنید مقدار دامنه‌ی نوسان پاندول تغییر نمی‌کند. دلیل این امر این است که الگوریتم اویلر-کرامر انرژی کل در هر گام پایسته نگه می‌دارد. به عنوان یک تمرین این موضوع را اثبات کنید.

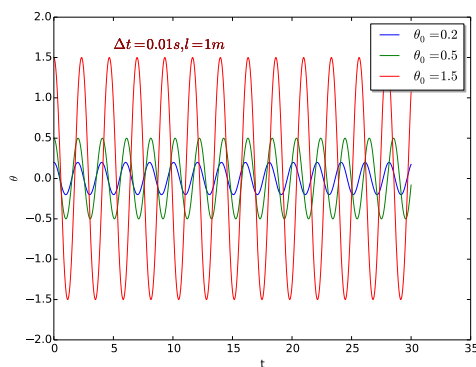
^۳Euler-Cromer algorithm



شکل ۷.۲: محاسبه θ بر حسب زمان به روش اویلر-کرامر

۱.۴.۲ حرکت هماهنگ ساده‌ی واداشته

در مثال‌های قبلی مقدار θ_0 ، یعنی مقدار اولیه زاویه رها شدن پاندول، را به طور اختیار انتخاب کردیم. قاعدتا این مقدار اولیه نباید باعث تغییر رفتار در حرکت هماهنگ ساده شود. این موضوع را می‌توان در شکل ۸.۲ به راحتی مشاهده کرد. در این شکل می‌توان دید که مقدار اولیه θ تاثیری بر روی حرکت نوسانی پاندول نمی‌گذارد.



شکل ۸.۲: محاسبه θ بر حسب زمان به روش اویلر-کرامر با مقادیر اولیه مختلف برای θ

ولی اگر به واسطه یک عامل خارجی حرکت پاندول را مختل کنیم، آنگاه مقادیر اولیه زاویه رها شدن

نیز اهمیت پیدا می‌کنند. معادله حرکت یک نوسانگر که توسط یک نیروی خارجی (به طور متناوب) مختلط می‌شود را می‌توان به صورت زیر در نظر گرفت:

$$\frac{d^2\theta}{dt^2} = -\frac{g}{l} \sin\theta - q \frac{d\theta}{dt} + F_D \sin(\Omega_D t) . \quad (29.2)$$

که در این معادله، جمله $-q \frac{d\theta}{dt}$ مقاومت یا در واقع کاهش در حرکت نوسانی^۴ را نشان می‌دهد که قبلاً در نظر نمی‌گرفتیم. مقدار q قدرت این کاستن را نشان می‌دهد. جمله $F_D \sin(\Omega_D t)$ یک نیروی واداشته‌ی سینوسی^۵ را نشان می‌دهد که F_D دامنه‌ی این نیرو و Ω_D مقدار فرکانس زاویه نوسانات این نیرو را نشان می‌دهد. باز مانند حرکت یک پرتابه در مقاومت هوا برای حل چنین معادله‌ی جواب تحلیلی وجود ندارد و باید حتماً از روش‌های عددی استفاده کنیم. برای اینکه با اثرات نیروی واداشته بیشتر آشنا شویم و ببینیم چگونه تغییر در یک پارامتر می‌تواند باعث تغییر اساسی در حرکت پاندول شود، دو حالت ساده‌ی زیر را به عنوان شرایط اولیه مسله در نظر می‌گیریم:

$$F_D = 0.5, q = 1/2, \Omega_D = 2/3, \theta_0 = 0.2$$

$$F_D = 1/2, q = 1/2, \Omega_D = 2/3, \theta_0 = 0.2$$

تفاوت این دو حالت فقط در مقدار F_D است. شکل‌های ۹.۲ و ۱۰.۲ نشان می‌دهد که چگونه این تفاوت کوچک باعث تغییر اساسی در رفتار حرکت نوسانی می‌شود. در شکل ۹.۲ هنوز حرکت نوسانی حفظ شده است در حالی که در شکل ۱۰.۲ حرکت نوسانی کاملاً از بین رفته است. دلیل پرش‌های عمودی در شکل ۱۰.۲ به خاطر این است اگر زاویه θ از بازه‌ی $-\pi$ تا π خارج شود برای اینکه بتوان آن را رسم کرد باز به این باز برگردانده می‌شود. بنابراین این پرش‌ها به معنی ناپیوستگی در θ نمی‌باشند. قسمتی از برنامه که به زبان پایتون است در زیر آورده شده است

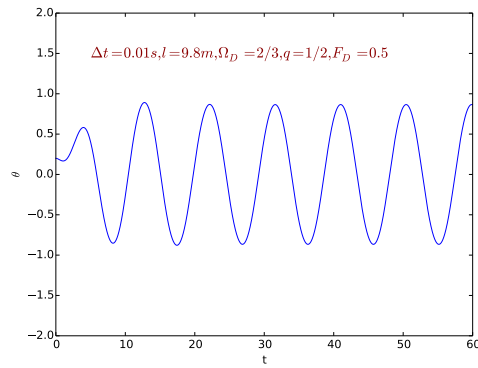
```

1 for i in range(n):
3     omega[i+1]=omega[i] - g/l * sin(theta[i]) * dt \
        -q * omega[i] * dt + F_D * sin(omega_D * t[i]) * dt

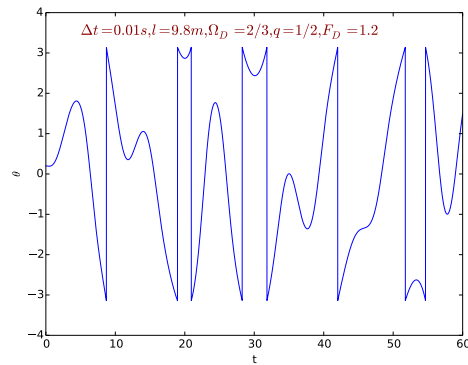
```

^۴damping

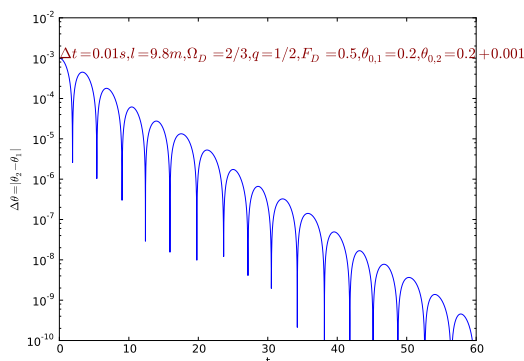
^۵sinusoidal driving force



شکل ۹.۲: محاسبه θ بر حسب زمان به روش اویلر-کرامر با شرایط:
 $F_D = 0.5, q = 1/2, \Omega_D = 2/3, \theta. = 0.2$



شکل ۱۰.۲: محاسبه θ بر حسب زمان به روش اویلر-کرامر با شرایط:
 $F_D = 1.2, q = 1/2, \Omega_D = 2/3, \theta. = 0.2$



شکل ۱۱.۲: $F_D = 0.5$, $q = 1/2$, $\Omega_D = 2/3$, $\theta_{,1} = 0.2$, $\theta_{,2} = 0.2 + 0.001$

```

5 theta[i+1]=theta[i] + omega[i+1]*dt
6 t[i+1] = t[i] + dt
7 if theta[i+1] > pi:
8     theta[i+1] = theta[i+1] - 2.0 * pi
9 if theta[i+1] < -pi:
10    theta[i+1] = theta[i+1] + 2.0 * pi

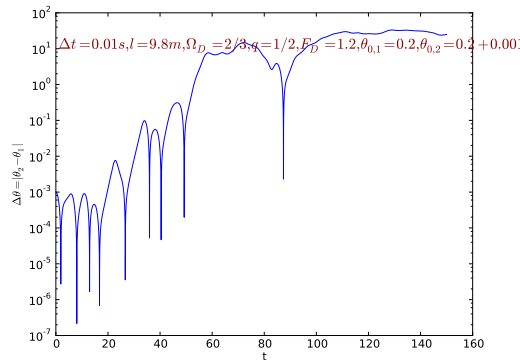
```

: hm1.py

۲.۴.۲ آشوب در حرکت نوسانی

دو پاندول کاملاً یکسان را در نظر بگیرید، با طول یکسان، با ضریب کاهش یکسان و با نیروی واداشته یکسان. اگر تنها تفاوت این دو پاندول زاویه اولیه رها شدن آنها باشد، به طوری که این دو زاویه تفاوتی از مرتبه‌ی یک هزارم داشته باشند، انتظار داریم که تفاوت چندانی در حرکت آنها مشاهده نکنیم. برای اینکه چنین نتیجه‌گیری را انجام دهیم باید ابتدا زاویه $\theta_1(t)$ و $\theta_2(t)$ را بر حسب زمان محاسبه کنیم و سپس کمیت $\Delta\theta(t) = |\theta_1(t) - \theta_2(t)|$ در طول زمان بدست آوریم. انتظار ما این است که این کمیت کمتر و کمتر شود تا اینکه این دو نوسانگر دقیقاً شبیه هم نوسان کنند. ولی اتفاق جالبی رخ می‌دهد: بستگی به مقدار F_D رفتار دو نوسانگر می‌تواند هم زمان شود و یا می‌تواند کاملاً رفتاری آشوبناک نسبت به هم از خود نشان دهند. در شکل‌های ۱۱.۲ و ۱۲.۲ می‌توانید چنین رفتارهایی را مشاهده کنید.

در شکل ۱۱.۲ $F_D = 0.5$ است و مقدار زاویه اولیه برای نوسانگر اول $\theta_{,1} = 0.2$ و مقدار



شکل ۱۲.۲: $F_D = 1/2$, $q = 1/2$, $\Omega_D = 2/3$, $\theta_{0,1} = 0.2$, $\theta_{0,2} = 0.2 + 0.001$

زاویه اولیه برای نوسانگر دوم $\theta_{0,2} = \theta_{0,1} + 0.001$ می‌باشد. همانطور که مشاهده می‌کنید $\Delta\theta(t)$ در سمت صفر میل می‌کند (نمودار لگاریتمی است). همین شرایط اولیه را ما برای F_D در نظر می‌گیریم با این تفاوت که $F_D = 1/2$. در شکل ۱۲.۲ مشاهده می‌کنید که چگونه دو نوسانگر از هم فاصله می‌گیرند. در این حالت ما اصطلاحاً می‌گوییم رفتار دو نوسانگر نسبت به هم آشوبناک است. یا به طور ساده چنین سیستم‌های، سیستم‌های آشوبناک هستند چرا که بشدت به شرایط اولیه حساس هستند. در هر دو شکل برای $\Delta\theta$ می‌توان رفتاری به صورت نمایی مشاهده کرد:

$$\log(\Delta\theta) \sim \lambda t \quad (30.2)$$

و یا

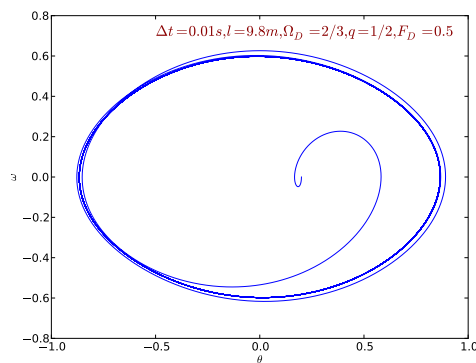
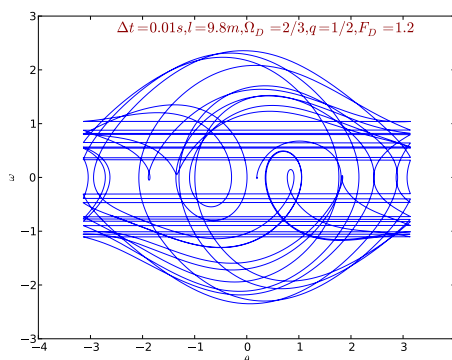
$$\Delta\theta \approx e^{\lambda t} \quad (31.2)$$

پارامتر λ به نمای لیاپانوف^۶ معروف است. بنابراین رفتار $\Delta\theta$ را می‌توان در هر دو رژیم یعنی غیر آشوبناک و آشوبناک با نمای لیاپانوف توصیف کرد. در حالت آشوبناک $\lambda > 0$ و در حالت غیر آشوبناک $\lambda < 0$. بنابراین گذار به رژیم آشوبناک وقتی اتفاق می‌افتد که $\lambda = 0$ باشد.

می‌توان آشوب را در نمودارهای فضایی فاز نوسانگرهایی هارمونیک نیز مشاهده کرد (شکل‌های:

^۶Lyapunov exponent

. (۱۴.۲ و ۱۳.۲)

شکل ۱۳.۲: $F_D = 0.5$, $q = 1/2$, $\Omega_D = 2/3$, $\theta_{0,1} = 0.2$, $\theta_{0,2} = 0.2 + 0.001$ شکل ۱۴.۲: $F_D = 1.2$, $q = 1/2$, $\Omega_D = 2/3$, $\theta_{0,1} = 0.2$, $\theta_{0,2} = 0.2 + 0.001$ **تمرین ۳: استفاده از روش اویلر-کرامر برای حرکت پاندول:**

- با محاسبه θ بر حسب زمان با روش اویلر و اویلر-کرامر نشان دهید که روش اویلر برای سیستم‌های نوسانی ناکارآمد است (لطفا نمودار θ را بر حسب زمان برای هر دو روش رسم کنید.)

- انرژی کل را با استفاده از دو روش محاسبه کنید و آن را بر حسب زمان رسم کنید.
- دو نوسانگر با نیروهای واداشته‌ی $F_D = 1/2$ و $F_D = 0.5$ در نظر بگیرید. با فرض پارامترهای زیر برای دو نوسانگر
 $q = 1/2, l = 9/8, g = 9/8, \Omega_D = 2/3, \theta_{,1} = 0.2, \theta_{,2} = \theta_{,1} + 0.001$
مقدار اختلاف زاویه‌ای لگاریتمی این دو نوسانگر، $\log(\Delta\theta(t))$ ، را بر حسب زمان رسم کنید.

۳.۴.۲ الگوریتم رانگ- کوتای مرتبه ۲ و مرتبه ۴ برای حرکت یک پاندول

الگوریتم مرتبه ۲:

$$\begin{aligned} k_1^\theta &= \omega_i, & k_1^\omega &= -\frac{g}{l}\theta_i \\ k_2^\theta &= \omega_i + \Delta t k_1^\omega, & k_2^\omega &= -\frac{g}{l}(\theta_i + \Delta t k_1^\theta) \\ \theta_{i+1} &= \theta_i + \frac{\Delta t}{2}(k_1^\theta + k_2^\theta), & \omega_{i+1} &= \omega_i + \frac{\Delta t}{2}(k_1^\omega + k_2^\omega) \end{aligned} \quad (32.2)$$

الگوریتم مرتبه ۴:

(۳۳.۲)

$$\begin{aligned} k_1^\theta &= \omega_i, & k_1^\omega &= -\frac{g}{l}\theta_i \\ k_2^\theta &= \omega_i + \frac{\Delta t}{2}k_1^\omega, & k_2^\omega &= -\frac{g}{l}\left(\theta_i + \frac{\Delta t}{2}k_1^\theta\right) \\ k_3^\theta &= \omega_i + \frac{\Delta t}{3}k_2^\omega, & k_3^\omega &= -\frac{g}{l}\left(\theta_i + \frac{\Delta t}{3}k_2^\theta\right) \\ k_4^\theta &= \omega_i + \Delta t k_3^\omega, & k_4^\omega &= -\frac{g}{l}\left(\theta_i + \Delta t k_3^\theta\right) \\ \theta_{i+1} &= \theta_i + \frac{\Delta t}{6}(k_1^\theta + 2k_2^\theta + 2k_3^\theta + k_4^\theta), & \omega_{i+1} &= \omega_i + \frac{\Delta t}{6}(k_1^\omega + 2k_2^\omega + 2k_3^\omega + k_4^\omega) \end{aligned}$$

کتاب نامه

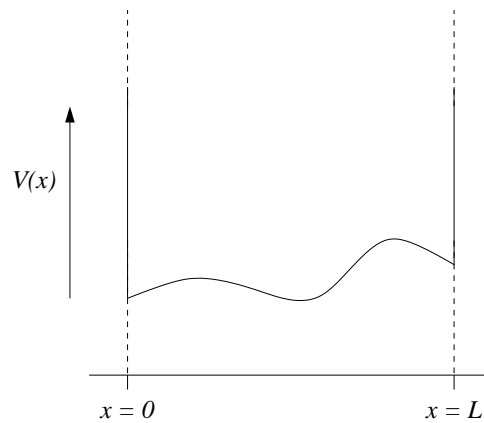
فصل ۳

کار با آرایه ها در پایتون: numpy

۱.۳ تعریف آرایه در numpy

۲.۳ مکانیک کوانتومی ماتریسی

یک چاه کوانتومی یک بعدی با دیواره‌های بی‌نهایت با طول L در نظر بگیرید. اگر پتانسیل داخل چاه دیگر صفر نباشد و با x تغییر کند (شکل ۱.۳)، دیگر نمی‌توانیم مسئله ویژه مقدری $\hat{H}\psi(x) = E\psi(x)$ را به صورت تحلیلی حل کنیم.



شکل ۱.۳: یک چاه کوانتومی یک بعدی با دیوارهای بی نهایت. پتانسیل در داخل چاه کوانتومی با x تغییر می‌کند. در چاه کوانتومی معمولی در داخل چاه پتانسیل ثابت است، $V = 0$ ، در حالی که در اینجا ما فرض می‌کنیم پتانسیل با x تغییر می‌کند، $V(x)$.

همان‌طور که می‌دانیم الکترون در یک چاه پتانسیل معمولی با دیوارهای بی نهایت:

$$V = \begin{cases} 0, & 0 < x < L, \\ \infty, & x \leq 0, \text{ or } x \geq L. \end{cases} \quad (1.3)$$

دارای ویژه حالت‌های سینوسی به شکل زیر است:

$$\phi_n = \sqrt{\frac{2}{L}} \sin\left(\frac{n\pi x}{L}\right) \quad (2.3)$$

این ویژه حالت‌ها دارای این خاصیت هستند که بر روی دیواره‌ها یعنی $x = 0$ و $x = L$ صفر می‌شوند. برای وقتی که پتانسیل داخل چاه با مکان تغییر کند:

$$V = \begin{cases} V(x), & 0 < x < L, \\ \infty, & x \leq 0, \text{ or } x \geq L. \end{cases} \quad (3.3)$$

در این حالت به هامیلتونی یک جمله پتانسیل نیز اضافه می‌شود:

$$\hat{H} = -\frac{\hbar^2}{2M} \frac{d^2}{dx^2} + V(x).$$

باز به دلیل دیواره‌های بی‌نهایت چاه، ویژه حالت‌ها حتما باید در $x = 0$ و $x = L$ صفر شوند. بنابراین می‌توان ویژه حالت‌ها را برای چنین چاهی به صورت بسط سینوسی در نظر گرفت چرا که $\sin(\frac{n\pi x}{L})$ برای روی دیواره‌های صفر است. پس ویژه حالت k ام به صورت زیر خواهد بود

$$\psi_k(x) = \sqrt{\frac{2}{L}} \sum_{n=1}^{\infty} C_{n,k} \sin\left(\frac{n\pi x}{L}\right) \quad (4.3)$$

که در اینجا C_n ضرایب بسط هستند و اصطلاحا $\sqrt{\frac{2}{L}} \sin(\frac{n\pi x}{L})$ پایه‌های ما را تشکیل می‌دهد. پایه‌هایی که انتخاب کرده‌ایم راست بهنجار هستند:

$$\frac{2}{L} \int_0^L \sin \frac{\pi m x}{L} \sin \frac{\pi n x}{L} dx = \begin{cases} 1 & \text{if } m = n, \\ 0 & \text{otherwise.} \end{cases}$$

حال اگر H یعنی هامیلتونی را بر روی $\psi_k(x)$ اثر دهیم، معادله ویژه مقدراری (شرودینگر) به صورت زیر خواهد شد:

$$\hat{H} \left\{ \sum_n C_{n,k} \sqrt{\frac{2}{L}} \sin\left(\frac{n\pi x}{L}\right) \right\} = E_k \sum_n C_{n,k} \sqrt{\frac{2}{L}} \sin\left(\frac{n\pi x}{L}\right) \quad (5.3)$$

حال دو طرف معادله را در $\sqrt{\frac{2}{L}} \sin(\frac{m\pi x}{L})$ ضرب می‌کنیم و از 0 تا L انتگرال می‌گیریم. به دلیل خاصیت راست بهنجاری پایه‌هایی که انتخاب کردیم به رابطه‌ی زیر می‌رسیم:

$$\frac{2}{L} \sum_n \int_0^L C_{n,k} \sin\left(\frac{m\pi x}{L}\right) \hat{H} \sin\left(\frac{n\pi x}{L}\right) dx = E_k C_{m,k} \quad (6.3)$$

با تعریف عناصر هامیلتونی در این پایه‌ها به صورت زیر:

$$\begin{aligned} H_{m,n} &= \frac{\hbar^2}{2M} \int_0^L \sin\left(\frac{m\pi x}{L}\right) \hat{H} \sin\left(\frac{n\pi x}{L}\right) dx \\ &= \frac{\hbar^2}{2M} \int_0^L \sin\left(\frac{m\pi x}{L}\right) \left[-\frac{\hbar^2}{2M} \frac{d^2}{dx^2} + V(x) \right] \sin\left(\frac{n\pi x}{L}\right) dx \end{aligned} \quad (۷.۳)$$

رابطه ویژه مقدار به صورت زیر می‌شود:

$$\sum_n H_{m,n} C_{n,k} = E_k C_{m,k} \quad (۸.۳)$$

که به صورت کلی‌تر می‌توان با نمایش ضرب ماتریسی رابطه بالا را نشان داد:

$$\mathbf{H}\mathbf{C} = \mathbf{E}\mathbf{C} \quad (۹.۳)$$

که ستون k ام ماتریس \mathbf{C} ویژه حالت k را نشان می‌دهد. و ماتریس \mathbf{E} یک ماتریس قطری است که اعضای روی قطر آن نمایش‌گر ویژه مقادیر هستند. در شکل ۲.۳ این موضوع به وضوح توضیح داده شده است:

$$\begin{bmatrix} H_{1,1} & \cdots & H_{1,N} \\ \vdots & \cdots & \vdots \\ H_{N,1} & \cdots & H_{N,N} \end{bmatrix} \begin{bmatrix} C_{1,k} \\ C_{2,k} \\ C_{3,k} \\ \vdots \\ C_{N,k} \end{bmatrix} = \begin{bmatrix} E_1 & & & & \\ & E_2 & & & \\ & & \ddots & & \\ & & & E_k & \\ & & & & \ddots \\ & & & & & E_N \end{bmatrix} \begin{bmatrix} C_{1,k} \\ C_{2,k} \\ C_{3,k} \\ \vdots \\ C_{N,k} \end{bmatrix}$$

H C = E C

شکل ۲.۳

۱.۲.۳ نمایش معادله ویژه مقدار با استفاده از نمادهای کت و برا

تمرین ۴ (قسمت اول): محاسبه ویژه حالت‌ها و ویژه مقادیر یک چاه پتانسیل با پتانسیل متغیر

$$V(x) = \frac{ax}{L} \text{ با استفاده از پایه‌های سینوسی.}$$

در این تمرین سه ویژه مقدار اول انرژی را بر حسب الکترون ولت چاپ کنید. همچنین چگالی سه ویژه حالت $(|\psi(x)|^2)$ را بر حسب x رسم کنید.

- نکته ۱: داخل چاه پتانسیل به طول L با دیوارهای بی‌نهایت پتانسیل متغیر $V(x) = \frac{ax}{L}$ را در نظر بگیرید. تابعی بنویسید که عناصر ماتریس هامیلتونی $H_{m,n}$ را بر حسب n, m و L محاسبه کند. برای این منظور از انتگرال زیر می‌توان استفاده کرد:

$$\int_0^L x \sin \frac{\pi m x}{L} \sin \frac{\pi n x}{L} dx = \begin{cases} 0 & \text{if } m \neq n \text{ and both of } m \text{ and } n \text{ are even or odd} \\ -\left(\frac{2L}{\pi}\right)^2 \frac{mn}{(m^2-n^2)^2} & \text{if } m \neq n \text{ and one of } m \text{ or } n \text{ is even and the other is odd} \\ \frac{L^2}{4} & \text{if } m = n \end{cases}$$

در اینجا فرض کنید که $L = 5 \text{ \AA}$ و $a = 10 \text{ eV}$ و محاسبات را با استفاده از واحد اتمی که در آن $\hbar = m_e = e = 1$ انجام دهید. در واحد اتمی واحد طول شعاع بوهر است که برابر با 0.52917721 \AA است و واحد انرژی هارتری است که برابر با $1 \text{ Hartree} = 27.211383 \text{ eV}$ است.

- نکته ۲: در تئوری برای حل این مسئله باید ابعاد ماتریس H بی‌نهایت باشد یا به عبارتی بسط تابع موج باید تا بی‌نهایت ادامه پیدا کند:

$$\psi_k(x) = \sqrt{\frac{2}{L}} \sum_{n=1}^{\infty} C_{n,k} \sin\left(\frac{n\pi x}{L}\right) \quad (10.3)$$

ولی در عمل لازم نیست که تا بی‌نهایت بسط را ادامه دهیم. بدین منظور فرض کنید بسط را تا جمله اول ادامه دهیم. بنابراین ماتریس H یک ماتریس 10×10 خواهد بود و ویژه مقادیر

تا $M = 10$ بسط داده می‌شوند:

$$\psi_k(x) = \sqrt{\frac{2}{L}} \sum_{n=1}^{M=10} C_{n,k} \sin\left(\frac{n\pi x}{L}\right) \quad (11.3)$$

۳.۳ حل معادله شرودینگر در فضای حقیقی

اگر به معادله شرودینگر دقت کنیم، به سادگی متوجه این موضوع خواهیم شد که معادله شرودینگر، یک معادله دیفرانسیلی است که مانند تمام معادلات دیفرانسیلی آن را می‌توان به صورت عددی حل کرد. بنابراین به جای این که از پایه‌ها برای بسط توابع موج استفاده کنیم (روشی که در بخش ابتدایی توضیح داده شد)، می‌توانیم از روش‌های عددی استفاده کرد. روش عددی که برای حل معادله شرودینگر استفاده می‌شود به روش اختلاف محدود فضای حقیقی^۱ معروف است. در این روش فضای حقیقی (واقعی) را مش بندی می‌کنیم و با توجه به اینکه مقدار پتانسیل را در هر نقطه داریم، می‌توانیم مقدار تابع موج را نیز در هر نقطه پیدا کنیم. برای توضیح بیشتر این روش یک مثال ساده، یعنی نوسانگر هماهنگ ساده، را با این روش حل می‌کنیم.

۱.۳.۳ حل نوسانگر ساده یک بعدی به روش فضای حقیقی

معادله شرودینگر (مستقل از زمان) یک نوسانگر یک بعدی به صورت زیر است:

$$-\frac{\hbar^2}{2m} \frac{d^2}{dx^2} \psi(x) + \frac{1}{4} kx^2 \psi(x) = E\psi(x) \quad (12.3)$$

با انتخاب $\hbar = m = k = 1$ معادله به صورت ساده تر زیر می‌شود:

$$-\frac{1}{2} \frac{d^2}{dx^2} \psi(x) + \frac{1}{4} x^2 \psi(x) = E\psi(x) \quad (13.3)$$

سپس برای سادگی بیشتر معادله را در ۲ ضرب می‌کنیم:

$$-\frac{d^2}{dx^2} \psi(x) + x^2 \psi(x) = 2E\psi(x) \quad (14.3)$$

^۱ Real-Space Finite-Difference method

همان طور که از معادله مشخص است، می‌بایست برای محاسبه مشتق دوم $\psi(x)$ چاره‌ای پیدا کنیم. مشتق دوم یک تابع، $f(x)$ ، را می‌توان به صورت زیر تقریب زد:

$$\frac{d^2 f}{dx^2} = \frac{f(x+h) - 2f(x) + f(x-h)}{h^2} + O(h^2) \quad (15.3)$$

که h گام (همان Δx) یا همان اندازه مش بندی فضایی است. برای اینکه مش بندی مشخصی را در نظر بگیریم، ابتدا برای متغیر x یک کمینه (X_{\min}) و بیشینه (X_{\max}) در نظر می‌گیریم که در حقیقت با آنها مرز تابع (موج) را مشخص می‌کنیم. اگر فضای حقیقی را به تعداد N مش بندی کنیم. فاصله‌ی بین نقاط فضا (نقاط مش) یعنی همان h به صورت زیر خواهد شد:

$$h = \frac{X_{\max} - X_{\min}}{N} \quad (16.3)$$

و بنابراین مکان نقطه i ام مش به صورت زیر خواهد بود:

$$x_i = X_{\min} + ih \quad i = 1, 2, \dots, N-1 \quad (17.3)$$

پاورقی: مشتق دوم یک تابع به صورت عددی

به راحتی می‌توان با استفاده از بسط تیلور معادله ۱۵.۳ را بدست آورد. $f(x+h)$ و $f(x-h)$ را بسط تیلور می‌دهیم:

$$f(x-h) \approx f(x) - f'(x)h + \frac{f''(x)}{2!}h^2 + O(h^3) \quad (18.3)$$

$$f(x+h) \approx f(x) + f'(x)h + \frac{f''(x)}{2!}h^2 + O(h^3) \quad (19.3)$$

با جمع دو معادله به معادله زیر می‌رسیم:

$$f(x-h) + f(x+h) \approx 2f(x) + f''(x)h^2 + O(h^4) \quad (20.3)$$

که دقیقاً همان معادله ۱۵.۳ است.

پس معادله شرودینگر ۱۴.۳ برای نقطه‌ی k ام مش به صورت زیر خواهد شد:

$$-\frac{\psi(x_k + h) - 2\psi(x_k) + \psi(x_k - h))}{h^2} + x_k^2 \psi(x_k) = 2E\psi(x_k) \quad (21.3)$$

یا به طور خلاصه‌تر

$$-\frac{\psi_{k+1} - 2\psi_k + \psi_{k-1}}{h^2} + x_k^2 \psi_k = 2E\psi_k \quad (22.3)$$

که در اینجا

$$\psi_k \equiv \psi(x_k)$$

$$\psi_{k+1} \equiv \psi(x_k + h)$$

$$\psi_{k-1} \equiv \psi(x_k - h)$$

بنابراین قسمت انرژی جنبشی را می‌توان برای هر نقطه مش به صورت زیر نوشت:

$$c_1 \psi_{k+1} + c_2 \psi_k + c_3 \psi_{k-1} \quad (23.3)$$

که $c_1 = -1/h^2$ و $c_2 = 2/h^2$ با فرض شرط مرزی $\psi(x_N) = \psi_N = 0$ و $\psi(x_1) = \psi_1 = 0$ برای نقاط مختلف مش روابط زیر را (برای انرژی جنبشی) می‌توان نوشت:

$$k = 1 \quad c_2 \psi_1 + c_3 \psi_2$$

$$k = 2 \quad c_1 \psi_1 + c_2 \psi_2 + c_3 \psi_3 \quad (24.3)$$

$$k = 3 \quad c_1 \psi_2 + c_2 \psi_3 + c_3 \psi_4$$

...

$$k = N - 1 \quad c_1 \psi_{N-2} + c_2 \psi_{N-1}$$

با توجه به رابطه‌های بالا، می‌توان این روابط را به صورت ماتریسی نوشت:

$$\begin{bmatrix} c_0 & c_1 & 0 & 0 & \dots \\ c_1 & c_0 & c_1 & 0 & \dots \\ \vdots & c_1 & c_0 & \ddots & \vdots \\ 0 & & \ddots & \ddots & c_1 \\ 0 & 0 & \dots & c_1 & c_0 \end{bmatrix} \begin{bmatrix} \psi_1 \\ \psi_2 \\ \vdots \\ \psi_{N-2} \\ \psi_{N-1} \end{bmatrix} \quad (25.3)$$

پس معادله ۲۲.۳ را می‌توان به صورت ماتریس زیر نوشت:

$$\begin{bmatrix} c_0 + V_1 & c_1 & 0 & 0 & \dots \\ c_1 & c_0 + V_2 & c_1 & 0 & \dots \\ \vdots & c_1 & c_0 + V_k & \ddots & \vdots \\ 0 & & \ddots & \ddots & c_1 \\ 0 & 0 & \dots & c_1 & c_0 + V_{N-1} \end{bmatrix} \begin{bmatrix} \psi_1 \\ \psi_2 \\ \vdots \\ \psi_{N-2} \\ \psi_{N-1} \end{bmatrix} = 2E \begin{bmatrix} \psi_1 \\ \psi_2 \\ \vdots \\ \psi_{N-2} \\ \psi_{N-1} \end{bmatrix} \quad (26.3)$$

که در اینجا

$$V_k = x_k^2$$

بنابراین به راحتی در پایتون و با استفاده از کتابخانه numpy می‌توانیم ماتریس که در معادله بالا ظاهر می‌شود را قطر کرد. برای مثال برنامه زیر ۵ ویژه مقدار اول ماتریس بالا را به ما می‌دهد:

```
import numpy as np
import numpy.linalg as la
N=50
Xmin=-10.0
Xmax=10.0
h=(Xmax-Xmin)/N
x=np.arange(Xmin,Xmax,h)
c0=2/(h**2)
c1=-1/(h**2)
T=c0*np.diag(np.ones(N-1)) \
+c1*np.diag(np.ones(N-2),1)+c1*np.diag(np.ones(N-2),-1)
V=np.diag(x[1:],**2)
```

```
H=T+V
14 val=la.eigvalsh(H)
print(val[0:5])
```

: real_space.py

با توجه به اینکه ویژه مقادیر یک نوسانگر هارمونیک به صورت زیر می باشد:

$$E_n = \left(n + \frac{1}{2}\right)\hbar\omega \quad (27.3)$$

و با توجه به اینکه در اینجا ما فرض کردیم $\hbar = k = m = 1$ است، و از طرفی هامیلتونی را در ۲ ضرب کردیم، ویژه مقادیری که برنامه به ما می دهد باید با ویژه مقادیر زیر قابل مقایسه باشد:

$$E_n = 2n + 1 \quad (28.3)$$

به عبارتی اعداد فرد ویژه مقادیر هستند. جواب هایی که از اجرای برنامه بالا بدست می آید را در جدول ... می توان مشاهده کرد. وقتی تعداد نقاط مش بندی یعنی N را بالا می بریم به جواب های دقیق تر می رسیم.

E_4	E_3	E_2	E_1	E_0	N
۸,۵۶۸۴۴۱۹۴	۶,۷۳۹۹۱۵۹۲	۴,۸۶۶۲۲۳۲۲	۲,۹۴۹۰۵۱۵۲	۰,۹۸۹۸۹۶۸۶	۵۰
۸,۸۹۶۲۸۲۵۷	۶,۹۳۶۹۱۷۴۵	۴,۹۶۷۲۷۷۲۶	۲,۹۸۷۴۴۳۰۳	۰,۹۹۷۴۹۳۷۰	۱۰۰
۸,۹۹۵۸۹۸۱۱	۶,۹۹۷۴۹۹۰۹	۴,۹۹۸۶۹۹۶۵	۲,۹۹۹۴۹۹۹۱	۰,۹۹۹۸۹۹۹۹	۵۰۰
۸,۹۹۸۹۷۴۸۸	۶,۹۹۹۳۷۴۹۴	۴,۹۹۹۶۷۴۹۸	۲,۹۹۹۸۷۴۹۹	۰,۹۹۹۹۷۵۰۰	۱۰۰۰
۸,۹۹۹۷۴۳۷۴	۶,۹۹۹۸۴۳۷۵	۴,۹۹۹۹۱۸۷۵	۲,۹۹۹۹۶۸۷۵	۰,۹۹۹۹۹۳۷۵	۲۰۰۰

تمرین ۴ (قسمت دوم): محاسبه ویژه حالت ها و ویژه مقادیر یک چاه پتانسیل با پتانسیل متغیر

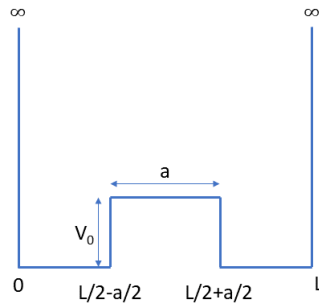
$$V(x) = \frac{ax}{L} \text{ با استفاده از روش فضای حقیقی.}$$

در این تمرین سه ویژه مقدار اول انرژی را بر حسب الکترون ولت چاپ کنید. همچنین چگالی سه ویژه حالت $(|\psi(x)|^2)$ را بر حسب x رسم کنید. همچنین نتایج خود را با محاسبه قسمت اول مقایسه کنید. برای مقایسه ویژه مقادیر و هم ویژه حالت را مقایسه کنید. برای مقایسه ویژه حالت ها، چگالی سه ویژه حالت قسمت دوم را با چگالی ویژه حالت های قسمت اول با هم رسم کنید.

تمرین: محاسبه ویژه حالت‌ها و ویژه مقادیر برای چاه پتانسیل نامتناهی با یک سد در میان یک چاه پتانسیل نامتناهی با یک سد در میان این چاه در نظر بگیرید. مقدار پتانسیل در نقاط مختلف به صورت زیر است:

$$V(x) = \begin{cases} \infty & x < 0 \\ 0 & 0 < x < L/2 - a/2 \\ V_0 & L/2 - a/2 \leq x \leq L/2 + a/2 \\ 0 & x > L/2 + a/2 \\ \infty & x > L \end{cases}$$

و شکل این چاه به صورت زیر خواهد بود:



شکل ۳.۳

مقدار طول L و a را به ترتیب برابر با ۵ و ۱ آنگسترم و مقدار V_0 را ۵۰ اکترون ولت در نظر بگیرید.

الف-

با توجه به مطالب فصل ۳ جزوه، به روش بسط تابع موج بر حسب توابع ویژه چاه نامتناهی مقدار ۳ ویژه حالت اول را بر حسب اکترون ولت محاسبه کنید. همچنین ۳ ویژه حالت (۳ ویژه تابع) اول را رسم کنید. تعداد تابع‌های پایه را ۵۰۰ در نظر بگیرید.

ب-

با توجه به مطالب فصل ۳ جزوه، به روش فضای حقیقی مقدار ۳ ویژه حالت اول را بر حسب اکترون ولت محاسبه کنید. تعداد مش رو ۴۰۰ در نظر بگیرید.

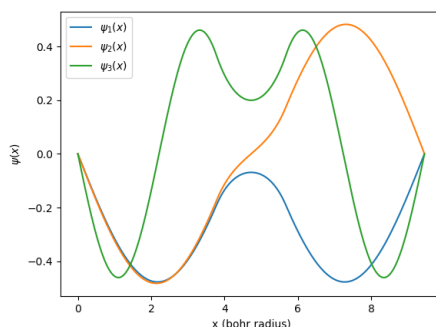
راهنمایی:

سه ویژه مقدار اول باید برابر با:

۲۷/۴۰۰۵, ۷/۳۲۴۸, ۷/۱۰۰۱

(بر حسب الکترون ولت)

و سه ویژه تابع اول به صورت:



شکل ۴.۳

هامیلتونی را می توان به صورت دو جمله جنبشی و پتانسیل نوشت یعنی: $H_{mn} = T_{mn} + V_{mn}$

از معادله زیر برای بدست آوردن قسمت V_{mn} هامیلتونی استفاده کنید:

$$\frac{\hbar^2}{2M} \int_0^L \sin\left(\frac{m\pi x}{L}\right) V(x) \sin\left(\frac{n\pi x}{L}\right) dx = \begin{cases} \frac{\hbar^2 V_0}{\pi} \left\{ \frac{1}{m-n} \cos\left(\frac{(m-n)\pi}{4}\right) \sin\left(\frac{\pi}{L}(m-n)\frac{a}{4}\right) - \frac{1}{m+n} \cos\left(\frac{(m+n)\pi}{4}\right) \sin\left(\frac{\pi}{L}(m+n)\frac{a}{4}\right) \right\} & n \neq m \\ \frac{V_0}{L} \left\{ a - \frac{L}{n\pi} \cos(n\pi) \sin\left(n\pi \frac{a}{L}\right) \right\} & n = m \end{cases}$$

برای قسمت جنبشی نیز به راحتی می توان نشان داد:

$$T_{mn} = \frac{\hbar^2}{2M} \left(\frac{n\pi}{L}\right)^2 \delta_{mn}$$

۴.۳ حل معادله شرودینگر وابسته به زمان

معادله شرودینگر تک ذره در یک بعد به صورت زیر است:

$$-\frac{\hbar^2}{2M} \frac{\partial^2 \psi}{\partial x^2} = i\hbar \frac{\partial \psi}{\partial t} \quad (۲۹.۳)$$

معادله شرودینگر در واقع یک معادله پخش است به همین دلیل ابتدا به چگونگی حل معادله پخش، که به صورت زیر است، می‌پردازیم.

$$\frac{\partial \psi}{\partial t} = D \frac{\partial^2 \psi}{\partial x^2} \quad (۳۰.۳)$$

که در این معادله D ضریب پخش است. برای حل این معادله می‌توان از روش FTCS^۲ استفاده کنیم. در این روش مشتق دوم را به صورت عددی به شکل زیر تقریب می‌زنیم:

$$\frac{\partial^2 \phi}{\partial x^2} = \frac{\phi(x+a, t) + \phi(x-a, t) - 2\phi(x, t)}{a^2} \quad (۳۱.۳)$$

بنابراین

$$\frac{d\phi}{dt} = \frac{D}{a^2} [\phi(x+a, t) + \phi(x-a, t) - 2\phi(x, t)] \quad (۳۲.۳)$$

معادله بالا را می‌توان به صورت زیر دید:

$$\frac{d\phi}{dt} = f(\phi, t) \quad (۳۳.۳)$$

پس طبق روش اویلر:

$$\phi(t + \Delta t) = \phi(t) + \Delta t f(\phi, t) \quad (۳۴.۳)$$

و یا به صورت کامل‌تر:

$$\phi(x, t + \Delta t) = \phi(x, t) + \Delta t \frac{D}{a^2} [\phi(x+a, t) + \phi(x-a, t) - 2\phi(x, t)] \quad (۳۵.۳)$$

مثال: حل معادله حرارت

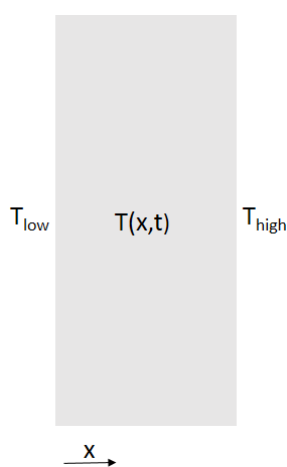
معادله حرارت در واقع شبیه معادله پخش است و نشان می‌دهد که چگونه دما در طی گذر زمان در

^۲Forward-time centered-space method

یک جسم تغییر می‌کند. این معادله به صورت زیر می‌باشد:

$$\frac{\partial T}{\partial t} = D \frac{\partial^2 T}{\partial x^2} \quad (۳۶.۳)$$

برای مثال شکل زیر یک تیغه فولادی را نشان می‌دهد که در یک طرف آن دما پایین T_{low} و در طرف دیگر آن دما بالاتر T_{high} است. با فرض اینکه دما در دو طرف تیغه ثابت نگه داشته می‌شود، می‌توان از معادله بالا برای محاسبه دما، $T(x, t)$ ، در هر مکان (در عرض تیغه، x) و در هر زمان استفاده کرد.



شکل ۵.۳

برنامه زیر مقدار $T(x, t)$ را در زمان‌های مختلف $t_1 = 0.01s$, $t_2 = 0.1s$, $t_3 = 0.4s$ و $t_4 = 1.0s$ در یک تیغه فولادی محاسبه می‌کند. در این برنامه فرض شده است که $T_{low} = 0$ و $T_{high} = 50$ است. عرض تیغه به ۱۰۰ قسمت تقسیم شده است (یعنی اندازه مش بندی ۱۰۰). عرض تیغه $L = 0.01m$ و ضریب پخش گرمایی آن $D = 4.25 \times 10^{-6} m^2 s^{-1}$ است که مربوط به فولاد ضد زنگ می‌باشد.

```

1 from numpy import empty
2 from matplotlib.pyplot import plot, xlabel, ylabel, show, legend
3
4 # Constants
5 L = 0.01          # Thickness of steel in meters
6 D = 4.25e-6      # Thermal diffusivity

```

```

7 N = 100      # Number of divisions in grid
  a = L/N     # Grid spacing
9  h = 1e-4   # Time-step
  epsilon = h/1000
11
  Tlo = 0.0   # Low temperature in Celcius
13 Tmid = 20.0 # Intermediate temperature in Celcius
  Thi = 50.0  # Hi temperature in Celcius
15
  t1 = 0.01
17 t2 = 0.1
  t3 = 0.4
19 t4 = 1.0
  t5 = 10.0
21 tend = t5 + epsilon

23 # Create arrays
  T = empty(N+1, float)
25 T[0] = Thi
  T[N] = Tlo
27 T[1:N] = Tmid
  Tp = empty(N+1, float)
29 Tp[0] = Thi
  Tp[N] = Tlo
31
  # Main loop
33 t = 0.0
  c = h*D/(a*a)
35 while t < tend:

37     # Calculate the new values of T
     for i in range(1,N):
39         Tp[i] = T[i] + c*(T[i+1]+T[i-1]-2*T[i])
     T, Tp = Tp, T
41     t += h

43     # Make plots at the given times
     if abs(t-t1)<epsilon:
45         plot(T, label="t="+str(t1))
     if abs(t-t2)<epsilon:
47         plot(T, label="t="+str(t2))
     if abs(t-t3)<epsilon:

```

```

49         plot(T, label="t=" + str(t3))
        if abs(t-t4)<epsilon:
51             plot(T, label="t=" + str(t4))
        if abs(t-t5)<epsilon:
53             plot(T, label="t=" + str(t5))

55 xlabel("x")
        ylabel("T")
57 legend()
        show()

```

: prog_ch2/heat.py

در هر زمان طبق معادلات بالا باید برای تمام نقاط مکانی به صورت زیر عمل کنیم:

```

for i in range(1,N):
2     Tp[i]= T[i]+c*(T[i+1]+T[i-1]-2*T[i])

```

ولی محاسبات به این شکل سنگین می‌شود. به همین دلیل می‌توان از مفهوم برش^۳ استفاده کرد:

```

Tp[1:N]= T[1:N]+c*(T[2:N+1]+T[0:N-1]-2*T[1:N])

```

۱.۴.۳ حل معادله‌ی شرودینگر به روش Crank-Nielson

می‌توان نشان داد که روش FTCS، روش پایداری نیست. روش بهتر برای حل معادله‌ی شرودینگر روش Crank-Nielson است که می‌توان به صورت زیر آن را توضیح داد. همان طور که بیان شد، برای معادله شرودینگر طبق روش FTCS عمل کرد:

$$\psi(x, t + \Delta t) = \psi(x, t) + \Delta t \frac{i\hbar}{2ma^2} [\psi(x + a, t) + \psi(x - a, t) - 2\psi(x, t)] \quad (37.3)$$

این معادله را می‌توان برای زمان $t - \Delta t$ نیز تکرار کرد:

$$\psi(x, t - \Delta t) = \psi(x, t) - \Delta t \frac{i\hbar}{2ma^2} [\psi(x + a, t) + \psi(x - a, t) - 2\psi(x, t)] \quad (38.3)$$

^۳slicing

حال اگر در معادله بالا $t + \Delta t$ را با t جایگزین کنیم ($t \rightarrow t + \Delta t$) معادله زیر بدست می‌آید (طرف راست معادله را ابتدا باز نویسی می‌کنیم):

$$(۳۹.۳)$$

$$\psi(x, t + \Delta t) - \Delta t \frac{i\hbar}{2ma^2} [\psi(x+a, t + \Delta t) + \psi(x-a, t + \Delta t) - 2\psi(x, t + \Delta t)] = \psi(x, t)$$

حال دو طرف معادله ۳۷.۳ و ۳۹.۳ را باهم جمع و بر ۲ تقسیم می‌کنیم:

$$\begin{aligned} \psi(x, t + \Delta t) - \Delta t \frac{i\hbar}{2ma^2} [\psi(x+a, t + \Delta t) + \psi(x-a, t + \Delta t) - 2\psi(x, t + \Delta t)] \\ = \psi(x, t) + \Delta t \frac{i\hbar}{2ma^2} [\psi(x+a, t) + \psi(x-a, t) - 2\psi(x, t)] \end{aligned} \quad (۴۰.۳)$$

مسئله این معادله را نمی‌توان به صورت جایگزینی قبلی انجام داد و بطور ساده حل کرد. برای توضیح روش Crank-Nielson به مسئله ساده ذره در چاه پتانسیل با دیوارهای بی‌نهایت بر می‌گردیم. در این صورت ψ بر روی مرز دیوارها یعنی $x = 0$ و $x = L$ برابر با صفر است. اگر فاصله بین $x = 0$ تا $x = L$ را با گام‌های a تقسیم‌بندی کنیم، $\psi(x, t)$ در هر زمان را می‌توان به صورت یک بردار نمایش داد:

$$\psi(t) = \begin{bmatrix} \psi(a, t) \\ \psi(2a, t) \\ \psi(3a, t) \\ \vdots \\ \psi((N-1)a, t) \end{bmatrix} \quad (۴۱.۳)$$

حال با تعریف دو ماتریس سه قطری A و B به صورت زیر:

$$\mathbf{A} = \begin{bmatrix} a_1 & a_2 & & & \\ a_2 & a_1 & a_2 & & \\ & a_2 & \ddots & \ddots & \\ & & \ddots & \ddots & a_2 \\ & & & a_2 & a_1 \end{bmatrix} \quad (42.3)$$

$$\mathbf{B} = \begin{bmatrix} b_1 & b_2 & & & \\ b_2 & b_1 & b_2 & & \\ & b_2 & \ddots & \ddots & \\ & & \ddots & \ddots & b_2 \\ & & & b_2 & b_1 \end{bmatrix} \quad (43.3)$$

که در اینجا a_1 ، a_2 ، b_1 و b_2 به صورت زیر تعریف می شوند:

$$\begin{aligned} a_1 &= 1 + \Delta t \frac{i\hbar}{\sqrt{ma^2}} \\ a_2 &= -\Delta t \frac{i\hbar}{\sqrt{ma^2}} \\ b_1 &= 1 - \Delta t \frac{i\hbar}{\sqrt{ma^2}} \\ b_2 &= \Delta t \frac{i\hbar}{\sqrt{ma^2}} \end{aligned}$$

با این تعاریف می توان معادله ۴۰.۳ را به صورت ساده زیر نوشت:

$$\mathbf{A}\psi(t + \Delta t) = \mathbf{B}\psi(t) \quad (44.3)$$

[‡]Tridiagonal matrix

در واقع اگر معادله بالا را بازتر کنیم به صورت زیر خواهد شد:

$$(45.3) \quad \begin{bmatrix} a_1 & a_2 & & & \\ a_2 & a_1 & a_2 & & \\ & a_2 & \ddots & \ddots & \\ & & \ddots & \ddots & a_2 \\ & & & a_2 & a_1 \end{bmatrix} \begin{bmatrix} \psi(a, t + \Delta t) \\ \psi(2a, t + \Delta t) \\ \psi(3a, t + \Delta t) \\ \vdots \\ \psi(L - a, t + \Delta t) \end{bmatrix} = \begin{bmatrix} b_1 & b_2 & & & \\ b_2 & b_1 & b_2 & & \\ & b_2 & \ddots & \ddots & \\ & & \ddots & \ddots & b_2 \\ & & & b_2 & b_1 \end{bmatrix} \begin{bmatrix} \psi(a, t) \\ \psi(2a, t) \\ \psi(3a, t) \\ \vdots \\ \psi(L - a, t) \end{bmatrix}$$

به عبارتی معادله بالا را می‌توان به صورت یک چند معادله چند مجهول در نظر گرفت، یعنی:

$$\mathbf{Ax} = \mathbf{v} \quad (46.3)$$

که

$$\mathbf{x} = \begin{bmatrix} \psi(a, t + \Delta t) \\ \psi(2a, t + \Delta t) \\ \psi(3a, t + \Delta t) \\ \vdots \\ \psi(L - a, t + \Delta t) \end{bmatrix}$$

و

$$\mathbf{v} = \mathbf{B} \begin{bmatrix} \psi(a, t) \\ \psi(2a, t) \\ \psi(3a, t) \\ \vdots \\ \psi(L - a, t) \end{bmatrix} = \mathbf{B}\psi(t)$$

روش‌های زیادی برای حل چند معادله چند مجهول وجود دارد که معروف‌ترین آن روش حذف گوسی است. در کتابخانه numpy و scipy برای حل چند معادله چند مجهول از روشی استفاده می‌شود که در آن ماتریس \mathbf{A} به ماتریس بالا و پایین مثلثی تجزیه می‌شود. این روش به اختصار به LU decomposition بیان می‌شود که LU اشاره به lower upper یا همان پایین بالا (مثلثی) دارد. دستور solve در زیر کتابخانه

linalg با استفاده از این روش چند معادله چند مجهول را حل می‌کند. برای مثال معادله‌های زیر را در نظر بگیرید:

$$2w + x + 4y + z = -4$$

$$3w + 4x - y - z = 3$$

$$w - 4x + y + 5z = 9$$

$$2w - 2x + y + 3z = 7$$

این معادلات را می‌توان به صورت ماتریسی نوشت:

$$\begin{bmatrix} 2 & 1 & 4 & 1 \\ 3 & 4 & -1 & -1 \\ 1 & -4 & 1 & 5 \\ 2 & -2 & 1 & 3 \end{bmatrix} \begin{bmatrix} w \\ x \\ y \\ z \end{bmatrix} = \begin{bmatrix} -4 \\ 3 \\ 9 \\ 7 \end{bmatrix}$$

برای حل این معادلات در scipy کافی است چنین عمل کنیم:

```
1 import numpy as np
2 import scipy.linalg as la
3 a=np.array([[2,1,4,1], [3,4,-1,-1], [1,-4,1,5], [2,-2,1,3]])
4 b=np.array([-4,3,9,7])
5 x=la.solve(a,b)
6 print(np.dot(a,x)-b) # to check if the answer is satisfied the equation
```

کتابخانه scipy برای ماتریس‌های خاص مانند ماتریس‌های سه قطری روش‌های سریع‌تری را به کار می‌برد. در scipy ماتریس‌های سه قطر در زیر مجموعه‌ی ماتریس‌های به نام ماتریس‌های banded طبق بندی می‌شود. یک ماتریس banded در واقع یک ماتریس است که اعضای قطر مرکزی و اعضای چندین قطربالاتر و پایین تر آن غیر صفر هستند و مابقی صفر هستند. برای واضح شدن موضوع به مثال زیر که یک ماتریس banded است توجه کنید. یک ماتریس 6×6 را در نظر بگیرید. اعضای این

ماتریس را به صورت عمومی می‌توان با $a_{i,j}$ نشان داد:

$$\mathbf{A} = \begin{bmatrix} a_{0,0} & a_{0,1} & a_{0,2} & a_{0,3} & a_{0,4} & a_{0,5} \\ a_{1,0} & a_{1,1} & a_{1,2} & a_{1,3} & a_{1,4} & a_{1,5} \\ a_{2,0} & a_{2,1} & a_{2,2} & a_{2,3} & a_{2,4} & a_{2,5} \\ a_{3,0} & a_{3,1} & a_{3,2} & a_{3,3} & a_{3,4} & a_{3,5} \\ a_{4,0} & a_{4,1} & a_{4,2} & a_{4,3} & a_{4,4} & a_{4,5} \\ a_{5,0} & a_{5,1} & a_{5,2} & a_{5,3} & a_{5,4} & a_{5,5} \end{bmatrix} \quad (47.3)$$

حال اگر اعضای قطر، بالای قطر و دو قطر پایین غیر صفر و مابقی صفر باشند این ماتریس به صورت زیر می‌شود:

$$\mathbf{A} = \begin{bmatrix} a_{0,0} & a_{0,1} & \cdot & \cdot & \cdot & \cdot \\ a_{1,0} & a_{1,1} & a_{1,2} & \cdot & \cdot & \cdot \\ a_{2,0} & a_{2,1} & a_{2,2} & a_{2,3} & \cdot & \cdot \\ \cdot & a_{3,1} & a_{3,2} & a_{3,3} & a_{3,4} & \cdot \\ \cdot & \cdot & a_{4,2} & a_{4,3} & a_{4,4} & a_{4,5} \\ \cdot & \cdot & \cdot & a_{5,3} & a_{5,4} & a_{5,5} \end{bmatrix} \quad (48.3)$$

برای معرفی ساده‌تر این ماتریس و حل سریع‌تر آن در `scipy` چنین عمل می‌کنیم: ابتدا دو پارامتر u و l را مشخص می‌کنیم که نشان دهنده‌ی تعداد قطرهای بالا و پایین^۵ است. در این مثال $u = 1$ است که به معنی یک قطر بالا است و $l = 2$ که به معنی دو قطر غیر صفر پایین است. سپس ماتریس ab که اعضای سطر آن به ترتیب اعضای قطرهای بالا، قطر مرکزی و قطرهای پایین ماتریس اصلی را نشان می‌دهد را به

^۵u=upper, l=lower

صورت زیر معرفی می‌کنیم:

$$\mathbf{ab} = \begin{bmatrix} 0 & a_{0,1} & a_{1,2} & a_{2,3} & a_{3,4} & a_{4,5} \\ a_{0,0} & a_{1,1} & a_{2,2} & a_{3,3} & a_{4,4} & a_{5,5} \\ a_{1,0} & a_{2,1} & a_{3,2} & a_{4,3} & a_{5,4} & 0 \\ a_{2,0} & a_{3,1} & a_{4,2} & a_{5,3} & 0 & 0 \end{bmatrix} \quad (49.3)$$

می‌توان نشان داد که روش حذف گوسی برای حل معادله $\mathbf{Ax} = \mathbf{v}$ برای زمانی که \mathbf{A} همانند مثال بالا یک ماتریس banded است، سریع‌تر است که در `scipy.linalg` از همین روش برای حل استفاده می‌شود. کافی است از دستور زیر برای حل استفاده کنیم که در آن به جای ماتریس \mathbf{A} باید از ماتریس \mathbf{ab} و از پارامترهای l و u برای معرفی ماتریس استفاده کنیم:

```
import scipy.linalg as la
x=la.solve_banded((l,u),ab,v)
```

مثال: ماتریس سه قطری 1000×1000 زیر را در نظر بگیرید:

$$\mathbf{A} = \begin{bmatrix} 1 & 2 & 0 & 0 & 0 & \dots & 0 \\ 7 & 8 & 9 & 0 & 0 & \dots & 0 \\ 0 & 7 & 8 & 9 & 0 & \dots & 0 \\ 0 & 0 & 7 & 8 & 9 & \dots & 0 \\ \vdots & \vdots & \vdots & \ddots & \ddots & \ddots & \vdots \\ \vdots & \vdots & \vdots & \dots & 7 & 8 & 9 \\ 0 & 0 & 0 & \dots & 0 & 3 & 4 \end{bmatrix} \quad (50.3)$$

و

$$\mathbf{v} = \begin{bmatrix} 1 \\ 2 \\ 2 \\ 2 \\ \vdots \\ 2 \\ 2 \\ 3 \end{bmatrix} \quad (51.3)$$

برای حل معادله خطی (چند معادله چند مجهول) زیر:

$$\mathbf{Ax} = \mathbf{v} \quad (52.3)$$

برنامه زیر این معادله را به دو روش معمولی و روشی که برای ماتریس‌های banded استفاده می‌شود، حل می‌کند و زمان محاسبات که در هر دو روش مصرف می‌شود را چاپ می‌کند:

```

import numpy as np
2 import scipy.linalg as la
import time
4
6 #—— Build [A] array and {v} column vector
8 m = 200 # size of array, make this 8000 to see time benefits
10 A=np.diag(7 * np.ones(m-1), -1) + np.diag( 8 * np.ones(m) ) + np.diag
    ( 9 * np.ones(m-1), 1)
12 A[0, 0] = 1
    A[0, 1] = 2
14 A[m-1, m-2] = 3
    A[m-1, m-1] = 4
16

```

```

18 v = 2 * np.ones(m)
   v[0] = 1
20 v[-1] = 3

22 ti = time.time()
   #—— Solve using scipy.linalg.solve
24
   x = la.solve(A, v)      # solve A*x = v for x
26
   print('scipy.linalg.solve time', time.time()-ti, 'seconds')
28
30 #—— Build ab array
   ab = np.zeros((3,m))
32 ab[0,:] = 9
   ab[1,:] = 8
34 ab[2,:] = 7
   # Fix end points
36 ab[0,1] = 2
   ab[1,0] = 1
38 ab[1,-1] = 4
   ab[2,-2] = 3
40
   ti = time.time()
42 #—— Solve using scipy.linalg.solve_banded
44
   x = la.solve_banded((1,1),ab,v)      # solve A*x = v for x
46
   print('scipy.linalg.solve_banded', time.time()-ti, 'seconds')

```

: prog_ch2/matrix_banded.py

تمرین ۵: حل معادله شرودینگر وابسته به زمان برای یک ذره در چاه پتانسیل با دیواره‌های

بی‌نهایت به روش Crank-Nielson

فرض کنید تابع موج در چاه پتانسیل با دیواره‌های بی‌نهایت به طول L در زمان صفر به صورت زیر

باشد:

$$\psi(x, 0) = \exp\left[-\frac{(x-x_0)^2}{2\sigma^2}\right] e^{ikx}$$

عرض چاه $L = 100 \text{ \AA}$ ، جرم ذره را برابر با جرم الکترون، $k = 5 \text{ \AA}^{-1}$ ، $\sigma = 1 \text{ \AA}$ و $x_0 = L/2$ در نظر بگیرید. سپس در زمان‌های مختلف (به روش Crank-Nielson) $\psi^*(x)\psi(x)$ را رسم کنید.

زمان پایانی را نیز $t_{\text{end}} = 100$ a.u. در نظر بگیرید و حداقل برای ۵ زمان مختلف بین $t = 0$ و t_{end} ، $\psi^*(x)\psi(x)$ را رسم کنید. در صورت ممکن تغییرات را به صورت انیمیشن نشان دهید.

- نکته ۱: باید توجه داشت که فاکتور e^{ikx} به معنی این است که تابع موج دارای یک تکانه غیر صفر است و به سمت راست حرکت خواهد کرد.
- نکته ۲: باید به این نکته توجه کرد که تمام معادلات بر حسب اعداد مختلط هستند.
- نکته ۳: برای رهایی از خطای گرد کردن ناشی از اعداد کوچکی در مسئله، مانند \hbar ، تمام واحدها باید به واحد اتمی تبدیل شوند. همانطور که قبلاً هم اشاره شده است در واحدهای اتمی $m_e = 1$ ، $\hbar = 1$ ، $e = 1$. بنابراین واحد زمان در این واحد اتمی برابر است با

$$\hbar/E_h = 1 \text{ a.u.} = 2/41888 \times 10^{-17} \text{ s}$$

که E_h یک هارتری است (واحد انرژی در واحدهایی اتمی). بنابراین اگر $\Delta t = 0.1$ یا $\Delta t = 0.05$ در واحد اتمی در نظر بگیریم، در واحد واحد SI این مقادیر به صورت زیر خواهند بود:

$$\Delta t = 0.1 \text{ a.u.} \rightarrow \Delta t = 2/41888 \times 10^{-18} \text{ s}$$

$$\Delta t = 0.05 \text{ a.u.} \rightarrow \Delta t = 1/20944 \times 10^{-18} \text{ s}$$

در این مسئله $\Delta t = 0.04 \text{ a.u.}$ در نظر بگیرید که حدود 10^{-18} s خواهد بود.

- نکته ۴: تعداد تقسیم بندی فضایی را برابر با ۱۰۰۰ در نظر بگیرید، یعنی $N = 1000$ و بنابراین فاصله نقاط مش بندی برابر است با $a = L/N$. با توجه به اینکه همه ی کمیت ها باید به واحد اتمی تبدیل شوند بنابراین

$$L = 100 \text{ \AA} = 100 \times 1/8897261 \text{ a.}$$

$$a = L/N = 0/18897261 \text{ a.}$$

که a نماد شعاع بوهر است که واحد طول در واحدهای اتمی است.

- نکته ۵: باتوجه به نکته قبلی، پارامترهایی مانند a_1 در واحدهایی اتمی به صورت زیر خواهد شد:

$$a_1 = 1 + \Delta t \frac{i\hbar}{2ma^2} = 1 + 0.04 \times \frac{i}{2 \times 1 \times (0.188897261)^2}$$

- نکته ۶: برای محاسبه $B\psi(t)$ نیز چن عمل می‌کنیم.

$$B\psi(t) = v$$

$$v_i = b_1\psi_i + b_2(\psi_{i+1} + \psi_{i-1})$$

که در پایتون می‌توانیم به صورت زیر بیان شود:

```

1 for i in range(1:N-1):
2     v[i] = b1 * psi[i] + b2 * (psi[i+1] + psi[i-1])
3     # for first and end point (psi is zero at x=0 and x=L)
4 v[0] = b1 * psi[0] + b2 * psi[1]
v[N-1] = b1 * psi[N-1] + b2 * psi[N-2]
```

دو جمله آخر در این برنامه باتوجه به این نوشته شده است که ψ در $x = 0$ و $x = L$ صفر است. در اینجا نیز می‌توان به جای استفاده از حلقه‌ی از تکنیک برش (slicing) استفاده کرد تا سرعت محاسبات افزایش یابد.

```

1 v[1:N-1] = b1 * psi[1:N-1] + b2 * (psi[2:N] + psi[0:N-2])
2     # for first and end point (psi is zero at x=0 and x=L)
3 v[0] = b1 * psi[0] + b2 * psi[1]
v[N-1] = b1 * psi[N-1] + b2 * psi[N-2]
```

- نکته ۷: برای رسم نمودارهای $\psi^*\psi$ باید به این نکته توجه کرد که ضرب یک عدد مختلط در مزدوج آن در پایتون، یک عدد از نوع مختلط خواهد شد با این تفاوت که قسمت موهومی آن صفر است! پس برای رسم $\psi^*\psi$ باید قسمت حقیقی آن رسم شود.

```

>>> (1+2j)*(1-2j)
2 (5+0j)
```

- نکته ۸: برای مزدوج کردن بردارها در numpy می‌توانید از دستور `conj` و همچنین برای بدست آوردن قسمت حقیقی یک بردار مختلط می‌توانید از دستور `real` در numpy استفاده کنید:

```
>>> import numpy as np
2 >>> vec=np.array([1+1j,2+3j])
>>> vec2=np.conj(vec)*vec
4 >>> vec2
array([ 2.+0.j, 13.+0.j])
6 >>> np.real(vec2)
array([ 2., 13.]
```


فصل ۴

معادلات لاپلاس و حل عددی آن

۱.۴ حل ساده‌ی معادله لاپلاس

معادله لاپلاس به صورت زیر است:

$$\nabla^2 \phi(x, y, z) = \frac{\partial^2 \phi}{\partial x^2} + \frac{\partial^2 \phi}{\partial y^2} + \frac{\partial^2 \phi}{\partial z^2} = 0 \quad (1.4)$$

ابتدا فرض کنید این معادله را برای یک فضای دو بعدی بخواهیم حل کنیم، یعنی:

$$\nabla^2 \phi(x, y) = \frac{\partial^2 \phi}{\partial x^2} + \frac{\partial^2 \phi}{\partial y^2} = 0 \quad (2.4)$$

برای حل عددی این معادله چنین عمل می‌کنیم؛ ابتدا با استفاده از بسط تیلور داریم:

$$\phi(x + \Delta x, y) = \phi(x, y) + \Delta x \frac{\partial \phi(x, y)}{\partial x} + \frac{1}{2} (\Delta x)^2 \frac{\partial^2 \phi(x, y)}{\partial x^2} \quad (3.4)$$

$$\phi(x, y + \Delta y) = \phi(x, y) + \Delta y \frac{\partial \phi(x, y)}{\partial y} + \frac{1}{2} (\Delta y)^2 \frac{\partial^2 \phi(x, y)}{\partial y^2}$$

$$\phi(x - \Delta x, y) = \phi(x, y) - \Delta x \frac{\partial \phi(x, y)}{\partial x} + \frac{1}{2} (\Delta x)^2 \frac{\partial^2 \phi(x, y)}{\partial x^2}$$

$$\phi(x, y - \Delta y) = \phi(x, y) - \Delta y \frac{\partial \phi(x, y)}{\partial y} + \frac{1}{2} (\Delta y)^2 \frac{\partial^2 \phi(x, y)}{\partial y^2}$$

با فرض اینکه $\Delta x = \Delta y$ و همچنین با توجه به اینکه $\frac{\partial^2 \phi}{\partial x^2} + \frac{\partial^2 \phi}{\partial y^2} = 0$ ، با جمع معادلات بالا به معادله زیر می‌رسیم:

$$\phi(x + \Delta x, y) + \phi(x, y + \Delta y) + \phi(x - \Delta x, y) + \phi(x, y - \Delta y) = 4\phi(x, y) \quad (۴.۴)$$

یا به صورت واضح‌تر:

$$\phi(x, y) = \frac{1}{4} [\phi(x + \Delta x, y) + \phi(x - \Delta x, y) + \phi(x, y + \Delta y) + \phi(x, y - \Delta y)] \quad (۵.۴)$$

و برای سه بعد:

$$\begin{aligned} \phi(x, y, z) = & \frac{1}{6} [\phi(x + \Delta x, y, z) + \phi(x - \Delta x, y, z) \\ & + \phi(x, y + \Delta y, z) + \phi(x, y - \Delta y, z) \\ & + \phi(x, y, z + \Delta z) + \phi(x, y, z - \Delta z)] \end{aligned} \quad (۶.۴)$$

حالا از معادلات بالا می‌توان استفاده کرد و معادلات بالا را حل کرد. شیوه حل ساده به نام روش واهلش^۱ یا روش ژاکوبی معرفی است و در واقع یک روش تکرار است. مثلاً برای دو بعد ϕ' را از روی ϕ های قبلی بدست می‌آوریم:

$$\phi'(x, y) = \frac{1}{4} [\phi(x + \Delta x, y) + \phi(x - \Delta x, y) + \phi(x, y + \Delta y) + \phi(x, y - \Delta y)] \quad (۷.۴)$$

این روند را با جاگزینی ϕ' به جای ϕ مرتب ادامه می‌دهیم:

$$\phi'(x, y) \xrightarrow{\text{به روز رسانی با معادله بالا}} \phi(x, y) \quad (۸.۴)$$

تا اینکه اختلاف ϕ و ϕ' از یک حدی کمتر شود ($|\phi - \phi'| < \epsilon$). بنابراین الگوریتم به صورت زیر خواهد بود:

۱. فضا را مش بندی می‌کنیم، هر نقطه از آن را با دو متغیر x و y نشان می‌دهیم.

^۱relaxtioan

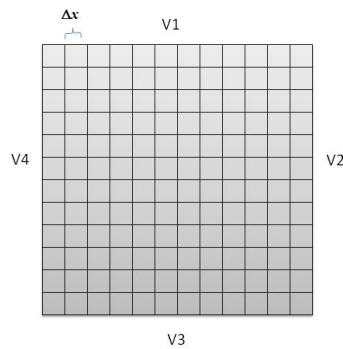
۲. به $\phi(x, y)$ ها در تمام نقاط مقادیر اولیه نسبت می‌دهیم. همچنین طبق شرایط مرزی مسئله $\phi(x, y)$ را در نقاط مرزی مقدار دهی می‌کنیم.

۳. معادله زیر را برای ϕ های جدید (به غیر از روی مرزها) استفاده می‌کنیم:

$$\phi'(x, y) = \frac{1}{4}[\phi(x + \Delta x, y) + \phi(x - \Delta x, y) + \phi(x, y + \Delta y) + \phi(x, y - \Delta y)]$$

۴. در صورتی که $|\phi - \phi'| < \epsilon$ بود محاسبه به پایان می‌رسد و در غیر اینصورت به مرحله ۳ باز می‌گردیم و محاسبات را تکرار می‌کنیم.

مثال: حل معادله لاپلاس در یک مربع با شرایط مرزی $V_1 = 1\text{ Volt}$, $V_2 = V_3 = V_4 = 0$, در ابتدا مربع را مش بندی می‌کنیم و $\phi(x, y)$ را مقدار دهی اولیه می‌کنیم و از روش واهلش مقدار ϕ ها را در تمام نقاط پیدا می‌کنیم. برنامه زیر این کار را برای ما انجام می‌دهد. برنامه زیر این کار را انجام می‌دهد:



شکل ۱.۴: یک مربع با شرایط مرزی $V_1 = 1\text{ volt}$, $V_2 = V_3 = V_4 = 0$. مربع را به $M \times M$ مش بندی کرده‌ایم

```

1 from numpy import empty, zeros, max
2 #from pylab import imshow, gray, show, colorbar
3 from matplotlib.pyplot import imshow, gray, show, colorbar
4
5
6 # Constants
7 M = 100          # Grid squares on a side
8 V = 1.0         # Voltage at top wall
9 epsilon = 1e-5  # Target accuracy
    
```

```

11 # Create arrays to hold potential values
    phi = zeros([M+1, M+1], float)
13 phi[0,:] = V #V_1
    #phi[:,M] = V_2
15 #phi[M,:] = V_3
    #phi[:,0] = V_4
17 phiprime = empty([M+1,M+1], float)

19 # Main loop
    n=1
21 delta = 1.0
    while delta > epsilon:
23         # Calculate new values of potential
            for i in range(M+1):
25                 for j in range(M+1):
                        if i==0 or i==M or j==0 or j==M:
27                                 phiprime[i, j] = phi[i, j]
                        else:
29                                 phiprime[i, j] = ( phi[i+1, j] + phi[i-1, j] \
                                                                + phi[i, j+1] + phi[i, j-1] ) / 4.0
31         # Claculate maximum difference from old values
            delta = max(abs(phi-phiprime))
33         # Swap the two arrays around
            phi, phiprime = phiprime, phi
35         n = n + 1
            print (n, delta)
37
39 # Make a plot
    imshow(phi)
    colorbar()
41 #gray()
    show()

```

: laplace.py

حواس مان باید به این باشد که دستور $\text{phi} = \text{phiprime}$ خطرناکی است چرا که درست است که مقادیر phiprime

در phi ریخته می شود ولی از آن به بعد هر تغییری در phiprime در phi نیز اعمال می شود. بنابراین

بهرتر است از دستور تعویض^۲

^۲swap

استفاده شود که به صورت زیر است:

$$\text{phi, phiprime} = \text{phiprime, phi} \quad (۹.۴)$$

یا به صورت تک تک مقدار دهی شود:

```
for i in range(M+1):
    for j in range(M+1):
        phi[i, j] = phiprime[i, j]
```

: laplace_for.py

۲.۴ حل معادله پواسون

همانطور که می‌دانیم معادله پواسون به صورت زیر است:

$$\nabla^2 \phi = -\frac{\rho}{\epsilon}. \quad (۱۰.۴)$$

حل عددی این معادله نیز شبیه حل معادله لاپلاس است. همانند قبل

$$\begin{aligned} \phi(x + \Delta x, y) &= \phi(x, y) + \Delta x \frac{\partial \phi(x, y)}{\partial x} + \frac{1}{2} (\Delta x)^2 \frac{\partial^2 \phi(x, y)}{\partial x^2} \quad (۱۱.۴) \\ \phi(x, y + \Delta y) &= \phi(x, y) + \Delta y \frac{\partial \phi(x, y)}{\partial y} + \frac{1}{2} (\Delta y)^2 \frac{\partial^2 \phi(x, y)}{\partial y^2} \\ \phi(x - \Delta x, y) &= \phi(x, y) - \Delta x \frac{\partial \phi(x, y)}{\partial x} + \frac{1}{2} (\Delta x)^2 \frac{\partial^2 \phi(x, y)}{\partial x^2} \\ \phi(x, y - \Delta y) &= \phi(x, y) - \Delta y \frac{\partial \phi(x, y)}{\partial y} + \frac{1}{2} (\Delta y)^2 \frac{\partial^2 \phi(x, y)}{\partial y^2} \end{aligned}$$

با جمع معادلات بالا و با فرض اینکه $\Delta x = \Delta y = a$ و با توجه به معادله پواسون $\frac{\partial^2 \phi(x, y)}{\partial x^2} + \frac{\partial^2 \phi(x, y)}{\partial y^2} = -\frac{\rho}{\epsilon}$ داریم:

$$\phi(x, y) = \frac{1}{4} [\phi(x+a, y) + \phi(x-a, y) + \phi(x, y+a) + \phi(x, y-a)] + \frac{1}{4} \frac{\rho(x, y)}{\epsilon} a^2 \quad (۱۲.۴)$$

۳.۴ روش های سریع تر در حل معادله لاپلاس

۱.۳.۴ روش فراواهلش

هر چه بتوانیم در روش ژاکوبی یا همان واهلش زوتر به جواب درست در هر نقطه برسیم، در نهایت سریع تر به جواب نهایی رسیده ایم. فرض کنید که در یک نقطه خاص مقدار پتانسیل نهایی $0/5$ است و فرض کنید مقدار اولیه که به پتانسیل در این نقطه نسبت داده ایم برابر به $0/1$ است. سپس فرض کنید با استفاده از الگوریتم واهلش مقدار این پتانسیل در این نقطه به خصوص به صورت زیر تغییر می کند:

$$\phi(x, y) = 0/1 \xrightarrow{\text{الگوریتم واهلش}} \phi(x, y) = 0/2 \dots \xrightarrow{\text{الگوریتم واهلش}} \phi(x, y) = 0/5 \quad (13.4)$$

حال اگر به جای اینکه منتظر بمانیم تا مقدار پتانسیل به مقدار نهایی خود یعنی $0/5$ برسد، مثلاً آن را به جای اینکه در گام بعدی الگوریتم به $0/2$ برود آن را به $0/4$ شوت کنیم! در نتیجه زودتر می توانیم به جواب نهایی برسیم. این روش اصطلاحاً روش فرا واهلش نامیده می شود. برای اینکه این شیوه را اعمال کنیم به صورت زیر عمل می کنیم: در الگوریتم واهلش در هر گام در حقیقت به $\phi(x, y)$ مقداری به صورت زیر اعمال می شود:

$$\phi'(x, y) = \phi(x, y) + \Delta\phi(x, y) \quad (14.4)$$

$$\Delta\phi(x, y) = \phi'(x, y) - \phi(x, y)$$

حال در روش فرا واهلش چنین عمل می کنیم:

$$\phi_\omega(x, y) = \phi(x, y) + (1 + \omega)\Delta\phi(x, y) \quad (15.4)$$

یعنی به جای اینکه $\Delta\phi(x, y)$ به $\phi(x, y)$ در هر گام اضافه شود، مقدار $(1 + \omega)\phi(x, y)$ اضافه می شود. در معادله بالا $\omega > 0$ است. به عبارتی ما مقدار $\phi(x, y)$ را کمی بیشتر از روش واهلش تغییر می دهیم (فرا واهلش انجام می دهیم). حال با فرض اینکه

$$\Delta\phi(x, y) = \phi'(x, y) - \phi(x, y)$$

و با توجه به روش واهلش که گفته شد، $\phi_\omega(x, y)$ به صورت زیر خواهد شد:

$$\begin{aligned}\phi_\omega(x, y) &= \phi(x, y) + (1 + \omega)\{\phi'(x, y) - \phi(x, y)\} \quad (۱۶.۴) \\ &= (1 + \omega)\phi'(x, y) - \omega\phi(x, y) \\ &= \frac{(1 + \omega)}{۴}\{\phi(x + a, y) + \phi(x - a, y) + \phi(x, y + a) + \phi(x, y - a)\} \\ &\quad - \omega\phi(x, y)\end{aligned}$$

بهتر است مقدار ω بین ۰ و ۱ انتخاب شود چرا که در غیر این صورت الگوریتم ناپایدار خواهد شد و نمی توان به جواب رسید.

۲.۳.۴ روش گوس-زایدل

در روش گوس-زایدل^۳ به جای اینکه از دو پتانسیل ϕ و ϕ' استفاده کنیم، فقط از یک پتانسیل در جایگزینی ها استفاده می کنیم. در واقع همان موقع به جای اینکه از ϕ های قدیم استفاده کنیم از ϕ های جدید نیز که بدست آمده است نیز استفاده می کنیم به عبارتی

$$\phi(x, y) = \frac{1}{۴}[\phi(x + \Delta x, y) + \phi(x - \Delta x, y) + \phi(x, y + \Delta y) + \phi(x, y - \Delta y)] \quad (۱۷.۴)$$

این روش نیز مانند روش قبل نسبت به روش واهلش سریع تر است.

ترکیب دو روش یعنی فراواهلش و روش گوس-زایدل باعث می شود که الگوریتم حل معادله لاپلاس در حدود یک مرتبه سریع تر انجام شود. ترکیب دو روش به معادله حل زیر می رسد:

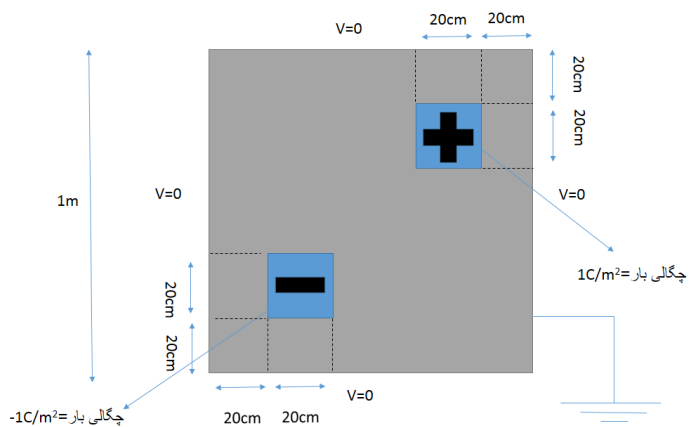
$$\begin{aligned}\phi(x, y) &= \frac{(1 + \omega)}{۴}\{\phi(x + a, y) + \phi(x - a, y) + \phi(x, y + a) + \phi(x, y - a)\} \quad (۱۸.۴) \\ &\quad - \omega\phi(x, y)\end{aligned}$$

تمرین ۶: حل معادله پواسون و حل معادله لاپلاس به روش های مختلف

- پتانسیل را در شکل زیر به روش واهلش بدست آورید و رسم کنید. برای سادگی مقدار $\epsilon = ۱$ قرار دهید. در این مسئله دو مربع کوچک هر کدام دارای بارهای مخالف هستند. باید توجه کرد

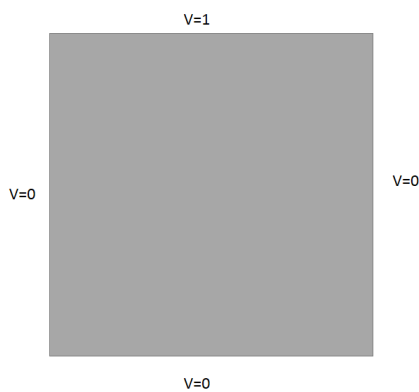
^۳Gauss-Seidel

برای حل مسئله از معادله پواسون باید استفاده کرد.



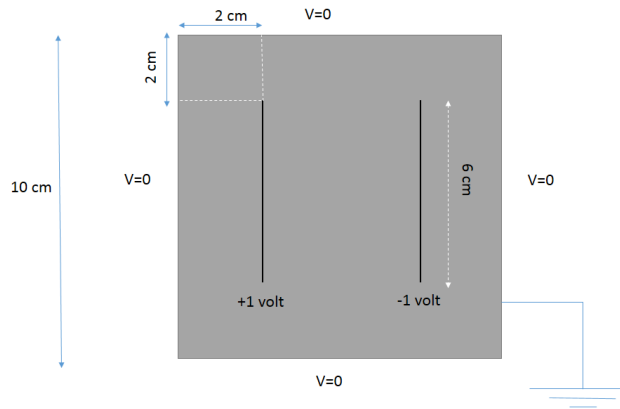
شکل ۲.۴

- پتانسیل را برای شکل مربعی زیر به روش گوس-زایدل+فراواهلش (یعنی روشی ترکیبی گوس-زایدل و فراواهلش) بدست آورید. مسئله را برای ω های مختلف بدست آورید و زمان گیری کنید و مقدار بهینه ω را پیدا کنید. بدین منظور نمودار زمان محاسبات را برحسب ω رسم کنید. ω را از ۰ تا ۱ تغییر دهید. برای زمان گیری از دستور `time()` یا `clock()` در مدول (کتابخانه) `time` استفاده کنید.



شکل ۳.۴

- با توجه به مقدار بهینه w پتانسیل را برای خازن زیر بدست آورید و نمودار پتانسیل ϕ را رسم کنید. داخل مربع دو میله با پتانسیل های $+1 \text{ volt}$ و -1 volt قرار دارد.



شکل ۴.۴

نکته: برای حل تمام قسمت های این تمرین از مش 100×100 استفاده کنید (یعنی $M = 100$)

(

فصل ۵

فرایندهای تصادفی

در این بخش قصد داریم نشان دهیم چگونه از تصادف می‌توان آماری قابل پیش‌بینی بدست آورد. ساده‌ترین فرایند تصادفی که در طبیعت قابل مشاهده است فرایند پخش ذرات است. شکل ۱.۵ پخش دانه‌های کلوییدی رنگ را داخل یک محلول نشان می‌دهد که شاید روزانه به گونه‌های مختلفی به آن بر می‌خوریم (مثلا حل دانه‌های شکر داخل یک فنجان چای).

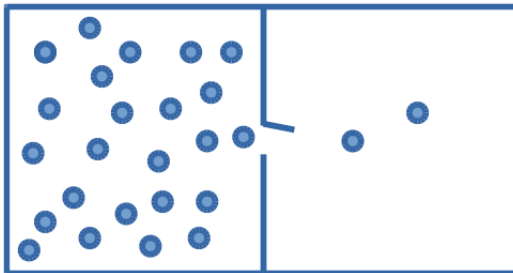


شکل ۱.۵: پدید پخش قطر رنگ در یک محلول (نکته: در این شکل علاوه بر پدیده‌ی پخش، نیروی گرانش نیز نقش بازی می‌کند بنابراین پخش قطر رنگ به اینگونه یک پدیده‌ی کاملاً تصادفی به حساب نمی‌آید).

برای اینکه پدیده‌هایی مانند پخش را به شکل ساده‌تری توضیح دهیم می‌توانیم از مثال پخش ذراتی که در ابتدا در یک طرف ظرف هستند شروع کنیم (شکل ۲.۵). این پدیده به انبساط آزاد^۱ معروف

^۱Free expansion

است. مطابق شکل تعدادی ذره در یک طرف جعبه در نظر بگیرید که با یک تیغه از طرف دیگر جعبه جدا شده است. بر روی تیغه یک دریچه وجود دارد که با باز شدن آن ذرات می‌توانند از آن عبور کنند و به طرف دیگر بروند. می‌دانیم که بعد از مدتی ذرات در دو طرف تیغه به طور مساوی تقسیم می‌شوند.



شکل ۲.۵: پخش ذرات

حال برای شبیه سازی چنین فرایندی باید چگونه عمل کنیم؟ یک راه این است که از روش‌های معین مانند دینامیک مولکولی استفاده کنیم. یعنی در هر گام زمانی کوچک مسیر هر ذره را محاسبه کنیم و به این شکل می‌توان حرکت ذرات را در طی زمان مشاهده کنیم. یک راه دیگر نیز وجود دارد که می‌توان برای شبیه سازی فرایندهای تصادفی از آن سود برد و آن بهر بردن از طبیعت تصادفی این پدیده‌ها است. به عبارتی برای شبیه سازی این پدیده‌ها از کامپیوتر به عنوان ابزاری برای تولید اعداد تصادفی و در پی آن استفاده از این اعداد در الگوریتم‌های مناسب برای شبیه‌سازی این پدیده‌ها است. اساس اینگونه از شبیه‌سازی‌ها که برپایه‌ی مدل‌های احتمالاتی کار می‌کنند این است که فرض می‌شود حرکت ذرات (یا به طور کلی تر حالت‌های ذرات) آنقدر پیچیده هستند که می‌توان رفتاری تصادفی برای آنها در نظر گرفت. مثلاً پیش بینی نتیجه پرتاب یک سکه (خط یا شیر) را می‌توان از اینگونه پدیده‌ها به حساب آورد.

حال با این دید می‌توان به سراغ حل مسئله پخش ذرات در جعبه رفت. برای حل این مسئله به سادگی می‌توان فرض کرد که احتمال عبور از دریچه برای یک ذره، در هر گام شبیه‌سازی، چه ذره در سمت چپ باشد و چه در سمت راست باشد مساوی است. البته در اینجا فرض می‌کنیم ذرات باهم برهمکنش ندارند. با این فرض که فرض کاملاً صحیح می‌باشد، تابعی مانند LOC برای هر ذره تعریف می‌کنیم. اگر ذره‌ی i در طرف چپ قرار گرفته باشد $LOC(i) = -1$ و اگر ذره در طرف راست قرار گرفت باشد $LOC(i) = +1$. حال می‌توانیم در هر قدم یک عدد صحیح تصادفی بین 1 تا N تولید کنیم (این عدد را با i نشان می‌دهیم)، که این عدد به معنی انتخاب ذره i است. سپس علامت $LOC(i)$ را عوض می‌کنیم. در مورد الگوریتم‌های تولید اعداد تصادفی در بخش بعدی صحبت خواهیم کرد. اگر

در این مسئله فقط تعداد ذرات در هر یک از دو قسمت جعبه مهم باشد، می‌توان مسئله را خیلی ساده‌تر بررسی کرد. با فرض اینکه احتمال رفتن یک ذره از طرف راست به چپ و از طرف چپ به راست برابر باشد، می‌توان اینگونه عمل کرد: اگر n تعداد ذرات در طرف چپ باشد، تعداد ذرات در طرف راست برابر با $n' = N - n$ خواهد بود. بنابراین در مسئله فقط n وارد می‌شود. از طرفی احتمال اینکه یک ذره به صورت تصادفی از طرف چپ به راست برود با n/N و برعکس از سمت چپ به راست با n'/N مشخص می‌شود. بنابراین با الگوریتم زیر می‌توان تحول تعداد ذرات را در گام‌های پیاپی حدس زد:

۱. یک عدد تصادفی r بین ۰ تا ۱ تولید می‌کنیم ($0 \leq r < 1$)

۲. r با مقدار n/N مقایسه می‌کنیم.

۳. اگر $r \leq n/N$ ، یک ذره را از طرف چپ به راست می‌بریم یعنی:

$$n \rightarrow n - 1$$

در غیر این صورت یک ذره را از طرف راست به چپ می‌بریم یعنی:

$$n \rightarrow n + 1$$

۴. مراحل ۱ تا ۳ را تکرار می‌کنیم.

این الگوریتم ساده در واقع یک الگوریتم مونت کارلو است که در فصل بعدی در مورد آن توضیح خواهیم داد.

۱.۵ تولید اعداد تصادفی در کامپیوتر

برای شبیه‌سازی فرایندهای تصادفی، ما احتیاج به اعداد تصادفی داریم. ولی مشکل از اینجا شروع می‌شود که در حقیقت با استفاده از کامپیوتر نمی‌توانیم اعداد تصادفی واقعی تولید کنیم. اعدادی که از طریق کامپیوتر به اصطلاح تصادفی تولید می‌شوند در حقیقت شبه تصادفی^۲ هستند. به الگوریتم‌هایی که این اعداد شبه تصادفی را تولید می‌کنند، تولید کننده‌ی اعداد شبه تصادفی^۳ گفته می‌شود. این اعداد به دلیل

^۲pseudorandom

^۳pseudorandom number generator

اینکه طبق یک الگوریتم خاص بدست می‌آیند، قابل پیش بینی هستند و بعد از مدتی از دوباره این اعداد تکرار می‌شوند. به همین دلیل به این اعداد، اعداد شبه تصادفی گفته می‌شود. یک الگوریتم ساده برای تولید اعداد شبه تصادفی استفاده از معادله‌ی زیر است:

$$x' = (ax + c) \bmod m \quad (1.5)$$

در اینجا a ، c ، x و m همگی اعداد صحیح هستند. علامت \bmod عملگر باقیمانده تقسیم^۴ را نشان می‌دهد، که باقیمانده تقسیم $ax + c$ بر m را محاسبه می‌کند (که مقدار آن را با x' نشان داده‌ایم). در پایتون عملگر باقیمانده تقسیم با علامت $\%$ نشان داده می‌شود و باقیمانده‌ی تقسیم $ax + c$ بر m در صورتی که $m > (ax + c)$ باشد برابر با $ax + c$ خواهد بود. برای تولید اعداد شبه تصادفی با استفاده از معادله بالا، ابتدا یک مقدار اولیه برای x در نظر می‌گیریم. به این مقدار اولیه، بذر^۵ گفته می‌شود که کاملاً به صورت اختیاری انتخاب می‌شود. بذر در تمام الگوریتم‌های تولید اعداد تصادفی وجود دارد و نقش آن تعیین مکان شروع رشته‌ی اعداد تصادفی است. وقتی x اولیه یا همان بذر را داخل معادله قرار می‌دهیم، معادله مقدار x' را به ما می‌دهد. حال اگر به جای x در معادله x' قرار دهیم (یعنی $x = x'$) دوباره یک x' جدید تولید می‌شود. بنابراین به این طریق می‌توانیم یک رشته از x' ها تولید کنیم. می‌توان نشان داد اگر

$$a = 1664525$$

$$c = 1013904223$$

$$m = 4294967296$$

، طولانی‌ترین رشته (بدون تکرار) تولید می‌شود. بنابراین با برنامه زیر

```

1 import matplotlib.pyplot as plt
2 N = 1000
3 #Parameters for pseudorandom generator:
4 a = 1664525
5 c = 1013904223
6 m = 4294967296
7 x = 1

```

^۴Modulus operator

^۵seed

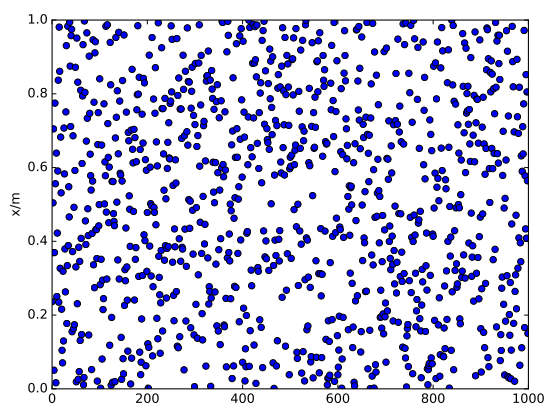
```

results = []
9
for i in range(N):
11     x = (a*x+c)%m
    results.append(x/m)
13 plt.plot(results, "o")
plt.ylabel("x/m")
15 plt.savefig("pseudorandom.pdf")
plt.show()

```

: pseudorandom.py

می‌توان اعداد تصادفی بین ۰ و ۱ تولید کنیم (به جای x از x/m استفاده می‌کنیم که در نتیجه اعداد به جای ۰ تا m بین ۰ تا ۱ می‌شوند). نتایج برنامه بالا به صورت شکل ۳.۵ خواهد بود.



شکل ۳.۵: ۱۰۰۰ عدد شبه تصادفی تولید شده با استفاده از معادله ۱.۵ .

در صورتی که مثلاً پارامترهای a ، c و m را کوچک بگیریم، به راحتی می‌تواند دید که رشته‌ی اعدادی که تولید می‌شوند به صورت متناوبی تکرار می‌شوند. برای مثال خروجی برنامه زیر:

```

import matplotlib.pyplot as plt
2 N = 12
#Parameters for psudorandom genrator:
4 a = 2
c = 3
6 m = 10
x = 1

```

```

8 results = []
10 for i in range(N):
    x = (a*x+c)%m
12     results.append(x/m)
print(results)

```

: pseudorandom1.py

اعدادی به صورت زیر خواهند بود:

$$[0.5, 0.3, 0.9, 0.1, 0.5, 0.3, 0.9, 0.1, 0.5, 0.3, 0.9, 0.1]$$

اگر x اولیه را که در اینجا نقش بذر را بازی می‌کند به جای ۱ مثلاً عدد ۳ قرار دهیم، فقط مکان رشته تغییر خواهد کرد. برای مثال، نتیجه زیر برای وقتی است که $x = 3$ قرار دهیم:

$$[0.9, 0.1, 0.5, 0.3, 0.9, 0.1, 0.5, 0.3, 0.9, 0.1, 0.5, 0.3] \quad (2.5)$$

برای تولید اعداد تصادفی بهتر در پایتون می‌توان از الگوریتم شبه اعداد تصادفی بهتری به نام MersenneTwister استفاده کرد. این الگوریتم را می‌توان با فراخوانی کتابخانه random پایتون استفاده کرد^۶. همچنین زیر کتابخانه‌ی random در کتابخانه‌ی numpy نیز از این الگوریتم استفاده می‌کند^۷. تابع‌های مهمی که در کتابخانه‌ی random پایتون وجود دارد در جدول ۱.۵ آورده شده است:

^۶ <https://docs.python.org/3.5/library/random.html>

^۷ <https://docs.scipy.org/doc/numpy/reference/routines.random.html>

تابع	خروجی تابع
random()	یک عدد حقیقی بین ۰ و ۱ که به صورت تصادفی از یک توزیع یکنواخت اعداد بین ۰ و ۱ انتخاب می‌شود
randrange(n)	یک عدد تصادفی صحیح بین ۰ و $n - 1$
randrange(m, n)	یک عدد تصادفی صحیح بین m و $n - 1$
randrange(m, n, k)	یک عدد تصادفی صحیح بین m و n با گام‌های k
randint(a, b)	معادل تابع $\text{randrange}(a, b + 1)$
choice(seq)	انتخاب تصادفی یک عضو از seq که در واقع seq می‌تواند یک لیست باشد

همان‌طور که گفته شد، با بذر می‌توانیم مکان شروع رشته‌ای که توسط یک تولید کننده‌ی اعداد شبه تصادفی ایجاد می‌شود را مشخص کرد. برای مثال اگر برنامه‌ی زیر را ده‌ها بار تکرار کنیم همیشه یک خروجی کاملاً یکسان مشاهده خواهیم کرد:

```

1 from random import randrange, seed
  seed(42)
3 for i in range(4):
    print(randrange(10))

```

: seeds.py

با تابع seed در کتابخانه‌ی random پایتون مکان شروع رشته‌ی تصادفی را مشخص می‌کنیم. اگر از تابع seed استفاده نکنیم، در هر بار اجرای برنامه بالا رشته‌ی اعداد تصادفی متفاوتی چاپ می‌شود. در واقع در هر بار اجرا پایتون، یک بذر متفاوتی را انتخاب می‌کند. سوالی که در اینجا مطرح می‌شود این است که اصولاً چرا در (برخی) شبیه‌سازی‌ها از تابعی مانند seed استفاده می‌شود و یا به عبارتی، مفید بودن این تابع در کجا است؟ دلیل اصلی استفاده از تابعی مانند seed تکرار پذیری شبیه‌سازی است. خصوصاً زمانی که نیاز به تست برنامه و اشکال‌یابی وجود داشته باشد.

۱.۱.۵ توزیع یکنواخت و غیریکنواخت

اعداد تصادفی را می‌توان با توزیع خاصی تولید کرد. روش ساده‌ای که در بالا به آن اشاره شد (استفاده از معادله‌ی ۱.۵) یا دستور random از کتابخانه random پایتون، اعداد تصادفی با توزیع یکنواخت تولید می‌کنند. برای اینکه یکنواختی توزیع اعداد تصادفی را در این روش مشاهده کنیم، کافی است از

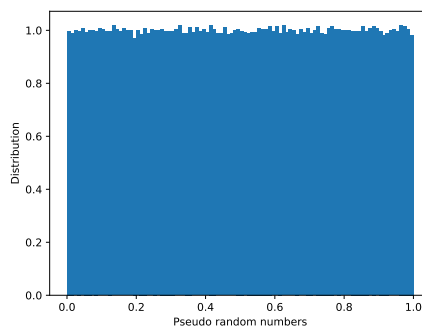
دستور hist در matplotlib برای رسم نمودار ستونی (هیستوگرام [^]) توزیع اعداد تصادفی استفاده کنید. با برنامه زیر می‌توان نمودار ستونی توزیع که با استفاده از معادله‌ی ۱.۵ تولید می‌شود را رسم کرد:

```
import matplotlib.pyplot as plt
2 N = 1000000
  #Parameters for pseudorandom generator:
4 a = 1664525
  c = 1013904223
6 m = 4294967296
  x = 1
8 results = []

10 for i in range(N):
    x = (a*x+c)%m
12     results.append(x/m)
plt.hist(results,100, normed=True)
14 plt.xlabel("Pseudo random numbers")
plt.ylabel("Distribution")
16 plt.savefig("pseudorandom_hist.pdf")
plt.show()
```

: pseudorandom_hist.py

شکل ۴.۵ نشان می‌دهد که توزیع اعداد تصادفی که با استفاده از معادله‌ی ۱.۵ تولید شده است تقریباً یکنواخت است. اعداد تصادفی را می‌توان طبق توزیع خاصی نیز تولید کرد. برخی از توزیع‌های رایج در



شکل ۴.۵: توزیع ۱۰۰۰۰۰۰ عدد شبه تصادفی تولید شده با استفاده از معادله ۱.۵.

[^]Histogram

کتابخانه‌های random در numpy و کتابخانه random پایتون موجود است. مثلا به راحتی می‌توان توزیع اعداد تصادفی را طبق توزیع گوسی^۹ انتخاب کرد. توزیع گوسی یا همان توزیع نرمال^{۱۰} با معادله‌ی

$$p(x) = \frac{1}{\sqrt{2\pi\sigma^2}} e^{-\frac{(x-\mu)^2}{2\sigma^2}} \quad (۳.۵)$$

بیان می‌شود. پارامتر μ مقدار متوسط اعداد تصادفی در این توزیع را نشان می‌دهد (مکان قله تابع گوسی) و پارامتر دیگر σ انحراف استاندارد اعداد تصادفی را تعیین می‌کند. در واقع اگر مقدار واریانس اعداد تصادفی در این توزیع را محاسبه کنیم یعنی $\langle (x - \langle x \rangle)^2 \rangle$ به مقدار σ^2 می‌رسیم. در کتابخانه random پایتون تابع `gauss(mu, sigma)` اعداد تصادفی با توزیع گوسی تولید می‌کند که در آن پارامتر μ همان μ و پارامتر σ همان σ است. برنامه زیر توزیع گوسی تولید شده با این تابع را برای ۱۰۰۰۰ عدد تصادفی نشان می‌دهد:

```

1 import matplotlib.pyplot as plt
2 from random import gauss
3 N = 10000
4 results = []
5 sigma = 2.0
6 mu = 0.0
7 for i in range(N):
8     results.append(gauss(mu, sigma))
9
10 plt.hist(results, 100, normed=True)
11 plt.xlim(-7, 7)
12 plt.xlabel("Pseudo random numbers")
13 plt.ylabel("Distribution")
14 plt.savefig("gauss_hist.pdf")
15 plt.show()

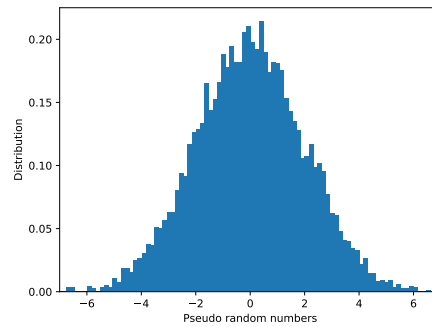
```

: gauss_hist.py

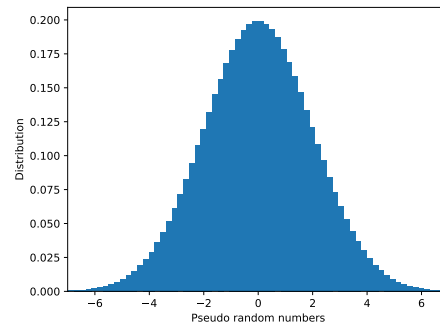
ظاهرا نمودار ۵.۵ تقریبا گوسی شده است. برای اینکه مطمئن شویم که توزیع کاملا گوسی می‌شود باید تعداد اعداد تصادفی تولید شده را بسیار بالا ببریم. مثلا در نمودار ۶.۵ تعداد اعداد تصادفی که طبق توزیع گوسی تولید شده‌است را به ۱۰۰۰۰۰۰۰ افزایش داده‌ایم. در فصل بعد (مونت کارلو) در مورد روش تولید اعداد تصادفی طبق یک توزیع دلخواه توضیح خواهیم داد.

^۹Gaussian distribution

^{۱۰}Normal distribution



شکل ۵.۵: توزیع ۱۰۰۰۰ عدد شبه تصادفی تولید شده طبق توزیع گوسی با $\mu = 0$ و $\sigma = 2$.

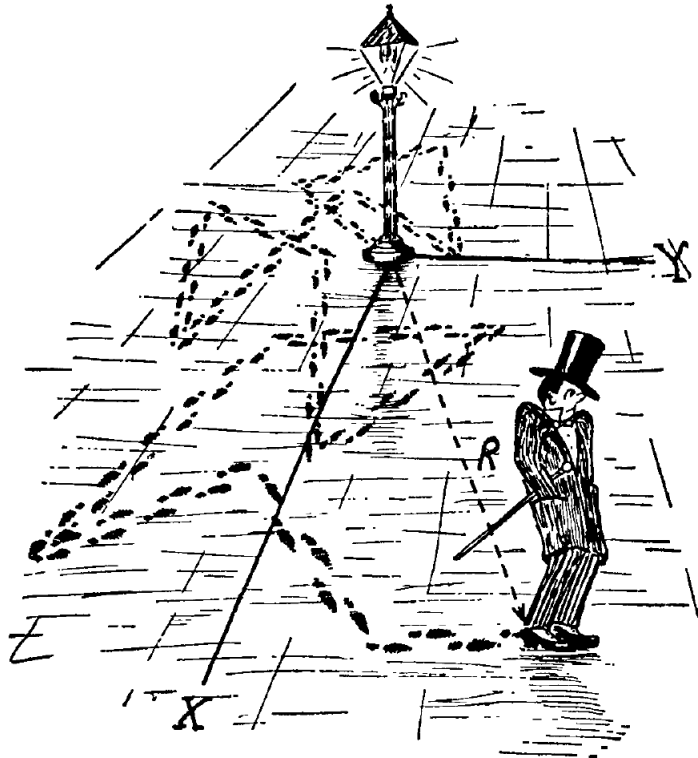


شکل ۶.۵: توزیع ۱۰,۰۰۰,۰۰۰ عدد شبه تصادفی تولید شده طبق توزیع گوسی با $\mu = 0$ و $\sigma = 2$.

۲.۵ ولگشت

بسیاری از پدیده‌های مانند حرکت ذره‌ی غبار در هوا یا یک ذره کلوئیدی در یک مایع را می‌توان یک فرایند تصادفی در نظر گرفت. چنین فرایندهایی تصادفی و بسیار دیگر را می‌توان با استفاده از مفهوم ولگشت یا گام تصادفی و یا قدم‌زدن تصادفی^{۱۱} شبیه‌سازی کرد. یک گام‌زن تصادفی را می‌توان به یک آدم مست سرگردان تشبیه کرد (شکل ۷.۵) که در هر جهت به صورت تصادفی گام می‌زند و گام‌های قبلی آن هیچ ربطی به گام‌های بعدی ندارند. به اصطلاح می‌گوییم که گام‌ها بدون تاریخچه هستند و هیچ گونه همبستگی بین گام‌ها وجود ندارد.

^{۱۱} Random Walk



شکل ۷.۵: گام زدن یک آدم مست که در واقع یک ولگشت دو بعدی را نشان می‌دهد

۱.۲.۵ ولگشت در یک بعد

برای سادگی از ولگشت در یک بعد شروع می‌کنیم. یک گامزن تصادفی را در نظر بگیرید که با احتمال p به سمت جلو و با احتمال q به سمت عقب برمی‌گردد. بنابراین $p + q = 1$ است. برای سادگی نیز، طول گام‌ها را برابر و به اندازه‌ی a در نظر می‌گیریم. مکان یک گامزن بعد از N گام برابر خواهد بود با:

$$x_N = \sum_{i=1}^N s_i \quad (۴.۵)$$

که در اینجا $s_i = \pm a$. اگر تعدادی گامزن داشته باشیم که هر کدام از آن‌ها N گام بردارند، مقدار متوسط جابه‌جایی آنها یعنی $\langle x_N \rangle$ برابر خواهد بود با:

$$\begin{aligned} \langle x_N \rangle &= \left\langle \sum_{i=1}^N s_i \right\rangle = \sum_{i=1}^N \langle s_i \rangle = N \langle s \rangle \\ &= N(pa - qa) = N(p - q)a \end{aligned} \quad (5.5)$$

نکته اصلی که در ساده‌سازی بالا انجام شده است این است که در یک ولگشت گام‌ها از هم مستقل هستند بنابراین متوسط گیری بر روی جمع گام‌ها را می‌توان بر روی تک تک گام‌ها برد یعنی:

$$\left\langle \sum_{i=1}^N s_i \right\rangle = \sum_{i=1}^N \langle s_i \rangle$$

در صورتی که احتمال به جلو و عقب رفتن یکسان باشد یعنی $p = q = 1/2$ ، طبق معادله ۵.۵ $\langle x_N \rangle = 0$ است. بنابراین کمیت $\langle x_N \rangle$ توصیفی از گستردگی و پخش شدگی یک گامزن به ما نمی‌دهد. پارامتر مفید که به نوعی پخش شدگی گامزن یا گستردگی آن را در فضا نشان می‌دهد متوسط مجذور جابه‌جایی خالص است که با Δx^2 نشان می‌دهیم و به صورت زیر تعریف می‌شود (این کمیت به نام واریانس در آماری شناخته می‌شود):

$$\begin{aligned} \Delta x^2 &\equiv \langle (x - \langle x \rangle)^2 \rangle \\ &= \langle x^2 \rangle - \langle x \rangle^2 \end{aligned} \quad (6.5)$$

برای وقتی $p = q = 1/2$ مقدار Δx^2 با $\langle x^2 \rangle$ برابر خواهد بود. در این صورت کافی است $\langle x^2 \rangle$ را محاسبه کنیم.

$$\begin{aligned} \langle x_N^2 \rangle &= \left\langle \sum_{i=1}^N \left(\sum_{j=1}^N s_i s_j \right) \right\rangle \\ &= \sum_{i=1}^N \sum_{j=1}^N \langle s_i s_j \rangle \end{aligned} \quad (7.5)$$

جملات $s_i s_j$ وقتی $i \neq j$ است، با احتمال مساوی $+a$ و $-a$ خواهد بود (برای وقتی که $1/2$ $p = q =$). بنابراین $\langle s_i s_j \rangle$ برای وقتی $i \neq j$ است برابر با صفر است. بنابراین

$$\langle x_N^2 \rangle = \sum_{i=1}^N \langle s_i^2 \rangle = \sum_{i=1}^N a^2 = N a^2 \quad (۸.۵)$$

با برنامه‌ی زیر به راحتی می‌توانیم یک گامزن تصادفی را شبیه‌سازی کنیم:

```

1 from random import random
3 x=0
5 for i in range(N):
    p = random()
7     if p < 0.5:
        x=x+1
9     else:
        x=x-1

```

: rw0.py

در این برنامه فرض کرده‌ایم $a = 1$ است. باید توجه داشت که x_N و $\langle x_N \rangle$ خیلی متفاوت هستند. در واقع مقدار x_N می‌تواند از $-Na$ تا $+Na$ متغیر باشد. ولی متوسط آن یعنی $\langle x_N \rangle$ در صورتی که متوسط گیری بر روی بی‌نهایت گامزن انجام پذیرد، برابر با صفر خواهد بود. با برنامه‌ی زیر می‌توان چهار گامزن را شبیه‌سازی کرد و به راحتی دید که x_N صفر نمی‌شود.

```

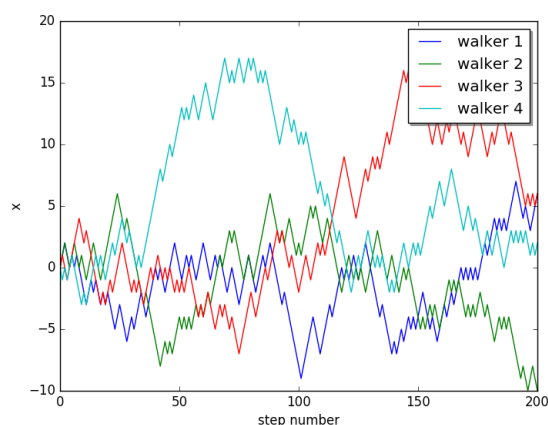
1 from random import random
2 import matplotlib.pyplot as plt
N=200; M=4; x1=0
4 x=[x1]
5 for j in range(M):
6     x1=0
    x=[x1]
8     for i in range(N):
        p= random()
10        if p < 0.5:
            x1=x1+1
12        else:
            x1=x1-1
14        x.append(x1)
plt.plot(x)

```

```
plt.show()
```

: rw1_show.py

خروجی این برنامه در شکل ۸.۵ نشان داده شده است. شکل ۱۰.۵ مقدار $\langle x_N \rangle$ که بر روی تعداد



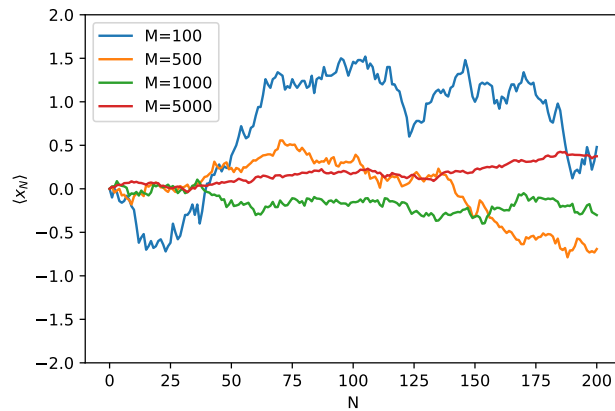
شکل ۸.۵: مکان ۴ گامزن تصادفی با ۲۰۰ گام

گام زنهای مختلف متوسط گیری شده است نشان می دهد. همانطور که می توان دید با افزایش تعداد گامزن ها مقدار $\langle x_N \rangle$ به صفر نزدیک تر می شود. شکل ؟؟ نیز مقدار $\langle x_N \rangle$ را برای تعداد مختلف گامزن ها نشان می دهد. باز می توان مشاهده کرد که افزایش تعداد گامزن ها باعث شده نتیجه به یک خط نزدیک تر شود، به عبارتی $\langle x_N \rangle \propto N$.

تمرین ۷ (قسمت اول): ولگشت در یک بعد و دو بعد

۱. برای یک ولگشت در یک بعد (با فرض $p = q = 1/2$ و $a = 1$):

- $\langle x_N \rangle$ را بر حسب N محاسبه و رسم کنید.
- $\langle x_N^2 \rangle$ را بر حسب N محاسبه و رسم کنید.



شکل ۹.۵: مقدار $\langle x_N \rangle$ برای متوسط گیری بر روی تعداد مختلف گام‌زن‌ها

(راهنمایی: برای انجام این تمرین ۵۰۰۰ گام‌زن در نظر بگیرید و متوسط گیری را بر روی این تعداد گام‌زن انجام دهید و مقدار بیشه‌ای که هر گام‌زن قدم بر می‌دارد را ۱۰۰ در نظر بگیرید)

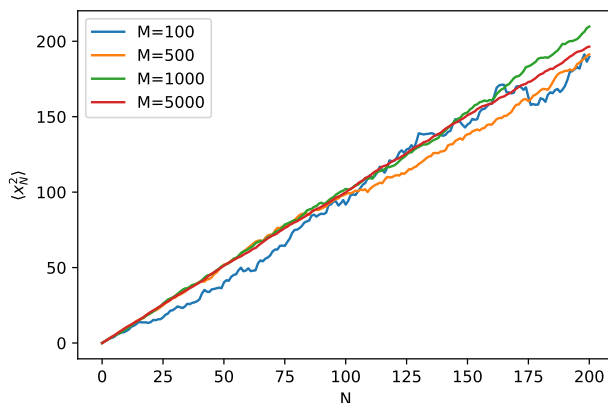
۲. نمودار توزیع (فراوانی) x_N را در گام $N=100$ رسم کنید. در این قسمت تعداد گام‌زن‌ها را ۱۰۰۰۰ در نظر بگیرید. برای رسم این توزیع از دستور `hist` در `matplotlib` کمک بگیرید.

برای شبیه‌سازی ولگشت در دو بعد به شرط اینکه حرکت در چهار جهت $+x$ ، $-x$ ، $+y$ و $-y$ هم احتمال و اندازه‌ی گام‌ها یکسان باشد می‌توان از برنامه زیر استفاده کرد:

```

1 for step in range(N):
2
3     p = random.randrange(4)
4     if p == 0:
5         x += 1
6     elif p == 1:
7         y += 1
8     elif p == 2:
9         x -= 1

```



شکل ۱۰.۵: مقدار $\langle x_N^2 \rangle$ برای متوسط گیری بر روی تعداد مختلف گام‌زن‌ها

```
elif p == 3:
    y -= 1
```

: rw2_show.py

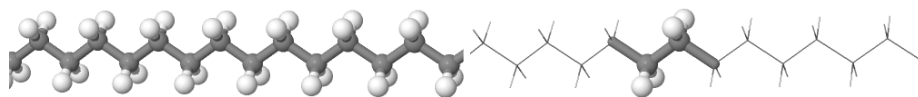
۳.۵ پلیمرها و ولگشت خود اجتناب

همان‌طور که می‌دانید یک پلیمر^{۱۲}، یک مولکول بسیار بزرگ است، که از تکرار زیر واحدهایی که به هم متصل شده‌اند و به آن‌ها مونومر^{۱۳} گفته می‌شود تشکیل شده است. یکی از ساده‌ترین پلیمرها، پلی‌اتیلن^{۱۴} است که از به هم متصل شدن مونومر C_2H_4 درست می‌شود. شکل ۱۱.۵ این پلیمر را به همراه مونومر آن نشان می‌دهد. مسلماً پیکربندی یک پلیمر به صورت خطی، که در شکل ۱۱.۵ نشان داده شده است، نیست و معمولاً پلیمرها پیکربندی‌های آمورف را به خود می‌گیرند. یعنی مونومرهای نسبت به هم یک زاویه‌های دلخواه دارند و این باعث می‌شود که یک پلیمر به جای اینکه یک پیکربندی خطی داشته باشد، دارای یک پیکربندی کج و موجی شود. این درجه آزادی در زاویه‌های در شکل ۱۲.۵ نشان داده شده است. بنابراین یک پلیمر معمولاً یک پیکربندی آمورف شبیه چیزی که در شکل ۱۳.۵ به نمایش در

^{۱۲}Polymer

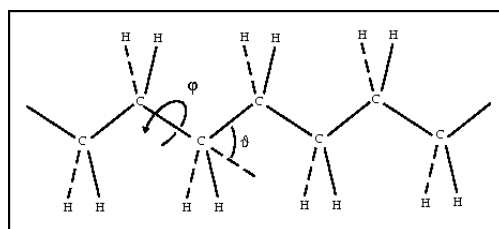
^{۱۳}Monomer

^{۱۴}Polyethylene



(\bar{A}) واحد تکرار شونده یا همان مونومر (C_2H_4) پلیمر پلی اتیلن (ب) پولی اتیلن، یک پلیمر که واحدهای سازنده آن یعنی مونومرهای آن مولکولهای C_2H_4 است

شکل ۱۱.۵: پلیمر پلی اتیلن با مونومر آن



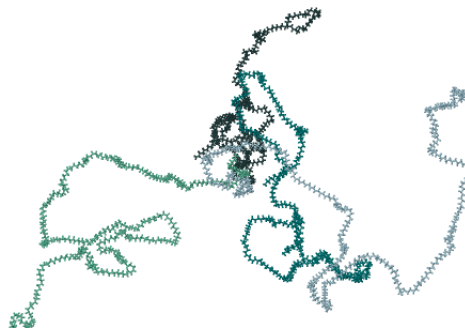
شکل ۱۲.۵: درجه آزادی زاویه‌ای در پولی اتیلن

آمده است را به خود می‌گیرد^{۱۵}. همان‌طور که مشاهده می‌کنید، این زنجیره‌ی پلیمر خطی نیست و بیشتر شبیه مسیر یک گام‌زن تصادفی است. در واقع ما می‌توانیم پلیمرهای انعطاف‌پذیر^{۱۶} را با گام‌زن‌های تصادفی شبیه‌سازی کنیم. منتها نکته‌ی اصلی برای شبیه‌سازی پیکربندی یک پلیمر این است که پلیمرها معمولاً خود را قطع نمی‌کنند بنابراین برای شبیه‌سازی پلیمرها باید از مفهوم ولگشت خود اجتناب^{۱۷} استفاده کرد که در قسمت بعدی به آن می‌پردازیم.

^{۱۵}http://www.chemtube3d.com/polymer/_PolyethyleneF.html

^{۱۶}Flexible polymers

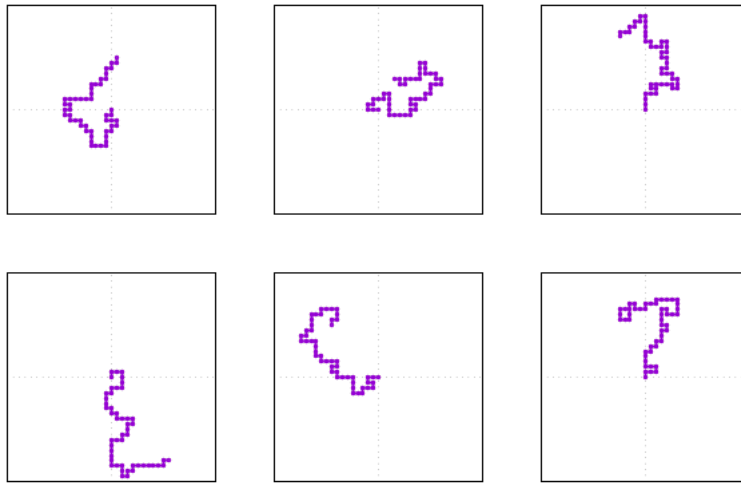
^{۱۷}Self-avoiding walk



شکل ۱۳.۵: یک زنجیره‌ی پلی‌اتیلن که از ۸۰۱ مولکول C_2H_4 تشکیل شده است.

۱.۳.۵ ولگشت خوداجتناب

در ولگشت خود اجتناب، گام‌زن‌های تصادفی نباید به مکان‌هایی بروند که قبلاً در آن مکان‌ها در گام‌های قبلی بوده‌اند. نمونه‌ای از مسیر این نوع ولگشت در شکل ۱۷.۵ آورده شده است. برای اینکه آمار صحیح از این نوع ولگشت داشته باشیم، یک راه، شمارش دقیق تمام مسیرها برای N گام است. روش‌هایی برای شمارش دقیق تمام حالت‌های ممکن وجود دارد ولی این روش‌ها بسیار پرهزینه هستند مثلاً برای ولگشت بر روی یک شبکه‌ی دو بعدی مربعی تا گام $N = 71$ توانسته‌اند شمارش دقیق انجام دهند و یا بر روی شبکه‌ی مکعبی تا $N = 36$ گام شمارش دقیق انجام شده است. در جدول ۱.۵ نتایج حاصل از شمارش دقیق برای ولگشت خود اجتناب در شبکه مربعی تا $N = 20$ آورده شده است. در این جدول تعداد کل حالت‌های ممکن برای یک گام‌زن تصادفی خوداجتناب بر حسب N و همچنین متوسط مجذور فاصله یعنی $\langle r_N^2 \rangle$ آورده شده است. برای شبیه‌سازی ولگشت خود اجتناب چندین روش وجود دارد که در ادامه به دو تای آن‌ها اشاره می‌کنیم.



شکل ۱۴.۵: چند گامزن تصادفی خود اجتناب با ۵۰ گام

ساخت گامزن‌ها تصادفی خود اجتناب به صورت تصادفی

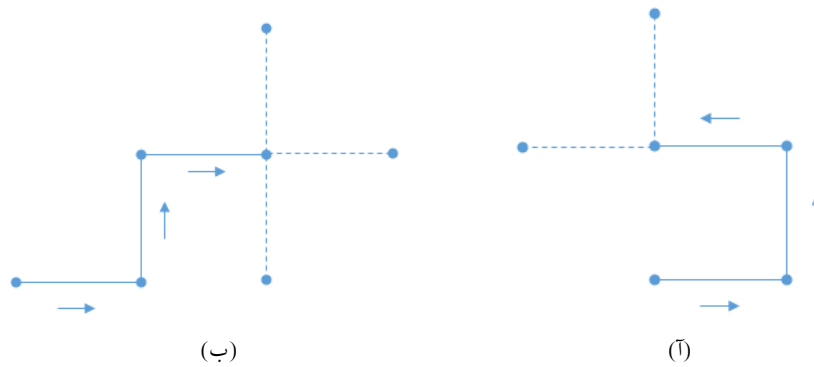
شاید در ابتدا، شبیه سازی ولگشت خود اجتناب ساده به نظر آید. در واقع آنچه که برای شبیه سازی ولگشت خود اجتناب در ابتدا به ذهن می آید این است که هر گامزن به حرکت تصادفی خود ادامه می دهد و به محض اینکه به موقعیت که قبلا در آن گام نهاده است می رسد، از دوباره به مکانی که در گام قبل بوده است برمی گردد و جهت تصادفی دیگری را برای ادامه حرکت انتخاب می کند. ولی این الگوریتم ساده یک مشکل اساسی دارد و آن مشکل این است که در این صورت یک گامزن تصادفی خود اجتناب دیگر گام های کاملا تصادفی بر نمی دارد و گام های بعدی آن دارای شرط می شوند که این خلاف فرض تصادفی بودن گام ها با احتمال های مشخصی است که از ابتدای حرکت تعیین شده اند. مشکل شبیه سازی ولگشت خود اجتناب تقابل تصادفی بودن و از طرفی خود اجتناب بودن است. در واقع تمام حالت های ممکن (یعنی پیکربندی های ممکن یا مسیرهای ممکن) برای یک گامزن تصادفی خود اجتناب باید هم احتمال باشند (البته در صورتی که تمام جهت ها هم احتمال باشند). برای اینکه این موضوع را روشن تر کنیم، به دو مسیر آ و ب که در شکل ۱۵.۵ آورده شده است دقت کنید. در هر دو مسیر، گامزن ۳ گام برداشته است. منتها حالت هایی که برای گام چهارم یک گامزن خود اجتناب می توان داشت با خط چین نشان داده شده است. در مسیر آ دو حالت برای گام چهارم وجود دارد در حالی که در مسیر ب برای گام چهارم

جدول ۱.۵

تعداد کل گام‌زن‌ها	$\langle r_N^2 \rangle$	N
۴	۱٫۰	۱
۱۲	۲٫۶۷	۲
۳۶	۴٫۵۶	۳
۱۰۰	۷٫۰۴	۴
۲۸۴	۹٫۵۶	۵
۷۸۰	۱۲٫۵۷	۶
۲۱۷۲	۱۵٫۵۶	۷
۵۹۱۶	۱۹٫۰۱	۸
۱۶۲۶۸	۲۲٫۴۱	۹
۴۴۱۰۰	۲۶٫۲۴	۱۰
۱۲۰۲۹۲	۳۰٫۰۲	۱۱
۳۲۴۹۳۲	۳۴٫۱۹	۱۲
۸۸۱۵۰۰	۳۸٫۳۰	۱۳
۲۳۷۴۴۴۴	۴۲٫۷۹	۱۴
$۶٫۴۱۷ \times ۱۰^۶$	۴۷٫۲۲	۱۵
$۱٫۷۲۶ \times ۱۰^۷$	۵۱٫۹۹	۱۶
$۴٫۶۴۷ \times ۱۰^۷$	۵۶٫۷۲	۱۷
$۱٫۲۴۷ \times ۱۰^۸$	۶۱٫۷۷	۱۸
$۳٫۳۵۱ \times ۱۰^۸$	۶۶٫۷۷	۱۹
$۸٫۹۷۷ \times ۱۰^۸$	۷۲٫۰۸	۲۰

۳ حالت می‌توان متصور شد. در نتیجه تعداد حالت‌های ممکن برای چهارگام برای مسیر ب $\frac{3}{4}$ بیشتر از مسیر آ است. حال اگر گام‌زن با شرط خود اجتناب گام بردارد، این به این معنی خواهد بود که به صورت مصنوعی احتمال مسیر ب برای چهار گام بیشتر از حالت آ در نظر گرفته شده است که این موضوع خلاف فرضی است که انجام داده‌ایم، که به ما می‌گوید تمام مسیرها یا پیکربندی‌ها باید با احتمال مساوی وجود داشته باشند. پس باید به دنبال الگوریتم دیگری باشیم.

بنابراین ساده‌ترین الگوریتم که برای شبیه‌سازی ولگشت خود اجتناب به ذهن می‌آید تولید گام‌زن‌های است که به طور تصادفی مسیر خود را قطع نکرده باشند. برای تولید گام‌زن‌های خود اجتناب با N گام چنین عمل می‌کنیم: شروع به تولید گام‌زن‌هایی با N گام می‌کنیم و در هر لحظه‌ای که گام‌زن خود را قطع کرد این گام‌زن را از بین می‌بریم و از ابتدا یک گام زن جدید ایجاد می‌کنیم. بدین ترتیب با تکرار این فرایند می‌توانید گام‌زن‌های خود اجتنابی با N گام داشته باشیم. برنامه زیر n_{walks} گام‌زن با n_{steps} گام تولید می‌کند که از این تعداد فقط تعداد کمی می‌توانند گام‌های خود را تکمیل کنند و موفق شوند. با گسترش برنامه زیر می‌توان مقدار $\langle r_N^2 \rangle$ برای هر N حساب کرد.



شکل ۱۵.۵: دو گامزن تصادفی با ۳ گام برداشته و حالت‌های ممکن برای گام چهارم آنها

```

1 while walks < n_walks:
2
3     sites = []           # list of lattice sites
4     x = 0; y = 0        # start at origin
5     sites.append([x, y]) # append to visited sites list
6     walk_succeeded = True # ok so far!
7
8     # loop over desired number of steps
9     for step in range(n_steps):
10
11         # take a random step ENWS
12         direction = random.randrange(4)
13         if direction == 0:
14             x += 1      # step East
15         elif direction == 1:
16             y += 1      # step North
17         elif direction == 2:
18             x -= 1      # step West
19         else:
20             y -= 1      # step South
21
22         # check whether the site has been visited
23         if sites.count([x,y]) == 1:
24             visited = True
25         else:
26             visited = False
27         if visited:

```

```

walk_succeeded = False
29     break          # kill the walker
    else:
31         sites.append([x, y])

33     if walk_succeeded:
        walks += 1

```

: swalk.py

مشکل اصلی این الگوریتم ساده بر بودن این الگوریتم است در واقع هر چه تعداد گام‌ها بیشتر می‌شود احتمال این که گام زن خود را قطع کند بیشتر و بیشتر خواهد شد. در واقع می‌توان نشان داد که نسبت گام‌زن‌های موفق به کل گام‌زن‌های تولید شده به صورت نمایی با تعداد گام کاهش پیدا می‌کند:

$$\frac{\text{تعداد گام‌زن‌های موفق}}{\text{تعداد کل گام‌زن‌های تولید شده}} \sim e^{-\lambda N} \quad (9.5)$$

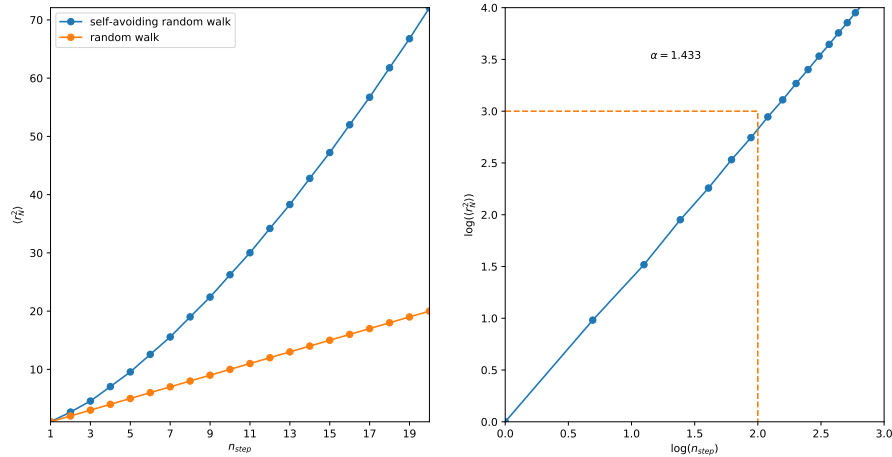
در معادله‌ی بالا λ ضریب فرسایش نامیده می‌شود. بنابراین همانطور که از معادله مشخص است برای تولید گام‌زن‌های با تعداد گام‌های زیاد باید گام‌زن‌های زیادی تولید شود تا از بین آنها بتوان گام‌زن‌های موفق را جدا کرد. تفاوت اصلی ولگشت تصادفی و ولگشت خود اجتناب را می‌توان در رفتار $\langle r_N^2 \rangle$ بر حسب N مشاهده کرد. همانطور که گفت شد در ولگشت تصادفی

$$\langle r_N^2 \rangle \sim N \quad (10.5)$$

در حالی که برای ولگشت خود اجتناب دیگر رابطی خطی بین $\langle r_N^2 \rangle$ و N وجود ندارد و در عوض یک رابطه توانی بین این دو کمیت وجود دارد:

$$\langle r_N^2 \rangle \sim N^\alpha \quad (11.5)$$

که $1 < \alpha < 2$ است. این عدد برای شبکه مربعی (دو بعد) برابر با $3/2$ و برای شبکه مکعبی (سه بعد) $6/5$ است. می‌توان داده جدول ۱.۵ را، که داده‌های دقیق هستند رسم کرد و مقدار α را از آن محاسبه کرد.



شکل ۱۶.۵: شکل سمت چپ، مقایسه رفتار ولگشت با ولگشت خود اجتناب در دو بعد را نشان می‌دهد. شکل سمت راست نمودار $\log(r_N^2)$ نسبت $\log(N)$ برای مقادیر دقیقی است که در جدول ۱.۵ آورده شده است. خط‌های خط چین نسبت $3/2$ را نشان می‌دهد که قاعدتا نمودار باید از تقاطع این خط‌های خط چین بگذرد. در واقع شیب این نمودار که مقدار α را نشان می‌دهد دقیقا مقدار $3/2$ را نشان نمی‌دهد. در حقیقت این مقدار برای وقتی بدست می‌آید که تعداد گام‌ها را زیاد کنیم.

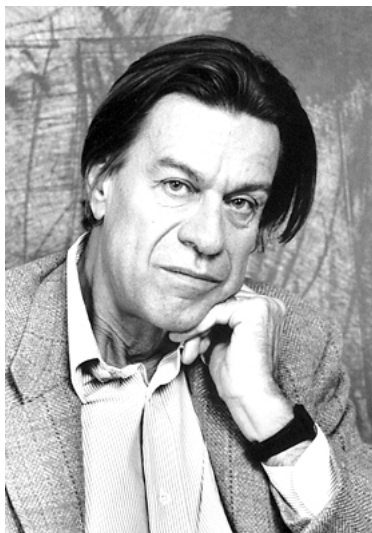
تمرین ۷ (قسمت دوم): محاسبه $\langle r_N^2 \rangle$ بر حسب N و بدست آوردن α

- مقدار $\langle r_N^2 \rangle$ را با استفاده از الگوریتمی که در بالا توضیح داده شد بدست آورید یعنی تولید ولگشت‌ها و کنار گذاشتن ولگشت‌های که خود را قطع کرده‌اند و آن را بر حسب N رسم کنید.
- برای بدست آوردن α باید نمودار $\log(\langle r_N^2 \rangle)$ را بر حسب $\log(N)$ رسم کنید و سپس شیب این خط را بدست آورید.
- برای بدست آوردن شیب از تابع `numpy.polyfit` یا `scipy.optimize.curve_fit` استفاده کنید.
- به دلیل اینکه استفاده از این الگوریتم بسیار زمان‌بر است بنابراین مقدار بیشینه‌ای که برای تعداد گام انتخاب می‌کنید به ۲۵ محدود کنید و تعداد متوسط‌گیری را (ولگشت‌های موفق)

را به ۲۰۰ محدود کنید. مسلماً برای بدست آوردن جواب های بهتر باید تعداد ولگشت های موفق بیشتری تولید شود

روش خزیدن برای مسئله ولگشت خود اجتناب

روش های زیاد برای تولید گامزن ها با خصوصیت خود اجتنابی وجود دارد. شاید یکی از کاراترین این روش های روش خزیدن (Reptation Method) است. این روش توسط پیر-ژیل دوژن^{۱۸} مطرح شد. پیر دوژن کلمه ی Reptation را از کلمه Reptile که به معنی خزنده است، ساخته است. ایده ی خزیدن

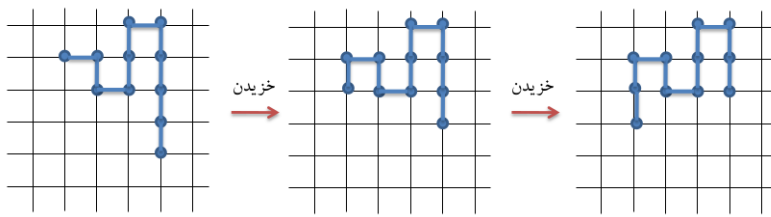


شکل ۱۷.۵: پیر-ژیل دوژن فیزیکدان فرانسوی (۲۰۰۷-۱۹۳۲). او به خاطر تحقیقاتش بر روی کریستال های مایع و پلیمرها مفتخر به دریافت جایزه نوبل در سال ۱۹۹۱ شد.

را می توان برای تولید حالت های مختلف ولگشت خود اجتناب استفاده کرد. شکل ۱۸.۵ یک گامزن را نشان می دهد که در یک شبکه مربعی اصطلاحاً می خزد. الگوریتم خزیدن برای تولید پیکربندی های مختلف یک گامزن خود اجتناب می توان به صورت زیر باشد:

۱. یک گامزن خود اجتناب با N گام تولید می کنیم (از الگوریتم که در بخش قبلی گفته شده استفاده می کنیم). اطاعات این پیکربندی را برای متوسط گیری ذخیره می کنیم.

^{۱۸}Pierre-Gilles de Gennes



شکل ۱۸.۵

۲. به صورت تصادفی گام ابتدایی یا انتهای گامزن را انتخاب و آن را حذف می‌کنیم.
۳. به صورت تصادفی ابتدا یا انتهای گامزن جدید را انتخاب می‌کنیم و یک گام در جهت تصادفی به آن اضافه می‌کنیم.
۴. در صورتی که مرحله‌ی قبلی موفقیت آمیز بود (یعنی گامزن مسیر خود را قطع نکرده است)، این پیکربندی جدید را به عنوان گامزن موفق به پیکربندی‌های موفق در گام N ام اضافه می‌کنیم تا در متوسط گیری‌ها از آن استفاده کنیم، سپس به مرحله ۲ می‌رویم. در صورت عدم موفقیت گامزن به مرحله‌ی اول می‌رویم.

تمرین ۶ (قسمت سوم): محاسبه $\langle r_N^2 \rangle$ بر حسب N و بدست آوردن α به روش خزیدن

- مقدار $\langle r_N^2 \rangle$ را با استفاده از الگوریتمی خزیدن محاسبه و آن را بر حسب N رسم کنید.
- برای بدست آوردن α باید نمودار $\log(\langle r_N^2 \rangle)$ را بر حسب $\log(N)$ رسم کنید و سپس شیب این خط را بدست آورید.
- برای بدست آوردن شیب از تابع `numpy.polyfit` یا `scipy.optimize.curve_fit` استفاده کنید.
- در این روش تعداد کل گامزن‌های تولید شده برای هر N را مجموعاً به ۱۰۰۰ عدد برسانید. بیشینه N را نیز ۴۰ در نظر بگیرید.

۴.۵ پخش، آنتروپی و پیکان زمان

پدیده‌ی پخش دقیقاً از مفهوم ولگشت تصادفی تبعید می‌کند. در حقیقت ذرات در محلول (مانند ذرات خامه در قهوه)، به دلیل حرکت‌های گرمایی مولکول‌های محلول، به صورت تصادفی حرکت می‌کنند که در حقیقت ما آن را به عنوان حرکت براونی^{۱۹} می‌شناسیم. ما می‌توانیم این پدیده را با استفاده از ولگشت تصادفی شبیه‌سازی کنیم و یکی از پدیده‌های جالب یعنی رسیدن به تعادل و همچنین قانون دوم ترمودینامیک را با آن نشان دهیم. بدین منظور پدیده‌ی پخش در دو بعد را شبیه‌سازی می‌کنیم. در ابتدا حدود ۴۰۰ ذره را در وسط یک مربع قرار می‌دهید. در برنامه‌ی زیر این کار به راحتی انجام شده‌است. همچنین در این برنامه، ذرات نیز نمایش داده شده‌اند.

```

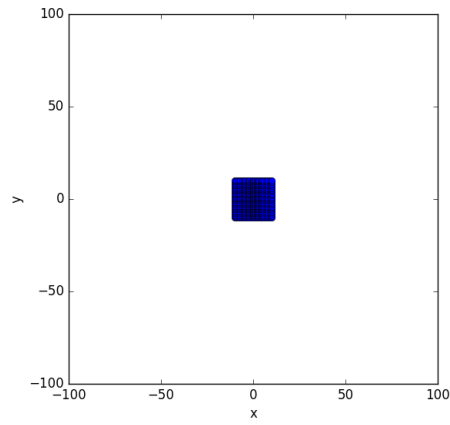
1 import matplotlib.pyplot as plt
import numpy as np
3 r=[]
m=10 # initial mesh size for particles: (2m+1)*(2m+1)
5 for i in range(-m,m+1):
    for j in range(-m,m+1):
7         r.append([i,j]) # initial postions
ra=np.array(r)
9 plt.xlim(-100,100)
plt.ylim(-100,100)
11 plt.xlabel("x")
plt.ylabel("y")
13 plt.gca().set_aspect('equal', adjustable='box') #to equalize the scales
of x-axis and y-axis
plt.plot(ra[:,0],ra[:,1], 'o')
15 plt.savefig("initial_pos.png")
plt.show()

```

: diff_2d_initial.py

در این برنامه r مکان اولیه ذرات است. ما این ذرات را در یک مش بندی $(2m+1) \times (2m+1)$ چیده‌ایم. که در اینجا $m = 10$ قرار داده‌ایم. برای نتایج بهتر می‌توانیم m را بزرگ‌تر کنیم. سپس این ذرات را در مربعی به ابعاد 200×200 قرار می‌دهیم. بنابراین مربع ما در جهت x از $x = -100$ تا $x = 100$ و در جهت y از $y = -100$ تا $y = 100$ گسترده شده‌است. با اجرای برنامه‌ی بالا موقعیت اولیه ذرات که در وسط جعبه (مربع) قرار گرفته‌اند، به نمایش در می‌آید (شکل ۱۹.۵). حال

^{۱۹}Brownian motion



شکل ۱۹.۵: مکان اولیه گام‌زن‌ها در شبکه مربعی

فرض می‌کنیم هر یک از این نقاط یک گام‌زن تصادفی است. و این گام‌زن‌های تصادفی بر روی شبکه مربعی که تعریف کرده‌ایم می‌تواند قدم بردارند. یعنی در هر گام مانند گام‌زن تصادفی در دو بعد، چهار گزینه برای حرکت بر روی شبکه در گام بعدی (با احتمال مساوی) وجود دارد:

$$x = x + 1$$

$$x = x - 1$$

$$y = y + 1$$

$$y = y - 1$$

در صورتی که گامزن به مرز رسید یعنی موقعیت آن، (x, y) ، در حالت‌های زیر قرار گرفت:

$$x = 100$$

یا

$$x = -100$$

یا

$$y = 100$$

یا

$$y = -100$$

نباید ذرات از مرز مربع عبور کنند و خارج شوند. در واقعیت نیز ذرات کلوییدی وقتی به دیوار ظرف برخورد می‌کنند، برمی‌گردند. بنابراین یک شرط مرزی ساده بر روی حرکت ذرات اعمال می‌کنم. این شرط مرزی این است که در صورتی که ذره‌ای به مرز رسید، آن ذره را به موقعیت (نقطه) قبلیش بر می‌گردانیم. حال برای اینکه پدیده‌ی پخش را شبیه سازی کنیم، به صورت تصادفی یک گامزن در مربع را انتخاب می‌کنیم و اجازه می‌دهیم که گامزن یک گام تصادفی بردارد. این کار را مرتب تکرار می‌کنید. برنامه‌ی زیر این کار را برای ما انجام می‌دهد:

```

m=10
2 N=(2*m+1)*(2*m+1) # number of molecules or walkers
L=100 # a number for confining walker inside -LXL mesh
4 Nstep=5000000
for k in range(Nstep):
6 # choosing a walker
n=randrange(N)
8 x0=r[n][0]
y0=r[n][1]
10 #moving walker
p=randrange(4)
12 if p== 0:
r[n][0]=x0+1
14 elif p==1:
r[n][1]=y0+1

```

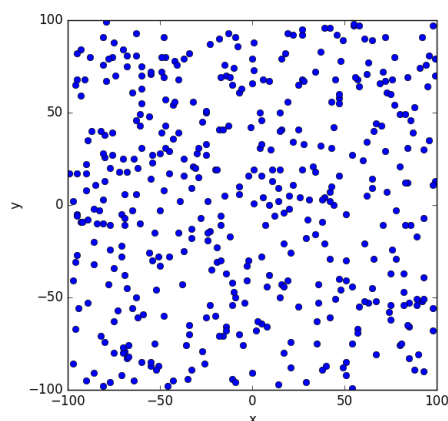
```

16 elif p==2:
    r[n][0]=x0-1
18 else:
    r[n][1]=y0-1
20 # walker confined in in region 200x200 form x=-100 to x=100 and y
    =-100 to y=100
    if r[n][0]== L or r[n][1]==L or r[n][0]==-L or r[n][1]==-L:
22     r[n][0]=x0
        r[n][1]=y0

```

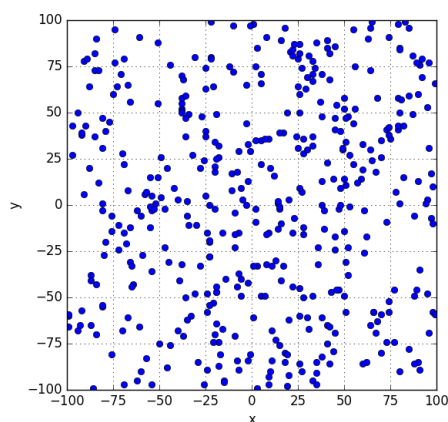
: diff_2d.py

در این برنامه $Nstep$ تعداد دفعات تکرار است. در واقع $Nstep$ تعداد کل گام‌هایی است که کل گام‌زن‌ها برمی‌دارند. بنابراین تعداد گام‌های یک گام‌زن به تنهایی نیست. بعد اجرای برنامه بالا مکان گام‌زن‌ها تغییر می‌کند و در جعبه (مربع) کاملاً پخش می‌شوند. شکل مکان نهایی ذرات را بعد از $Nstep = 5000000$ گام نشان می‌دهد. تا اینجا، کار خاصی انجام نداده‌ایم. برای اینکه از چنین



شکل ۲۰.۵: مکان نهایی گام‌زن‌ها در شبکه مربعی بعد ۵۰۰۰۰۰۰ گام

شبیه‌سازی ساده‌ای فیزیک جالبی بدست آوریم، می‌توانیم در حین پخش شدن گام‌زن‌ها، مقدار آنتروپی این گام‌زن‌ها (ذرات) را محاسبه کنیم. برای این منظور فضا را به مش‌بندی بزرگ‌تری تقسیم‌بندی می‌کنیم، مثلاً 8×8 . شکل زیر ۲۱.۵ این مش‌بندی را نشان می‌دهد. حال در هر گام (یا در هر ۱۰۰۰ گام)، احتمال حضور ذرات یا همان گام‌زن‌ها را در هر یک از جعبه‌های فرضی که با مش‌بندی جدید بوجود



شکل ۲۱.۵: مکان نهایی گام‌زن‌ها در شبکه مربعی. در این شکل جعبه (مربع) به مش‌بندی ۸×۸ (جعبه‌های فرضی) تقسیم بندی شده است. که در نهایت ۶۴ جعبه‌ی فرضی بوجود می‌آید.

می‌آیند را محاسبه می‌کنیم. این احتمال با معادله‌ی زیر داده می‌شود:

$$p_i = \frac{\text{تعداد گام‌زن‌ها یا همان ذرات در جعبه‌ی } i \text{ ام}}{\text{تعداد کل گام‌زن‌ها یا همان کل ذرات}} \quad (۱۲.۵)$$

سپس با استفاده از فرمول شانون که آنتروپی را به احتمال ربط می‌دهد می‌توان آنتروپی را محاسبه کرد. فرمول شانون ۲ به صورت زیر است:

$$S = - \sum_i p_i \log_2(p_i) \quad (۱۳.۵)$$

در این فرمول لگاریتم در مبنای ۲ است. می‌توان این فرمول با لگاریتم در مبنای e نیز نوشت که فقط یک ثابت به آن اضافه می‌شود. اگر این ثابت را در نظر نگیریم، فرمول شانون را می‌توان به صورت زیر در نظر گرفت:

$$S = - \sum_i p_i \ln(p_i) \quad (۱۴.۵)$$

^۲ Shannon's formula

با استفاده از این فرمول، می‌توان آنتروپی را در گام‌های مختلف محاسبه کرد و رفتار آنتروپی وقتی تعداد گام‌ها زیاد می‌شود را مشاهده کرد. باید توجه کرد که در محاسبه‌ی $p_i \ln(p_i)$ ، اگر $p_i = 0$ باشد $p_i \ln(p_i) = 0$ می‌شود. منتها در کامپیوتر ممکن است به مشکل برخورد کنیم چرا که $\ln(0)$ تعریف نشده‌است. برای همین برای محاسبه‌ی $p_i \ln(p_i)$ اول شرط اینکه $p_i > \epsilon$ است را اعمال می‌کنیم که $\epsilon = 10^{-6}$ یا یک عدد کوچک‌تر است. در واقع محاسبه جملاتی که در آن $p_i \simeq 0$ است در جمع $-\sum p_i \ln p_i$ لزومی ندارد و اثری در جمع نمی‌گذارند. می‌توان به راحتی نشان داد که در فرمول شانون، وقتی آنتروپی بیشینه می‌شود که تمام p_i با هم برابر شوند. در این مسئله نیز این موضوع صادق است. تساوی احتمال‌های p_i وقتی اتفاق می‌افتد که احتمال حضور ذرات در تمام جعبه‌های فرضی برابر باشد. به سادگی مشخص است که این احتمال برابر با

$$p_i = \frac{1}{N_b} \quad (15.5)$$

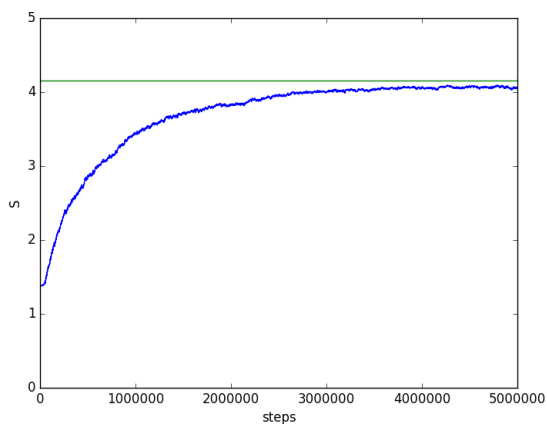
که N_b تعداد جعبه‌های فرضی است که در اینجا این تعداد برابر با ۶۴ است. بنابراین مقدار بیشینه‌ی آنتروپی برابر است با:

$$\begin{aligned} S_{\max} &= -\sum_{i=1}^{N_b} p_i \ln(p_i) \\ &= -N_b \times \left(\frac{1}{N_b}\right) \times \ln\left(\frac{1}{N_b}\right) \\ &= \ln(N_b) \end{aligned}$$

اگر $N_b = 64$ باشد، $S_{\max} = 4.158883$ خواهد شد. نمودار S بر حسب گام‌ها در شکل ۲۲.۵ نمایش داده شده‌است. برای اینکه به عدد بیشینه نزدیک‌تر شویم باید تعداد ذرات و تعداد گام‌ها را افزایش دهیم.

تمرین ۷: محاسبه آنتروپی پدیده‌ی پخش در دو بعد

همانند آنچه در متن گفته شد، ابتدا تعدادی ذره را در وسط یک مربع به ابعاد 100×100 قرار دهید. سپس هر ذره را به عنوان یک گام‌زن تصادفی در نظر بگیرید و بگذارید همانند آنچه در



شکل ۲۲.۵: آنتروپی بر حسب گام‌ها. خط مستقیم مقدار بیشینه آنتروپی را نشان می‌دهد که در این مسئله برابر با $S_{\max} = 4/1588883$ است.

متن به آن اشاره شد، گام‌زن‌ها حرکت کنند. سپس در هر ۱۰۰۰ گام آنتروپی را از معادله‌ی ۱۴.۵ حساب کنید و آن را بر حسب گام رسم کنید. آخرین موقعیت ذرات را نیز رسم کنید.

فصل ۶

انتگرال گیری به روش مونت کارلو

در اکثر موارد در فیزیک و علوم دیگر به انتگرال گیری های پیچیده و چند بعدی برخورد می کنیم که حل آنها به صورت صریح قابل انجام نیست. معمولا این انتگرال گیری ها را می توان به روش های عددی مختلفی حل کرد. روش های عددی برای حل انتگرال گیری ها را می توان به دو بخش اصلی تقسیم بندی کرد: ۱ - انتگرال گیری هایی که براساس مش بندی فضا به صورت منظم بنا شده اند ۲ - انتگرال گیری هایی که براساس انتخاب اعداد تصادفی به جای مش بندی انجام می شود. در این فصل قصد داریم تا روش های دوم را به صورت مختصر توضیح دهید. روش های دوم در واقع به روش های مونت کارلو معروف هستند و یادگیری این روش های کمک زیاد برای درک روش های شبیه سازی های کامپیوتری می کند که به نحوی به انتگرال گیری های مونت کارلو مرتبط هستند.

۱.۶ روش های انتگرال گیری عددی با استفاده از مش بندی